



การรักษาสีแห้งหวานอบแห้งด้วยการใช้อุณหภูมิแบบหลายชั้น

Color Retention of Dried Stevia rebaudiana Bertoni by
Multi-Stage Drying Temperature

นายประพันธ์ จิโน

ผู้ช่วยศาสตราจารย์ ดร.ฤทธิชัย อัศวราชานย์

ทุนอุดหนุนการวิจัย เงินรายได้ประจำปี พ.ศ. 2557

คณะวิศวกรรมและอุตสาหกรรมเกษตร มหาวิทยาลัยแม่โจ้

บัญชีเงินเดือน	
จำนวนเงินเดือน	บาท
จำนวนเงินเดือน	บาท

แบบแสดงหลักฐานการมีส่วนร่วมในผลงาน มีดังนี้

1. คู่มือปฏิบัติงานหลัก
2. ผลงานเชิงวิเคราะห์ หรือ ผลงานสังเคราะห์
3. ผลงานวิจัย หรือ ผลงานลักษณะอื่น รายงานวิจัย

เรื่อง การรักษาสีหยาดหวานอบแห้งด้วยการใช้อุณหภูมิแบบหลายชั้น (Color Retention of Dried Stevia-rebaudiana Bertoni by Multi-Stage Drying Temperature)

ผู้ร่วมงาน จำนวน 2 คน แต่ละคนมีส่วนร่วมดังนี้

ชื่อผู้ร่วมงาน	ปริมาณงานร้อยละ ที่มีส่วนร่วม	หน้าที่ความรับผิดชอบในผลงาน
1. นายประพันธ์ จิโน	75	หัวหน้าโครงการวิจัย
2. ผศ.ดร.ฤทธิชัย อัศวราชันย์	25	ที่ปรึกษาโครงการวิจัย

ลงชื่อ.....

(นายประพันธ์ จิโน)

ลงชื่อ.....

(ผศ.ดร.ฤทธิชัย อัศวราชันย์)

บทคัดย่อ

หญ้าหวาน หรือ สเตเวีย มีชื่อวิทยาศาสตร์ว่า *Stevia rebaudiana* Bertoni เป็นสารให้รสหวาน เมื่อนำมาตาก วัตถุประสงค์ในการศึกษาโครงการนวัตกรรมงานวิจัยนี้ สนใจศึกษาผลของวิธีและสภาวะการอบแห้ง (การอบแห้งด้วยพลังงานแสงอาทิตย์) การอบแห้งด้วยการใช้อุณหภูมิแบบขั้นเดียว และการอบแห้งด้วยการใช้อุณหภูมิแบบสองขั้น ต่ออัตราการเปลี่ยนแปลงความชื้นและคุณภาพลีของใบหญ้าหวาน คุณลักษณะการอบแห้งและสภาวะในการอบแห้งมีอิทธิพลอย่างมากต่อการรักษาลีของใบชาหญ้าหวานในระหว่างการอบแห้งด้วยการใช้อุณหภูมิแบบขั้นเดียว ที่อุณหภูมิ 50 ถึง 90 องศาเซลเซียส และการอบแห้งด้วยการใช้อุณหภูมิแบบสองขั้น ที่อุณหภูมิ 50 กับ 80 องศาเซลเซียส และอุณหภูมิ 50 กับ 90 องศาเซลเซียส อัตราการอบแห้งหญ้าหวานจากค่าความชื้นเริ่มต้น 523.44 ถึง 7.52 เปอร์เซ็นต์ (น้ำหนักแห้ง) มีค่าเท่ากับ 18.91×10^{-4} ถึง 179.65×10^{-4} กรัม/นาที ต่อ กรัม นน.แห้ง นาที และ 32.91×10^{-4} ถึง 76.11×10^{-4} กรัม/นาที ต่อ กรัม นน.แห้ง นาที ของการอบแห้งด้วยการใช้อุณหภูมิแบบขั้นเดียว และการอบแห้งด้วยการใช้อุณหภูมิแบบสองขั้น ตามลำดับ ผลการศึกษาพบว่า การอบแห้งด้วยการใช้อุณหภูมิแบบสองขั้นที่อุณหภูมิ 50 กับ 80 องศาเซลเซียส และอุณหภูมิ 50 กับ 90 องศาเซลเซียส มีอัตราการอบแห้งที่รวดเร็ว และสามารถรักษาลีของหญ้าหวานได้ดีกว่าการอบแห้งด้วยการใช้อุณหภูมิแบบขั้นเดียว โดยสภาวะการอบแห้งด้วยการใช้อุณหภูมิแบบสองขั้นที่อุณหภูมิ 50 องศาเซลเซียส เป็นเวลา 50 นาที กับ 80 องศาเซลเซียส เป็นเวลา 670 นาที สามารถรักษาคุณภาพลีของใบชาหญ้าหวานได้ดีที่สุด โดยมีคุณภาพลีในระบบ CIE-L*-a*-b* ซึ่งประกอบด้วยค่าความสว่าง (L^* -values), ค่าความเป็นสีแดง/เขียว (a^* -values), ค่าความเป็นสีเหลือง/น้ำเงิน (b^* -values) และค่าความแตกต่างสีรวม (TCD) มีค่าเท่ากับ 31.15 ± 1.83 , -10.41 ± 1.99 , 18.97 ± 1.47 และ 5.01 ± 0.84 . นอกจากนี้ ค่าลีสัน (Chroma values) และค่าความสด (Hue) มีค่าเท่ากับ 39.19 ± 2.36 และ 100.87 ± 4.25

Abstract

Stevia (*Stevia rebaudiana* Bertoni.) is a sweetener and sugar substitute made from the leaves of the plant species *Stevia rebaudiana*. The objective of this study was to investigate an effect of various condition of drying (open sun drying, hot air using single-stage drying temperature and multi-stage drying temperature) on moisture content and color change of Stevia. The drying characteristics and drying conditions have an influence on the retention of color quality of stevia during single-stage drying between 50 to 90°C and multi-stage drying temperature for 50 °C, 80 °C and 50 °C, 90 °C. The drying rate required to reduce moisture content of Stevia from 523.44 to 7.52%(d.b.) was $18.91 \times 10^{-4} - 179.65 \times 10^{-4}$ g_{water} / g_{dry matter} of single-stage drying temperature and $32.91 \times 10^{-4} - 76.11 \times 10^{-4}$ g_{water} / g_{dry matter} of multi-stage drying temperature, respectively. The results of multi-stage drying temperature provide that higher drying rate and better retention than using hot air by single-stage drying temperature. It was found that the suitable conditions for multi-stage drying temperature were 50°C for 670 min and 80°C for 50 min. The color qualities of dried Stevia for multi-stage drying temperature in CIE-L*-a*-b* system namely L*-values, a*-values, b*-values and TCD were 31.15 ± 1.83 , -10.41 ± 1.99 , 18.97 ± 1.47 and 5.01 ± 0.84 , respectively. In addition, the Chroma values and Hue angle were 39.19 ± 2.36 and 100.87 ± 4.25 .

กิตติกรรมประกาศ

โครงการวิจัยเรื่องการรักษาสีหูภู่หวานอบแห้งด้วยการใช้อุณหภูมิแบบหลายชั้น (Color Retention of Dried *Stevia rebaudiana* Bertoni by Multi-Stage Drying Temperature) เป็นโครงการวิจัยที่ต้องการศึกษาเพื่อหาสภาวะการอบแห้งที่เหมาะสมกับการดำเนินการของศูนย์พัฒนาโครงการหลวงจะเป็น จังหวัดเชียงราย ซึ่งมีความต้องการองค์ความรู้ในการแปรรูปเพื่อรักษาสีของใบชาหูภู่หวานอบแห้ง เพื่อช่วยเพิ่มมูลค่าให้กับผลิตภัณฑ์ใบชาหูภู่หวานอบแห้ง ตามหนังสือเลขที่ ล 05.09/284 และได้รับอนุญาตหนุนการวิจัย เงินรายได้ประจำปี พ.ศ. 2557 ของคณะวิศวกรรมและอุตสาหกรรมเกษตร มหาวิทยาลัยแม่โจ้

ขอขอบคุณ ผู้ช่วยศาสตราจารย์ ดร.ฤทธิชัย ยศวรรชันย์ ที่ได้ให้คำแนะนำ ความรู้ คำปรึกษาในด้านต่างๆ ที่ใช้ในการทำโครงการนี้เป็นประโยชน์ในการปรับปรุงโครงการวิศวกรรม รวมถึงที่ได้ให้ความอนุเคราะห์ในการช่วยเป็นพี่เลี้ยงสอนหลักการ วิธีการทำโครงการวิศวกรรม และให้ความช่วยเหลือเพื่อให้โครงการครั้งนี้สำเร็จลุล่วงไปด้วยดี

ขอขอบคุณบุญธรรม บุญเลา ผู้อำนวยการศูนย์พัฒนาโครงการหลวงจะเป็น และเจ้าหน้าที่ของสาขาวิศวกรรมเกษตรและวิศวกรรมอาหาร ที่คอยให้กำลังใจ และคำแนะนำดี ๆ เสมอมา และให้ความช่วยเหลือเพื่อให้โครงการครั้งนี้สำเร็จลุล่วงไปด้วยดี

นายประพันธ์ จิโน

15 กรกฎาคม พ.ศ. 2557

สารบัญ

หน้า
ก
ข
ค
ง
ฉ
ช

บทคัดย่อ

Abstract

กิตติกรรมประกาศ

สารบัญ

สารบัญตาราง

สารบัญภาพ

บทที่ 1	บทนำ	1
	1.1 ความสำคัญและที่มาของปัญหา	1
	1.2 วัตถุประสงค์หลักของโครงการวิจัย	3
	1.3 ประโยชน์ที่คาดว่าจะได้รับ	3
	1.4 ขอบเขตของการทำโครงการ	4
บทที่ 2	การตรวจเอกสาร	5
	2.1 ข้อมูลทั่วไปของหน้าหัวเราะ	5
	2.2 ทฤษฎีการทำแห้งผักและผลไม้	5
	2.3 วิธีการหาความชื้นตามมาตรฐาน	8
	2.4 การออบแห้งแบบอุณหภูมิหลาຍชั้น	10
บทที่ 3	วิธีการดำเนินการ	16
	3.1 คุณลักษณะการอบแห้งของหน้าหัวเราะเป็นองค์ตัน	16
	3.2 การศึกษาผลการเปลี่ยนแปลงความชื้นในระหว่าง	16
	การอบแห้งแบบดังเดิมด้วยพลังงานแสงอาทิตย์	
	3.3 การศึกษาผลการเปลี่ยนแปลงความชื้นในระหว่างการอบแห้งด้วย	17
	การใช้อุณหภูมิแบบชั้นเดียว (Single-stage drying temperature)	

สารบัญ (๗๘)

บทที่ 3	การศึกษาผลการเปลี่ยนแปลงความชื้นในระหว่างการอบแห้งด้วยการใช้อุณหภูมิแบบสองขั้น (Multi-stage drying temperature)	18
	3.4 การศึกษาผลการเปลี่ยนแปลงความชื้นในระหว่างการอบแห้งด้วยการใช้อุณหภูมิแบบสองขั้น (Multi-stage drying temperature)	18
	3.5 เปรียบเทียบคุณภาพลีนในการอบแห้งของหญ้าหวานอบแห้งที่สภาวะการอบแห้งแบบต่างๆ	18
	3.6 แผนการดำเนินงานตลอดโครงการ	22
บทที่ 4	ผลการศึกษาและวิจารณ์ผล	23
	4.1 การเตรียมตัวอย่างและการวิเคราะห์ค่าความชื้นเริ่มต้น และค่าความชื้นสมดุลของหญ้าหวาน	23
	4.2 การเปลี่ยนแปลงความชื้นในระหว่างการอบแห้งด้วยการใช้อุณหภูมิแบบขั้นเดียว และการอบแห้งด้วยแสงอาทิตย์	26
	4.3 การเปลี่ยนแปลงความชื้นในระหว่างการอบแห้งด้วยการใช้อุณหภูมิแบบสองขั้น	29
	4.4 การเปรียบเทียบคุณภาพลีนหญ้าหวานอบแห้งตากกับวิธีการอบแห้งการใช้อุณหภูมิแบบขั้นเดียว และการใช้อุณหภูมิแบบสองขั้น	33
บทที่ 5	สรุปผลการดำเนินงานวิจัย	44
	เอกสารอ้างอิง	46
	ภาคผนวก	48
	ประวัติผู้เขียน	69

สารบัญตาราง

ตารางที่		หน้า
3.1	แผนกรดำเนินงานตลอดโครงการ	22
ก.1	การวิเคราะห์หาความซึ้นเริ่มต้นของใบชาญี่หัววนสด	49
ก.2	การเปลี่ยนแปลงความซึ้นในระหว่างการอบแห้งด้วยพลังงานแสงอาทิตย์ (ทดลองระหว่างวันที่ 5 พ.ค. พ.ศ. 2557 ถึง 10 มิถุนายน พ.ศ. 2557)	50
ก.3	การเปลี่ยนแปลงความซึ้นในระหว่างการอบแห้งญี่หัววนด้วยเครื่อง อบแห้งลมร้อน ด้วยการใช้อุณหภูมิแบบขั้นเดี่ยว ที่ 50, 60, 70, 80 และ 90 องศาเซลเซียส	51
ข.1	ค่าสีพารามิเตอร์สีใบชาญี่หัววนสด ในระบบ CIE ($L^*-a^*-b^*$) และ Munsell color system	54
ข.2	ค่าสีพารามิเตอร์สีใบชาญี่หัววนอบแห้งด้วยการตากแดด แสงอาทิตย์ใน ระบบ CIE ($L^*-a^*-b^*$) และ Munsell color system	55
ข.3	ค่าสีพารามิเตอร์สีใบชาญี่หัววนอบแห้ง ที่อุณหภูมิ 50 องศาเซลเซียส ในระบบ CIE ($L^*-a^*-b^*$) และ Munsell color system	56
ข.4	ค่าสีพารามิเตอร์สีใบชาญี่หัววนอบแห้ง ที่อุณหภูมิ 60 องศาเซลเซียส ในระบบ CIE ($L^*-a^*-b^*$) และ Munsell color system	57
ข.5	ค่าสีพารามิเตอร์สีใบชาญี่หัววนอบแห้ง ที่อุณหภูมิ 70 องศาเซลเซียส ในระบบ CIE ($L^*-a^*-b^*$) และ Munsell color system	58
ข.6	ค่าสีพารามิเตอร์สีใบชาญี่หัววนอบแห้ง ที่อุณหภูมิ 80 องศาเซลเซียส ในระบบ CIE ($L^*-a^*-b^*$) และ Munsell color system	59
ข.7	ค่าสีพารามิเตอร์สีใบชาญี่หัววนอบแห้ง ที่อุณหภูมิ 90 องศาเซลเซียส ในระบบ CIE ($L^*-a^*-b^*$) และ Munsell color system	60
ข.8	ค่าสีพารามิเตอร์สีใบชาญี่หัววนอบแห้ง ใบชาญี่หัววนอบแห้งโดยใช้ อุณหภูมิแบบหลายชั้นตอน (Multi-stage drying temperature) ที่ 50 องศาเซลเซียส (550 นาที) และ 90 องศาเซลเซียส (30 นาที)	61
ข.9	ค่าสีพารามิเตอร์สีใบชาญี่หัววนอบแห้ง ใบชาญี่หัววนอบแห้งโดยใช้ อุณหภูมิแบบหลายชั้นตอน (Multi-stage drying temperature) ที่ 50 องศาเซลเซียส (310 นาที) และ 90 องศาเซลเซียส (50 นาที)	62

สารบัญตาราง (ต่อ)

ตารางที่		หน้า
ข.10	ค่าสีพารามิเตอร์สีใบชาหภูมิหวานอบแห้ง ใบชาหภูมิหวานอบแห้งโดยใช้ อุณหภูมิแบบหลายชั้นตอน (Multi-stage drying temperature) ที่ 50 องศาเซลเซียส (730 นาที) และ 80 องศาเซลเซียส (30 นาที)	63
ข.11	ค่าสีพารามิเตอร์สีใบชาหภูมิหวานอบแห้ง ใบชาหภูมิหวานอบแห้งโดยใช้ อุณหภูมิแบบหลายชั้นตอน (Multi-stage drying temperature) ที่ 50 องศาเซลเซียส (670 นาที) และ 80 องศาเซลเซียส (50 นาที)	64

สารบัญภาพ

รูปที่		หน้า
2.1	ต้นหญ้าหวาน	5
2.2	เล่นดึงความสัมพันธ์ของการเปลี่ยนแปลงความชื้นในระหว่างการอบแห้ง	7
2.3	แผนผังแสดงการคำนวณความชื้นเริ่มต้น	9
2.4	การบรรยายลีสในระบบ CIE Lab มองในระนาบ 2 มิติ: Hue และ Chroma บรรยายถึงความมั่นคงหรือความเข้มของโถนลี	14
2.5	การบรรยายลีฟ์ในระบบ CIE Lab ในรูป 3 มิติ	15
3.1	เครื่องอบแห้งลมร้อนแบบถูกต้อง ขนาดห้องปฏิบัติการ	17
3.2	เครื่อง Spectrophotometer (ยี่ห้อ HunterLab รุ่น MiniScan XE PLUS)	19
3.3	การเตรียมตัวอย่างหญ้าหวานด้วยเครื่องอบลมร้อน	20
3.4	การเตรียมตัวอย่างหญ้าหวานด้วยเครื่องอบลมร้อน โดยใช้อุณหภูมิแบบ สองชั้น (Multi-stage drying temperature)	21
4.1	ขั้นตอนการเตรียมตัวอย่างหญ้าหวาน สำหรับการทดลอง	24
4.2	ขั้นตอนการเตรียมอุปกรณ์ ตัวอย่าง เพื่อหาค่าความชื้นเริ่มต้น ตามวิธีมาตรฐาน AOAC (2010)	25
4.3	หญ้าหวานอบแห้ง เพื่อหาความชื้นเริ่มต้น และความชื้นสมดุล ตาม มาตรฐาน AOAC (2010)	25
4.4	การอบแห้งด้วยแสงอาทิตย์	27
4.5	เครื่องอบแห้งด้วยลมร้อนแบบถูกต้อง	27
4.6	การเปลี่ยนแปลงความชื้นในระหว่างการอบแห้งด้วยพลังงานแสงอาทิตย์ (ทดลองระหว่างวันที่ 5 พ.ค. พ.ศ. 2557 ถึง 10 มิถุนายน พ.ศ. 2557)	28
4.7	การเปลี่ยนแปลงความชื้นในระหว่างการอบแห้งหญ้าหวานด้วยเครื่อง อบแห้งลมร้อน ด้วยการใช้อุณหภูมิแบบชั้นเดียว ที่ 50, 60, 70, 80 และ 90 องศาเซลเซียส	28
4.8	การเปลี่ยนแปลงความชื้นหญ้าหวานในระหว่างการอบแห้งด้วยการใช้ อุณหภูมิแบบสองชั้น ที่อุณหภูมิ ที่ 90 องศาเซลเซียส (30 นาที) และที่ 50 องศาเซลเซียส (550 นาที)	31

สารบัญภาพ (ต่อ)

รุ่นที่		หน้า
4.9	การเปลี่ยนแปลงความชื้นแห้งหวานในระหว่างการอบแห้งด้วยการใช้อุณหภูมิแบบสองชั้น ที่อุณหภูมิ ที่ 90 องศาเซลเซียส (50 นาที) และที่ 50 องศาเซลเซียส (310 นาที)	31
4.10	การเปลี่ยนแปลงความชื้นแห้งหวานในระหว่างการอบแห้งด้วยการใช้อุณหภูมิแบบสองชั้น ที่อุณหภูมิ 50 องศาเซลเซียส (310 นาที) และ 80 องศาเซลเซียส (30 นาที)	32
4.11	การเปลี่ยนแปลงความชื้นแห้งหวานในระหว่างการอบแห้งด้วยการใช้อุณหภูมิแบบสองชั้น ที่อุณหภูมิ 50 องศาเซลเซียส (670 นาที) และ 80 องศาเซลเซียส (50 นาที)	32
4.12	แห้งหวานที่อบแห้งด้วยแสงอาทิตย์	35
4.13	ค่าสีพารามิเตอร์สีใบชาแห้งหวานสดและใบชาแห้งหวานอบแห้งโดยใช้อุณหภูมิแบบขั้นเดียว (Single-stage drying temperature) ที่ 50, 60, 70, 80 และ 90 องศาเซลเซียส ในระบบ CIE ($L^* - a^* - b^*$)	36
4.14	ค่าสีพารามิเตอร์สีใบชาแห้งหวานสดและใบชาแห้งหวานอบแห้งโดยใช้อุณหภูมิแบบขั้นเดียว (Single-stage drying temperature) ที่ 50, 60, 70, 80 และ 90 องศาเซลเซียส ในระบบ Munsell color system	36
4.15	ลักษณะลีปரากฎของแห้งหวานสดและแห้งหวานที่อบแห้งด้วยลมร้อนที่อุณหภูมิ 50, 60, 70, 80 และ 90 องศาเซลเซียส	39
4.16	ค่าสีพารามิเตอร์สีใบชาแห้งหวานสดและใบชาแห้งหวานอบแห้งโดยใช้อุณหภูมิแบบหลายขั้นตอน (Multi-stage drying temperature) ที่ 50, 80 และ 50, 90 องศาเซลเซียส ในระบบ CIE ($L^* - a^* - b^*$)	41
4.17	ค่าสีพารามิเตอร์สีใบชาแห้งหวานสดและใบชาแห้งหวานอบแห้งโดยใช้อุณหภูมิแบบหลายขั้นตอน (Multi-stage drying temperature) ที่ 50, 80 และ 50, 90 องศาเซลเซียส ในระบบ Munsell color system	41
4.18	ลักษณะลีปරากฎของแห้งหวานสดและแห้งหวานที่อบแห้งด้วยลมร้อนที่อุณหภูมิแบบสองชั้น (Multi-stage drying temperature) ที่อุณหภูมิ 50 และ 80 องศาเซลเซียส	42

สารบัญภาพ (ต่อ)

รูปที่		หน้า
4.19	ลักษณะลีปราากฎของหญ้าหวานสดและหญ้าหวานที่อบแห้งด้วยลมร้อนที่อุณหภูมิแบบสองชั้น (Multi-stage drying temperature) ที่อุณหภูมิ 50 และ 90 องศาเซลเซียส	42

บทที่ 1

บทนำ

1.1 ความสำคัญและที่มาของปัญหา

หญ้าหวาน หรือ สเตเวีย มีชื่อวิทยาศาสตร์ว่า *Stevia rebaudiana Bertoni* ออยู่ในวงศ์ Asteraceae เป็นพืชพื้นเมืองทางภาคตะวันออกเฉียงเหนือของประเทศ巴拉圭ในทวีปอเมริกาใต้ ความพิเศษของหญ้าหวาน คือ ส่วนของใบให้ความหวานมากกว่าน้ำตาลถึง 10-15 เท่า และความหวานนี้ไม่ก่อให้เกิดพลังงานแต่อย่างไร (0 แคลอรี/กรัม) นอกจากนี้ยังมีสารสกัดที่เกิดจากหญ้าหวานซึ่งว่า สเตวิโอลิซีด (stevioside) เป็นสารที่ให้ความหวานมากกว่า 200-300 เท่าของน้ำตาล ด้วยความพิเศษของหญ้าหวานนี้ หญ้าหวานจึงเป็นพืชที่ได้รับความสนใจทั้งทางด้านอุตสาหกรรม การแพทย์ ยาสมุนไพร เครื่องดื่ม เป็นต้น มนุษย์รู้จักนำสารสกัดที่มีส่วนประกอบของหญ้าหวานมาบริโภคหลายครั้งแล้วโดยชาพื้นเมืองในประเทศ巴拉圭 นำหญ้าหวานมาผสมกับเครื่องดื่ม เช่น ชา นอกจากนี้ชาวญี่ปุ่นยังนำสารให้ความหวานมาผสมกับผลิตภัณฑ์อาหาร เช่น ผักดอง ซีอิ๊ว เต้าเจี้ยว เนื้อปลาบด เป็นต้นหญ้าหวานเริ่มเข้าสู่ประเทศไทยเมื่อปี พ.ศ. 2550 และปลูกกันมากในภาคเหนือ โดยเฉพาะที่จังหวัดเชียงใหม่ ลำพูน และเชียงราย สำนักงานคณะกรรมการอาหารและยาให้มีการใช้สารสเตวิโอลิซีดเพื่อการบริโภค หญ้าหวานจึงจัดอยู่ในพืชสมุนไพรอีกชนิดหนึ่ง (<http://th.wikipedia.org/wiki>) การอบแห้งเป็นกระบวนการที่สำคัญในการถอนคอมพลิตภัณฑ์ให้มีอายุการเก็บรักษาที่ยาวนานขึ้น โดยการลดความชื้นหรือปริมาณน้ำอิสระในผลิตภัณฑ์ซึ่งมีผลต่อคุณภาพที่เป็นสาเหตุทำให้ผลิตภัณฑ์เน่าเสียไม่สามารถเตรียมตัวได้ รวมทั้งยังบ่งการทำงานของเอนไซม์ หรืออะลกอปปฏิกิริยาต่างๆ ทั้งทางเคมี และทางชีวเคมี นอกจากนั้นการอบแห้งยังลดน้ำหนักหรือปริมาตรของผลิตภัณฑ์ทำให้ลดค่าใช้จ่ายในการขนส่งและการเก็บรักษาผลิตภัณฑ์ (ฤทธิชัย, 2556)

ลักษณะสำคัญต่อคุณภาพผลิตภัณฑ์ผลิตทางการเกษตรอบแห้งในด้านความชอบและการยอมรับของผู้บริโภค บางครั้งสื紇าใช้เป็นตัวชี้วัดในการคัดเลือกวัตถุติดควบคุมขั้นตอนการผลิต และจัดแบ่งคุณภาพของผลิตภัณฑ์อาหาร สิ่งคุณภาพผลิตภัณฑ์ผลิตภัณฑ์ทางการเกษตรอบแห้งจะเป็นตัวชี้วัดในการตัดสินใจซื้อของผู้บริโภค โดย 40 เบอร์เซ็นต์ ของผู้บริโภคจะเลือกผลผลิตทางการเกษตรอบแห้งที่มีสีสันสด (พิชิต และคณะ, 2556) อย่างไรก็ตาม รายงานวิจัยที่เกี่ยวข้องกับการศึกษาผลการเปลี่ยนแปลงความชื้นและการเปลี่ยนแปลงสีของการอบแห้งหญ้าหวานด้วยการใช้คุณภูมิแบบสองชั้น (Multi-stage drying temperature) ยังไม่มีการศึกษาอย่างชัดเจน ดังนั้นโครงงานวิจัยนี้จึงมีวัตถุประสงค์ในการศึกษาคุณสมบัติทางกายภาพและคุณลักษณะการอบแห้งของหญ้าหวานเบื้องต้น และศึกษาผลกระทบของวิธีการอบแห้งหญ้าหวาน ด้วยวิธีการอบแห้งแบบต่างๆ เช่น การอบแห้งด้วย

วิธีแบบดั้งเดิม ด้วยวิธีการอบแห้งด้วยพลังงานแสงอาทิตย์โดยตรง, การอบแห้งด้วยการใช้อุณหภูมิแบบขั้นเดียว (single-stage drying temperature) และการอบแห้งด้วยการใช้อุณหภูมิแบบสองขั้น (Multi-stage drying temperature) ต่ออัตราการเปลี่ยนแปลงความชื้น พลังงานเฉพาะที่ใช้ในการอบแห้ง และการเปลี่ยนแปลงของคุณภาพสี CIE ($L^*-a^*-b^*$) และระบบสี Munsell color system

โดยเมื่อโครงการวิจัยดังกล่าวได้ดำเนินตามวัตถุประสงค์ที่กำหนดไว้จะทำให้ทราบข้อมูลพื้นฐาน ที่สำคัญของการศึกษาผลการเปลี่ยนแปลงความชื้นในระหว่างการอบแห้งด้วยการใช้อุณหภูมิแบบสองขั้น (Multi-stage drying temperature) และการเปลี่ยนแปลงคุณภาพสีของหญ้าหวาน และสามารถพัฒนาเพื่อปรับปรุงข้อเสนอโครงการวิจัยเพื่อขอรับการพิจารณาจากแหล่งทุนภายนอกต่อไป โดยเป็นการดำเนินโครงการวิจัยต่อเนื่องจากโครงการดังกล่าว และเพิ่มส่วนของการวิเคราะห์เชิงเคมี เช่น การศึกษาผลกระทบของสภาวะในการอบแห้งต่ออัตราการสลายตัวของสารให้ความหวาน หรือ สารสตีวิโอลไซด์ รวมถึงความสามารถในการต้านอนุมูลอิสระ ซึ่งการดำเนินโครงการวิจัยในส่วนต่อเนื่องนี้ จำเป็นต้องใช้ทุนวิจัยสูง จึงจำเป็นต้องต่อยอดเพื่อขอรับการพิจารณาจากแหล่งทุนภายนอก อันเป็นแนวทางการดำเนินโครงการวิจัยเชิงรุกของหน่วยเทคโนโลยีการอบแห้งและลดความชื้น คณะวิศวกรรม และอุตสาหกรรมเกษตร มหาวิทยาลัยแม่โจ้ ซึ่งสามารถต่อยอดสู่โครงการวิจัยการเพิ่มมูลค่าเชิงพาณิชย์ของชาสมุนไพร (ชาหญ้าหวาน) และการผลิตน้ำใช้รับจากหญ้าหวาน อันจะเป็นแนวทางในการส่งเสริมการนำผลงานวิจัยไปพัฒนาหรือใช้ประโยชน์ในเชิงวิชาการ เชิงนโยบาย เชิงสาธารณะ หรือเชิงพาณิชย์ รวมถึงองค์ความรู้ด้านวิศวกรรมและอุตสาหกรรมเกษตร รวมทั้งนวัตกรรมด้านสิ่งแวดล้อม และพลังงาน และเป็นแนวทางที่สำคัญอย่างยิ่งในการบูรณาการพัฒนางานวิจัยด้านเกษตรอินทรีย์ ของคณะวิศวกรรมและอุตสาหกรรมเกษตร มหาวิทยาลัยแม่โจ้ต่อไป

1.2 วัตถุประสงค์ของโครงการวิจัย

งานวิจัยนี้มีวัตถุประสงค์เพื่อศึกษาการทำแห้งหญ้าหวานเพื่อรักษาสีด้วยการใช้อุณหภูมิแบบ
หลายขั้นด้วยเครื่องอบแห้งระดับห้องปฏิบัติการ โดยมีวัตถุประสงค์การวิจัยดังนี้

1.2.1 ศึกษาคุณสมบัติทางกายภาพและคุณลักษณะการอบแห้งของหญ้าหวานเบื้องต้น

1.2.2 ศึกษาผลกระทบของวิธีการอบแห้งหญ้าหวาน ด้วยวิธีการอบแห้งแบบต่างๆ เช่น การ
อบแห้งด้วยวิธีแบบเดียว ด้วยวิธีการอบแห้งด้วยพลังงานแสงอาทิตย์โดยตรง, การอบแห้งด้วยการใช้
อุณหภูมิแบบขั้นเดียว (Single-stage drying temperature) และการอบแห้งด้วยการใช้อุณหภูมิแบบ
สองขั้น (Multi-stage drying temperature) ต่ออัตราการเปลี่ยนแปลงความชื้น พลังงานเฉพาะที่ใช้ใน
การอบแห้ง และการเปลี่ยนแปลงของคุณภาพสี CIE ($L^* - a^* - b^*$) และระบบสี Munsell color system

1.3 ประโยชน์ที่คาดว่าจะได้รับ

โครงการวิจัยนี้จะทำให้ทราบถึงข้อมูลพื้นฐานของคุณลักษณะการอบแห้งของใบชาหญ้าหวาน
เบื้องต้น ได้แก่ ค่าความชื้นเริ่มต้น ค่าความชื้นสมดุล ผลกระทบของค่าความชื้นสุดท้ายต่อการ
เปลี่ยนแปลงคุณภาพ โดยมีรายละเอียดดังนี้

1.3.1 ได้ข้อมูลเชิงวิศวกรรมของคุณสมบัติทางกายภาพและคุณลักษณะการอบแห้งและ
ผลกระทบของการอบแห้งใบหญ้าหวานในระหว่างการอบแห้งด้วยลมร้อน ทั้งรูปแบบการใช้อุณหภูมิ
แบบขั้นเดียว (Single-stage drying temperature) ที่อุณหภูมิ 50, 60, 70, 80 และ 90 องศาเซลเซียส
(ที่ระดับความเร็วลมคงที่ ที่ 0.32 เมตรต่อวินาที) และการอบแห้งด้วยการใช้อุณหภูมิแบบสองขั้น
(Multi-stage drying temperature) ที่อุณหภูมิ 50 และ 80 องศาเซลเซียส และ ที่อุณหภูมิ 50 และ 90
องศาเซลเซียส เพื่อเป็นประโยชน์ต่อการศึกษาต่อไป

1.3.2 ได้สภาวะที่เหมาะสมในการอบแห้งใบหญ้าหวาน เพื่อรักษาค่าสีของการใช้อุณหภูมิแบบ
ขั้นเดียว (Single-stage drying temperature) และการอบแห้งด้วยการใช้อุณหภูมิแบบสองขั้น (Multi-
stage drying temperature) เพื่อเป็นประโยชน์สามารถรักษาคุณภาพสีของใบหญ้าหวานอบแห้งให้
คงไว้ทางโภชนาการและข้อมูลทางเศรษฐศาสตร์วิศวกรรมและทางด้านการตลาด

1.4 ขอบเขตของการทำโครงการ

1.4.1 ทดลองหาความชื้นเริ่มต้นของใบหญ้าหวาน และความชื้นสมดุลที่อุณหภูมิ 50, 60, 70, 80 และ 90 องศาเซลเซียส เพื่อนำข้อมูลมาวิเคราะห์ในการคำนวณสมดุลมวลและสมดุลความร้อนในระหว่างการทำกรองอบแห้ง

1.4.2 ทำการทดลองการทำกรองอบแห้งใบหญ้าหวานโดยการอบแห้งด้วยลมร้อน เพื่อหาอัตราการอบแห้งที่ โดยใช้อุณหภูมิแบบขั้นเดียว (Single-stage drying temperature) ที่อุณหภูมิ 50, 60, 70, 80 และ 90 องศาเซลเซียส (ที่ระดับความเร็วลมคงที่ ที่ 0.32 เมตรต่อวินาที) และการอบแห้งด้วยการใช้อุณหภูมิแบบสองขั้น (Multi-stage drying temperature) ที่อุณหภูมิ 50 และ 80 องศาเซลเซียส และที่ อุณหภูมิ 50 และ 90 องศาเซลเซียส

1.4.3 เปรียบเทียบประสิทธิภาพวิธีการอบแห้งในการรักษาคุณภาพสีใบหญ้าหวานที่อบแห้งโดยใช้อุณหภูมิแบบขั้นเดียว (Single-stage drying temperature) ที่อุณหภูมิ 50, 60, 70, 80 และ 90 องศาเซลเซียส (ที่ระดับความเร็วลมคงที่ ที่ 0.32 เมตรต่อวินาที) และการอบแห้งด้วยการใช้อุณหภูมิแบบสองขั้น (Multi-stage drying temperature) ที่อุณหภูมิ 50 และ 80 องศาเซลเซียส และที่อุณหภูมิ 50 และ 90 องศาเซลเซียส

บทที่ 2

การตรวจเอกสาร

2.1 ข้อมูลทั่วไปของหญ้าหวาน

หญ้าหวาน หรือ สเตเบีย มีชื่อวิทยาศาสตร์ว่า *Stevia rebaudiana* Bertoni อยู่ในวงศ์ Asteraceae เป็นพืชพื้นเมืองทางภาคตะวันออกเฉียงเหนือของประเทศ巴拉圭และบราซิล ได้รับการคัดเลือกและเพาะปลูกในประเทศไทย เมื่อปี พ.ศ. 2550 และปัจจุบันมากในภาคเหนือ โดยเฉพาะที่จังหวัดเชียงใหม่ ลำพูน และเชียงราย สำนักงานคณะกรรมการอาหารและยาให้มีการใช้สารสตีวิโอลิโคไซด์เพื่อการบริโภค หญ้าหวานจึงจดอยู่ในพืชสมุนไพรอีกชนิดหนึ่ง



รูปที่ 2.1 ต้นหญ้าหวาน

ปัจจุบันหญ้าหวานจึงเป็นพืชที่ได้รับความสนใจทั้งทางด้านอุตสาหกรรม การแพทย์ ยาสมุนไพร เครื่องดื่ม เช่น ชา นอกจากนี้ช้าญี่ปุ่นยังนำสารให้ความมาผสมกับผลิตภัณฑ์อาหาร (<http://th.wikipedia.org/wiki>)

2.2 ทฤษฎีการทำแห้งผักและผลไม้

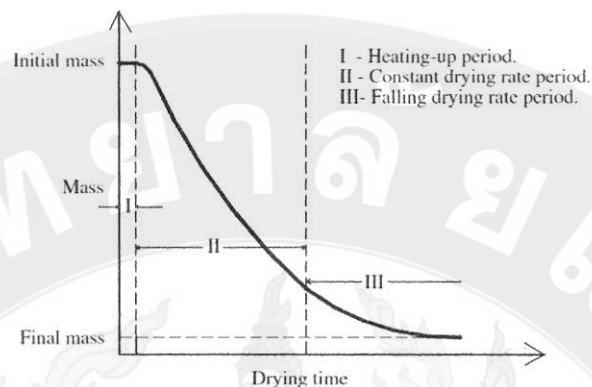
การทำแห้งเป็นเทคโนโลยีที่มีบทบาทสำคัญในการแปรรูปผลผลิตเกษตรเพื่อยืดอายุการเก็บรักษาผลผลิตให้ยาวนานขึ้น ซึ่งจะช่วยรองรับปัญหาผลผลิตเกษตรล้นตลาดได้อีกด้วย การทำแห้งเป็นกระบวนการให้ความร้อนภายใต้สภาวะควบคุมกับผลผลิตเกษตรที่มีความชื้นสูง เพื่อ

ลดปริมาณน้ำหรือความชื้นด้วยวิธีระเหยน้ำออกไป คุณภาพของผลิตภัณฑ์อบแห้งจะขึ้นอยู่กับกลไกการถ่ายเทความร้อนและการถ่ายเทมวลสารในระหว่างกระบวนการอบแห้ง การวิจัยและพัฒนาเพื่อปรับปรุงประสิทธิภาพของกระบวนการอบแห้งซึ่งเป็นกุญแจสำคัญในการปรับปรุงคุณภาพของผลิตภัณฑ์อบแห้งที่ยังคงกลืนรสและคุณค่าทางโภชนาการไว้ใกล้เคียงกับผลผลิตสด (อรรถพล และ ฤทธิชัย, 2551) อย่างไรก็ตามการออกแบบระบบการอบแห้งให้เหมาะสมกับเงื่อนไขที่ต้องการจำเป็นต้องคำนึงถึงปัจจัยต่างๆ ที่เกี่ยวข้อง ทั้งในด้านวิธีการอบแห้ง แหล่งพลังงานที่ใช้ และผลกระทบต่อคุณภาพของผลิตภัณฑ์อบแห้ง

กลไกในการอบแห้งจะประกอบไปด้วยการให้ตัวกลางทางความร้อนเพื่อส่งถ่ายพลังงานความร้อนไปยังผลผลิตเกษตร จนปริมาณความชื้นในผลผลิตเกษตรระเหยและถ่ายความชื้นเข้าสู่ตัวกลางทางความร้อนในรูปแบบของการแลกเปลี่ยนมวลสารและความร้อนในลักษณะต่างๆ ซึ่งมีข้อจำกัดในด้านเทคนิคและความเป็นไปได้ทางเศรษฐศาสตร์ เนื่องจากการใช้เวลาในการอบแห้งนาน จะส่งผลเสียต่อคุณภาพของอาหารและผลิตภัณฑ์อบแห้ง ตลอดจนมีอัตราการสิ้นเปลืองพลังงานสูง จากสาเหตุดังกล่าวจึงได้มีความพยายามในการศึกษาวัตกรรมการให้ความร้อนด้วยวิธีการใหม่ที่มีประสิทธิภาพสูงมาประยุกต์ใช้ในกระบวนการการอบแห้ง เพื่อลดข้อจำกัดต่างๆ ของกระบวนการอบแห้งแบบดั้งเดิมด้วยลมร้อนและเพื่อพัฒนานวัตกรรมทางความร้อนที่มีประสิทธิภาพสูง มีอัตราการอบแห้งที่รวดเร็ว และรักษาคุณภาพของผลิตภัณฑ์อบแห้ง จึงได้มีการศึกษาและวิจัยแหล่งพลังงานที่มีประสิทธิภาพสูงในการถ่ายเทมวลและความร้อนในระหว่างกระบวนการอบแห้ง (ฤทธิชัย, 2556)

Idris et al. (2001) อธิบายกลไกการเปลี่ยนแปลงมวลของผลผลิตเกษตรในระหว่างกระบวนการอบแห้งเป็น 3 ควบเวลา (รูปที่ 2.2) ได้แก่ ควบเวลาที่ 1 เกิดปรากฏการณ์ถ่ายเทพลังงานความร้อนให้ผลผลิตเกษตรจนถึงอุดมหภูมิของการระเหย หรือเรียกว่าการให้ความร้อนช่วงต้น (Heating up period) จากนั้นนำอิสระบริเวณผิวน้ำของผลผลิตเกษตรจะเกิดการระเหย โดยถ่ายเทมวลไปยังตัวกลางทางความร้อน เมื่อน้ำหรือความชื้นที่ผิวดลง น้ำในโครงสร้างชั้นในเซลล์จะเคลื่อนที่มาแทนที่ผิวน้ำเพื่อทดแทนความชื้นที่เสียไป โดยที่อัตราการระเหยน้ำที่ผิวน้ำจะเท่ากับอัตราการเคลื่อนตัวของน้ำภายในโครงสร้างเซลล์ชั้นใน เรียกควบเวลาว่า ควบเวลาที่อัตราการอบแห้งคงที่ (Constant rate period) ซึ่งจะดำเนินต่อเนื่องไปจนกระทั่งค่าความชื้นเข้าสู่ความชื้นิกติ (Critical moisture content) ซึ่งอัตราการถ่ายเทมวูลของoin้ำที่ผิวน้ำของผลิตภัณฑ์มีค่าสูงกว่าอัตราการเคลื่อนตัวของน้ำภายในโครงสร้างเซลล์ชั้นใน เกิดเป็นชั้นของความแห้ง (Drying front) กระบวนการอบแห้งจะเข้าสู่ควบเวลาที่อัตราการอบแห้งลดลง (Falling rate period) กลไกการถ่ายเทมวูลของการอบแห้งด้วยลมร้อนจะเริ่มจากการถ่ายเทพลังงานจากลมร้อนเพื่อทำให้ความชื้นที่ผิวน้ำเข้าสู่อุดมหภูมิระเหย ส่วนความชื้นที่อยู่ภายในจะคงอยู่ พร้อมรับรายมายังผิว โดยอัตราการแพร่กระจายความชื้นจะขึ้นอยู่กับศักยภาพของการ

ถ่ายเทความร้อนและความแตกต่างของอุณหภูมิ เมื่อความชื้นลดลงจนเข้าสู่ค่าความชื้นวิกฤติ และชั้นความแห้งเกิดขึ้น ประสิทธิภาพการถ่ายเทพลังงานจะลดต่ำลงอย่างมาก



รูปที่ 2.2 เส้นโค้งความสัมพันธ์ของการเปลี่ยนแปลงความชื้นในระหว่างการอบแห้ง

ที่มา: Idris et al. (2001)

การอบแห้งที่มีตัวกลางทางความร้อนเพื่อถ่ายเทพลังงานไปสู่ความชื้นภายในผลผลิต ส่งผลให้อัตราการแพร่ความชื้นลดต่ำลง จึงต้องใช้เวลา yananaในการระเหยความชื้นจากชั้นในโครงสร้างเซลล์ จำเป็นต้องเพิ่มพลังงานมากขึ้น ซึ่งกลไกดังกล่าวเป็นข้อจำกัดของการอบแห้งด้วยลมร้อน ในขณะที่การอบแห้งด้วยคลื่นไมโครเวฟ จะเกิดการเหนี่ยวแน่นความร้อนของน้ำอิสระที่ชั้นผิวและภายในโครงสร้างเซลล์ เกิดเป็นไอกาย่างรวดเร็วโดยจะเกิดเป็นไอก่อนที่ความชื้นจะออกจากวัสดุ โดยเฉพาะหากผลผลิตเกย์ตรมีความชื้นเริ่มต้นสูงจะทำให้เกิดความแตกต่างของความดันเฉพาะส่วนของไอกายสูงมาก ซึ่งจะมีผลต่อเนื่องทำให้ความชื้นเคลื่อนที่ออกจากวัสดุไปอย่างรวดเร็ว กรณีนี้เรียกว่า ปรากฏการณ์บีบของเหลว (Pumping effect) ซึ่งเป็นปรากฏการณ์ที่แรงดันไอกำให้ของเหลวเคลื่อนที่สู่ผิวน้ำเซลล์โดยตรงโดยปราศจากการเปลี่ยนแปลงสถานะ (ผดุงศักดิ์, 2551)

2.3 วิธีการหาความชื้นตามมาตรฐาน

ความชื้นเป็นตัวบวกปริมาณน้ำที่มีอยู่ในผลผลิตเมื่อเทียบกับมวลของผลผลิต ซึ่งโดยทั่วไปจะบอกได้ 2 แบบด้วยกัน คือ เมื่อเทียบกับมวลของผลผลิตซึ่งก็จะเรียกว่า ความชื้นในรูปเปียก เป็นความชื้นที่นิยมบอกในทางการค้าหรือการซื้อขายผลผลิตทางการเกษตรของเกษตรกร และเมื่อเทียบกับมวลของผลผลิตแห้งก็จะเรียกว่า ความชื้นในรูปแห้ง ซึ่งเป็นความชื้นที่นิยมใช้ในเอกสารวิชาการเนื่องจากว่าنان้ำหนักแห้งจะมีค่าคงที่เสมอไม่เปลี่ยนไปตามระยะเวลาการอบแห้ง ดังนั้นจึงง่ายในการอ้างอิง ซึ่งความชื้นทั้งสองมาตรฐานนี้สามารถเขียนเป็นสมการได้ดังนี้

ความชื้นรูปเปียก (Wet basis)

$$MC_{wb} = \frac{\text{mass of water}}{\text{mass of sample}} \quad \dots\dots\dots(2.2)$$

ความชื้นรูปแห้ง (Dry basis)

$$MC_{db} = \frac{\text{mass of water}}{\text{mass of dry solids}} \quad \dots\dots\dots(2.3)$$

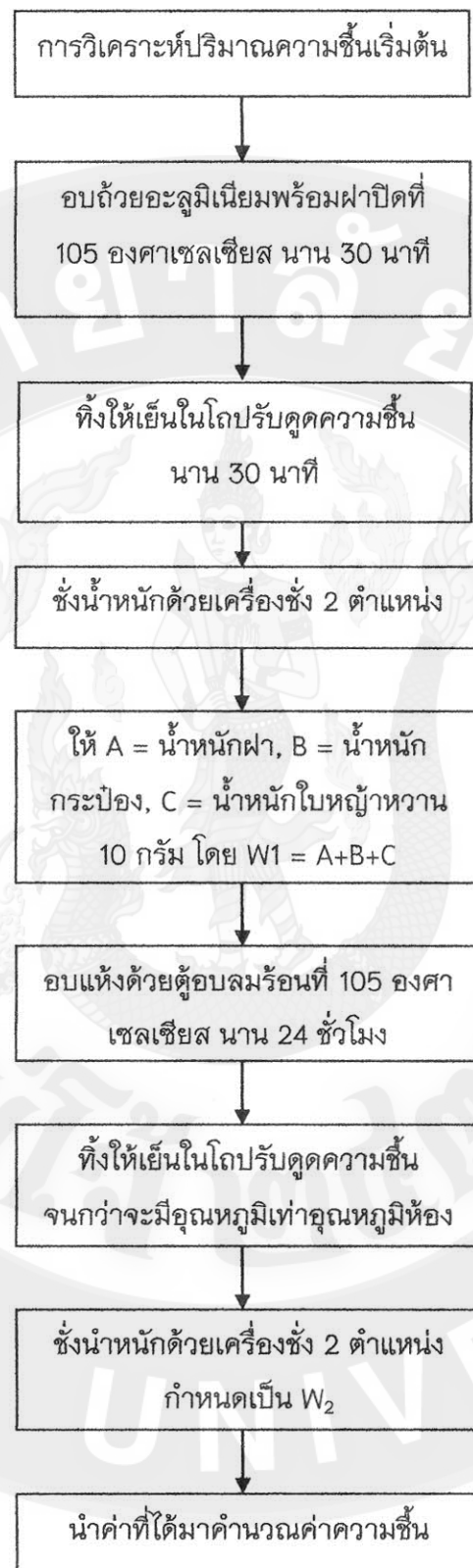
เมื่อ MC_{wb} คือ ความชื้นรูปเปียก

MC_{db} คือ ความชื้นรูปแห้ง

สำหรับหน่วยของความชื้นนั้นโดยทั่วไปทางการค้านิยมบอกเป็นเปอร์เซ็นต์ ซึ่งสามารถเปลี่ยนได้โดยการคูณด้วย 100 และตัวย่อด้านท้าย เปอร์เซ็นต์ d.b. หมายถึงรูปแห้ง และ เปอร์เซ็นต์ w.b. หมายถึงรูปเปียก บางครั้งมีความจำเป็นที่จะต้องเปลี่ยนความชื้นจากรูปแห้งนั่งสู่อีกรูปแห้งนึง ซึ่งสามารถทำได้โดยใช้สมการซึ่งได้จากการแก้สมการสองสมการข้างต้น

$$MC_{wb} = \frac{MC_{db}}{MC_{db} + 1} \quad \dots\dots\dots(2.4)$$

$$MC_{db} = \frac{MC_{wb}}{1 - MC_{wb}} \quad \dots\dots\dots(2.5)$$



รูปที่ 2.3 แผนผังแสดงการคำนวณความชื้นเริ่มต้น

รูปที่ 2.3 แสดงขั้นตอนการหาค่าความชื้นเริ่มต้น ในการหา้น้ำหนักของผลผลิตสุดท้ายเมื่อทราบความชื้นเริ่มต้นและความชื้นสุดท้าย ในกรณีที่ทราบน้ำหนักเริ่มต้นของผลผลิตที่ต้องการอบแห้งสามารถหา้น้ำหนักผลผลิตสุดท้ายได้จากสมการที่ 2.6

$$W_w = \frac{(M_i - M_f)W_i}{(100 - M_f)} \quad \dots\dots\dots(2.6)$$

เมื่อ	M_f	คือ ความชื้นสุดท้าย
	M_i	คือ น้ำหนักผลผลิตเริ่มต้นก่อนอบ
	W_w	คือ น้ำหนักน้ำที่ต้องการเอาออกจากการอบแห้ง
	M_i	คือ ความชื้นเริ่มต้น
	W_f	คือ น้ำหนักผลผลิตสุดท้ายหลังอบ

กรณีใช้น้ำหนักผลิตภัณฑ์แห้งที่ต้องการเป็นฐาน สมการที่ใช้ในการคำนวณ ได้แก่

$$W_w = \frac{(M_i - M_f)W_f}{(100 - M_i)} \quad \dots\dots\dots(2.7)$$

2.4 การอบแห้งแบบอุณหภูมิหลอยขัน

การทำแห้งแบบอุณหภูมิหลอยขันเป็นแนวทางการปรับปรุงประสิทธิภาพการอบแห้งซึ่งเป็นวิธีการที่ไม่จำเป็นต้องใช้เครื่องมือหรือเครื่องจักรที่มีราคาแพงหรือเทคโนโลยีทันสมัยมากนัก คือ การทำแห้งแบบอุณหภูมิหลอยขัน วิธีการนี้สามารถใช้ได้กับเครื่องอบแห้งที่มีอยู่แล้วโดยไม่จำเป็นต้องเพิ่มเงินลงทุนใดๆ

วิริยา (2553) ได้สรุปบทความวิจัยที่เกี่ยวข้องกับการทำแห้งแบบอุณหภูมิหลอยขัน โดยการทำแห้งแบบอุณหภูมิหลอยขันเป็นการใช้อากาศร้อนที่อุณหภูมิในระดับแตกต่างกัน ช่วงแรกเป็นการทำแห้งที่อุณหภูมิสูงต่อด้วยการทำแห้งที่อุณหภูมิต่ำในขันที่สอง หรือเป็นการทำแห้งที่อุณหภูมิต่ำในขันแรกก่อนแล้วค่อยเพิ่มอุณหภูมิในการทำแห้งในขันที่สอง กลไกการทำแห้งโดยทั่วไปเกิดจากการที่น้ำที่ถูกระเหยออกจากอาหารโดยน้ำในอาหารได้รับความร้อน ทำให้น้ำหรือไอน้ำในอาหารเคลื่อนที่มาที่ผิวน้ำอาหารและระเหยไปกับกระแสอากาศร้อน ซึ่งกลไกหนึ่ง คือ เกิดความแตกต่างของความดันไอของน้ำในอาหารกับบริเวณผิวน้ำอาหารซึ่งทำให้ไอน้ำที่อยู่ในอาหารเคลื่อนที่มาสู่ผิวน้ำได้ ซึ่งสภาวะนี้ถ้าอัตราการเคลื่อนที่ของน้ำในอาหารมากที่ผิวน้ำอาหารเท่ากับอัตราการระเหยของน้ำที่ผิวน้ำ

อาหาร เรียกสภาวะนี้ว่า ช่วงของอัตราการทำแห้งคงที่ (Constant drying rate period) โดยปัจจัยที่ควบคุมการดึงน้ำออกจากอาหาร คือ อุณหภูมิ ปริมาณความชื้น และความเร็วของอากาศที่ใช้ในการทำแห้ง เป็นต้น เมื่อทำแห้งต่อไปจนกระทั่งถึงความชื้นในระดับหนึ่งอัตราการเคลื่อนที่ของน้ำภายในอาหารที่แพร่มาที่ผิวน้ำซากกว่าอัตราการระเหยของน้ำที่ผิวน้ำอาหาร ทำให้อัตราการทำแห้งลดลง ซึ่งเรียกช่วงนี้ว่า ช่วงของอัตราการทำแห้งลดลง (Falling drying rate period) ซึ่งปัจจัยที่ควบคุมอัตราการทำแห้งในช่วงนี้คือ การแพร่ของน้ำภายในอาหาร ดังนั้น จากหลักการของการทำแห้งนี้สามารถนำอธิบายการทำแห้งแบบอุณหภูมิหลายชั้นได้โดยเฉพาะในกรณีที่ใช้อุณหภูมิสูงในชั้นตอนแรกและตามด้วยการใช้อุณหภูมิต่ำในชั้นสุดท้าย กล่าวคือ การอบแห้งที่อุณหภูมิสูงในชั้นแรกเป็นการเพิ่มอุณหภูมิของน้ำในอาหารให้สูงขึ้น ทำให้น้ำเปลี่ยนสถานะกล้ายเป็นไอ และระเหยออกจากอาหารได้อย่างรวดเร็วจนกระทั่งถึงความชื้นของอาหารลดลงจนถึงจุดวิกฤต อัตราการระเหยน้ำออกจากรากอาหารจะถูกควบคุมโดยการแพร่ของน้ำภายในอาหาร นอกจากนี้การที่อาหารได้สัมผัสกับอุณหภูมิสูงในชั้นแรกยังทำให้อาหารนั้นมีการลดลงความร้อนภายในอาหารซึ่งเพียงพอที่จะทำให้น้ำภายในอาหารเกิดการแพร่ออกมายังด้านนอกอาหารได้มากกว่ากรณีที่ใช้อุณหภูมิต่ำเพียงชั้นตอนเดียว

Ergunes and Trahan (2006) ศึกษาอัตราการทำแห้งพritchard หรือย่นโดยการใช้อุณหภูมิในการทำแห้งที่แตกต่างกัน จะเห็นว่ากรณีที่ใช้อุณหภูมิหลายชั้น (70 องศาเซลเซียส ตามด้วย 50 องศาเซลเซียส) พบร่วมกับอัตราการทำแห้งจะสูงมาก ซึ่งเมื่อนอกจากการทำแห้งที่อุณหภูมิสูงแบบชั้นเดียว (70 องศาเซลเซียส) และเมื่อเวลาผ่านไป อัตราการทำแห้งจะเริ่มลดลงเมื่อนอกจากอัตราการทำแห้งที่อุณหภูมิ 50 องศาเซลเซียส แบบชั้นเดียว โดยจะเห็นว่าการใช้อุณหภูมิสูงแบบชั้นเดียว (70 องศาเซลเซียส) การใช้อุณหภูมิต่ำแบบชั้นเดียว หรือการใช้อุณหภูมิหลายชั้นนั้น อัตราการทำแห้งแตกต่างกันไม่มากนัก ณ ระดับปริมาณความชื้นต่ำกว่า 2.5 กิโลกรัมต่อกิโลกรัมอาหารแห้ง สอดคล้องกับผลงานวิจัยของ Chua et al. (2001) ศึกษาการทำแห้งกล้วยโดยเปรียบเทียบการทำแห้งแบบอุณหภูมิหลายชั้นทั้งแบบอุณหภูมิลดลง (Step-down temperature) และแบบอุณหภูมิเพิ่มขึ้น (Step-up temperature) พบร่วมกับการทำแห้งแบบอุณหภูมิลดลงมีอัตราการทำแห้งที่สูงกว่าการทำแห้งแบบอุณหภูมิเพิ่มขึ้นและอุณหภูมิชั้นเดียวในช่วงเวลาในช่วงแรกจนถึง 60 นาที และเมื่อเวลาในการทำแห้งผ่านไปอัตราการทำแห้งไม่แตกต่างกัน นอกจากนี้ยังพบว่าการใช้อุณหภูมิในการทำแห้งแบบลดลงใช้เวลาในการทำแห้งน้อยกว่า เมื่อเปรียบเทียบกับการทำแห้งแบบอุณหภูมิชั้นเดียว และการทดลองการทำแห้งพritchard และกล้วยที่กล่าวมาข้างต้นพบว่าสอดคล้องกับผลการทดลองของ Devahastin and Mujumdar (1999) โดยใช้แบบจำลองทางคณิตศาสตร์ทำนายอัตราการทำแห้งผลิตภัณฑ์กลุ่มเมล็ดพันธุ์ (Grain drying) แบบอุณหภูมิหลายชั้นพบว่ามีอัตราการทำแห้งสูงกว่าการทำแห้งแบบอุณหภูมิชั้นเดียว ซึ่งโดยทั่วไปในการทำแห้งกลุ่มเมล็ดพันธุ์มีชั้นตอน Tempering เป็นผลให้น้ำที่อยู่ภายในเมล็ดพันธุ์เกิดการเคลื่อนที่มากที่ผิวน้ำของเมล็ดพันธุ์มากขึ้น และเมื่อนำเมล็ดพันธุ์มาทำแห้งชีกครั้งจะทำให้

น้ำที่ปริมาณผิวน้ำเมล็ดพันธุ์เกิดการระเหยได้ ซึ่งส่งผลทำให้มีอัตราการทำแห้งที่สูง แต่สำหรับในการทำแห้งผลิตภัณฑ์ผักผลไม้ที่ก่ออำนวยขึ้นไม่มีกระบวนการเทมเพอร์ริง (tempering) แต่ก็ยังพบว่าอัตราการทำแห้งไม่แตกต่างจากการใช้อุณหภูมิขั้นเดียวที่ระดับสูง อาจเป็นเพราะผลิตภัณฑ์ผักผลไม้เปลือกแข็งเหมือนกลุ่มเมล็ดพันธุ์ จึงไม่มีสิ่งกีดขวางการเคลื่อนที่ของน้ำมาที่ผิวน้ำอาหาร เพื่อระเหยกล้ายเป็นไอกลุ่มออกาคการทำแห้งภายในอก ดังนั้นอัตราการทำแห้งจากผักผลไม้ที่ไม่มีการเทมเพอร์ริงจึงน่าจะเกิดขึ้นได้ดีกว่าผลิตภัณฑ์กลุ่มเมล็ดพันธุ์

การทำแห้งแบบอุณหภูมิหลายขั้นนั้นนอกจากเป็นวิธีการที่ประหยัดพลังงานแล้ว ยังพบว่าอาหารที่ผ่านการทำแห้งนั้นมีคุณภาพที่ดีกว่าการทำแห้งแบบอื่นๆ โดยการทำแห้งที่อุณหภูมิสูงตลอดทั้งช่วงการทำแห้ง มักพบว่าอาหารเกิดสีคล้ำขึ้นที่ผิวน้ำอาหาร และกรณีที่อาหารที่มีองค์ประกอบหรือสาระสำคัญที่ไวต่ออุณหภูมิสูงเกิดการสูญเสียไป (Wiriya, 2553) หรือในบางกรณีที่ใช้อุณหภูมิสูงกว่า 70 องศาเซลเซียส จะพบว่าอาหารมีลักษณะเป็นเปลือกแข็งเกิดขึ้นที่ผิวน้ำซึ่งส่งผลให้ปั๊ดช่วงการเคลื่อนที่ของน้ำออกจากอาหาร โดยทั่วไปการทำแห้งผลิตภัณฑ์อาหารส่วนมากจะเป็นการทำแห้งในช่วงของอัตราการทำแห้งลดลง ดังนั้น การใช้อุณหภูมิสูงในช่วงแรกและลดอุณหภูมิลงในช่วงสุดท้าย จึงถือว่าเพียงพอต่อการแพร่ของน้ำในอาหารได้ ทำให้เป็นผลดีต่ออาหารโดยยังคงคุณภาพดีทั้งทางด้านเคมีและกายภาพ เมื่อเปรียบเทียบกับการทำแห้งอุณหภูมิต่ำตลอดช่วงการทำแห้ง ดังตัวอย่างในการทำแห้งพริกพันธุ์หัวเรือย่น (Wiriya et al., 2009) ที่พบว่าพริกมีสีคล้ำน้อยกว่าการทำแห้งแบบอุณหภูมิขั้นเดียว ซึ่งการทดลองนี้สอดคล้องกับการทดลองของ Chua et al. (2001) ที่พบว่าอัตราการเปลี่ยนแปลงสีของกล้วยกลังการทำแห้งแบบอุณหภูมิหลายขั้นมีค่าน้อยกว่าการทำแห้งแบบอุณหภูมิขั้นเดียว

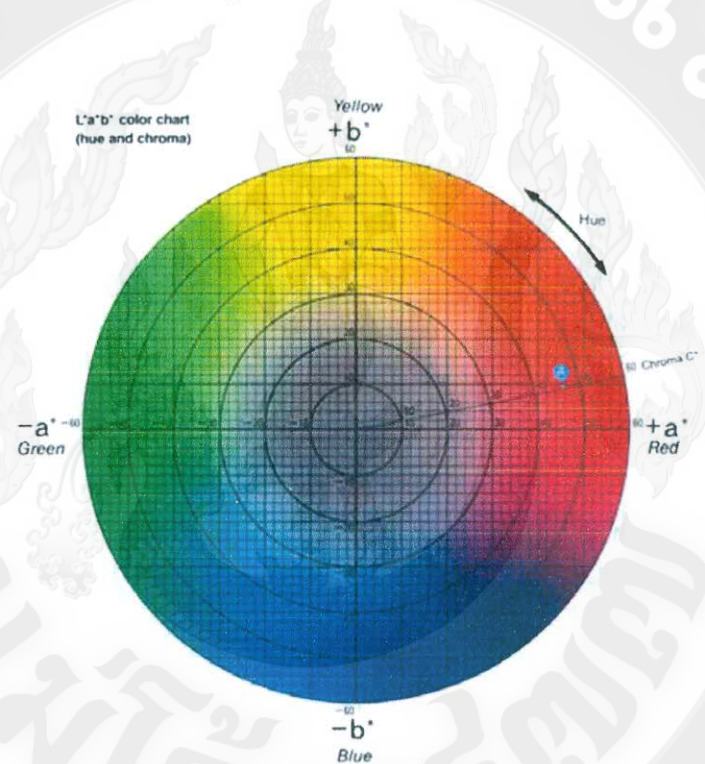
นอกจากนี้ยังมีการนำวิธีการทำแห้งอุณหภูมิหลายขั้นแบบอุณหภูมิลดลงไปใช้ในการการทำแห้งลำไย พบร้า ลำไยที่ผ่านการทำแห้งด้วยวิธีนี้มีสีเหลืองทองที่ดีกว่าการทำแห้งแบบอุณหภูมิขั้นเดียว โดยดูจากค่าความสว่าง (L^*) และค่า Hue angle (สุนีรัตน์, 2544) นั้นเป็น เพราะว่าการทำแห้งที่อุณหภูมิต่ำจะสามารถลดการเกิดปฏิกิริยาสีน้ำตาลแบบไม่ใช้อنزิเมต (Non-enzymatic browning) นอกจากนี้ Davison et al. (2004) ได้นำเทคนิคการทำแห้งแบบนี้ไปใช้กับการทำแห้งโสม พบร้า สีของโสมที่ผ่านการทำแห้งแบบอุณหภูมิหลายขั้นมีค่าความสว่างที่ไม่แตกต่างจากการใช้อุณหภูมิแบบขั้นเดียว แต่พบว่าเวลาในการการทำแห้งลดลง 40 ถึง 50 เพร็ชเน็ต เมื่อเทียบกับการทำแห้งอุณหภูมิต่ำแบบขั้นเดียว ข้อดีอีกอย่างของการทำแห้งแบบอุณหภูมิหลายขั้น คือ ยังคงปริมาณสารสำคัญหรือองค์ประกอบทางเคมีที่สำคัญไม่แตกต่างจากการใช้อุณหภูมิในการทำแห้งแบบขั้นเดียวที่ระดับอุณหภูมิต่ำได้ การศึกษาของ Wiriya et al. (2009) พบร้าปริมาณกรดแอสคอร์บิก (Ascorbic acid) และปริมาณฟีโนลิกทั้งหมด (Total phenolic compound) ไม่แตกต่างกับการทำแห้งแบบอุณหภูมิขั้นเดียว เช่นเดียวกับปริมาณจินซีโนไซด์ทั้งหมดในโสม (Total ginsenoside) ที่มีปริมาณที่ไม่แตกต่างจาก

การใช้อุณหภูมิตำในการทำแห้งโสม (Davison et al., 2004) ซึ่งอาจเป็นเพราะการใช้อุณหภูมิในการทำแห้งแบบหลายขั้นใช้เวลาในการทำแห้งนานกว่าการทำแห้งแบบอุณหภูมิสูงขั้นเดียว ทำให้สารสำคัญโดยเฉพาะกรดแอกโซอร์บิกซึ่งໄวต์ของการเปลี่ยนแปลงเนื่องจากอุณหภูมิและแสงกระตุ้นให้กรดแอกโซอร์บิกเกิดปฏิกิริยาออกซิเดชันและมีปริมาณลดลง ถึงแม้ว่าจะมีการใช้อุณหภูมิที่ต่ำลงแล้วก็ตามแต่ผลการทดลองนี้ไม่ตรงกับ Chua et al. (2000) ที่ศึกษาการเปลี่ยนแปลงปริมาณวิตามินซีในมันฝรั่งโดยใช้เครื่องอบแห้งแบบปั๊มความร้อนอุณหภูมิแบบหลายขั้น พบว่า สามารถลดการสูญเสียวิตามินซีได้มากกว่า 20 เปอร์เซ็นต์ เป็นไปได้ว่าบริการทำแห้งของ Chua et al. (2000) ซึ่งเป็นการใช้อุณหภูมิตำ (25–35 องศาเซลเซียส) โดยใช้ปั๊มความร้อน ซึ่งแตกต่างจาก Wiriya et al. (2009) และ Chua et al. (2000) ที่ใช้เครื่องอบแห้งแบบลมร้อนและอุณหภูมิในการทำแห้ง 50–70 องศาเซลเซียส และ 38–50 องศาเซลเซียส ตามลำดับ

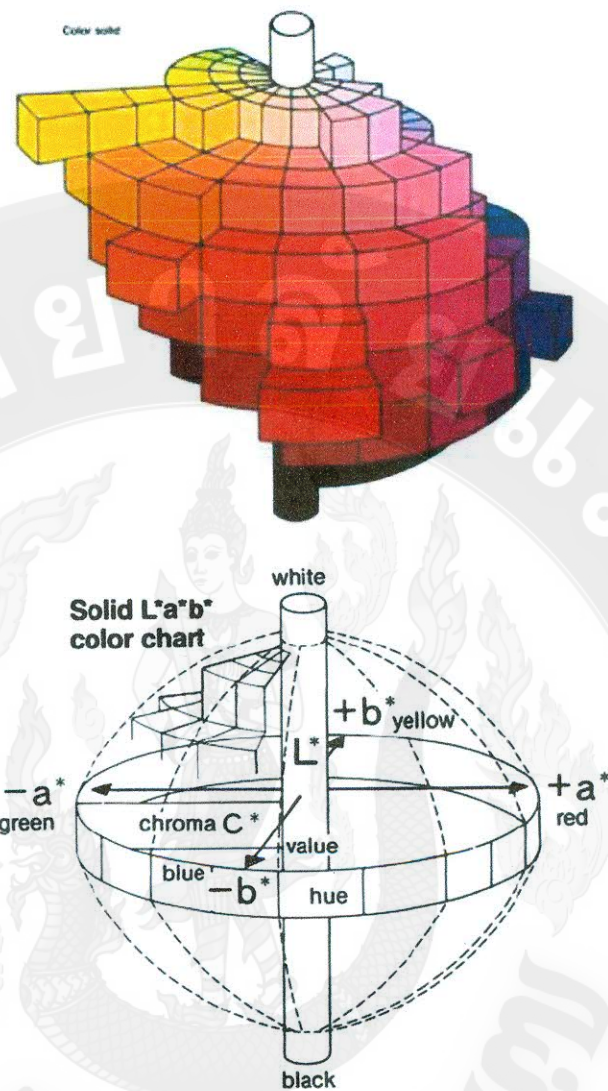
Pan et al. (1999) พบว่าการใช้อุณหภูมิในการทำแห้งแบบหลายขั้น ทำให้ปริมาณเบต้าแคโรทีนในเครื่องมีปริมาณสูงกว่าการทำแห้งแบบอุณหภูมิขั้นเดียว เนื่องจากเบต้าแคโรทีนเป็นสารให้สีในกลุ่มแคโรทีนอยด์ที่ค่อนข้างคงตัวที่อุณหภูมิสูงและสารกลุ่มนี้อยู่ในเซลล์เนื้อเยื่อทำให้เซลล์เนื้อเยื่อห้อมและป้องกันสารเม็ดสีเหล่านี้ (Compartmentalized) ไม่ให้สัมผัสกับลมร้อนได้โดยตรง และชีกหั้งสารกลุ่มแคโรทีนอยด์เป็นสารที่ไม่ละลายในน้ำ ซึ่งการทำแห้งเป็นการระเหยน้ำออกจากอาหาร ดังนั้น สารกลุ่มนี้จึงไม่สูญเสียไปพร้อมกับน้ำที่ระเหยออกไป แต่ย่างไรก็ตาม การทำแห้งเป็นเวลานานมากเกินไปก็อาจทำให้สารกลุ่มแคโรทีนอยด์เกิดปฏิกิริยาออกซิเดชันได้เนื่องจากออกซิเจน แสง เอนไซม์ และจากการฉีกขาดของเซลล์

สีมีความสำคัญต่อคุณภาพผลิตภัณฑ์ผลผลิตทางการเกษตรรอบแห้งในด้านความชอบและการยอมรับของผู้บริโภค บางครั้งสีอาจใช้เป็นดัชนีชี้วัดในการคัดเลือกวัตถุดิบควบคุมขั้นตอนการผลิต และจัดแบ่งคุณภาพของผลิตภัณฑ์อาหาร ปัจจุบันนิยมใช้ระบบสีในการตรวจสอบคุณภาพผลิตภัณฑ์ผลผลิตทางการเกษตรรอบแห้งด้วยมาตรฐานด้านสี คือ Commission Internationale de l'Eclairage (CIE) ซึ่งเป็นที่ยอมรับอย่างกว้างในวงการวิชาการ หรือระบบ CIE ($L^* - a^* - b^*$) ซึ่งประกอบด้วยค่า L^* -value แสดงถึงความสว่าง (Lightness) จากค่า ($+L^*$) คือ สีขาว ถึง ($-L^*$) คือ สีดำ, a^* -value แสดงถึงแกนสีที่ไล่จากเขียว (- a^*) ไปถึงสีแดง ($+a^*$), b^* -value แสดงถึงแกนสีที่ไล่จากน้ำเงิน ($-b^*$) ไปถึงสีเหลือง ($+b^*$) และมาตรฐานระบบมุนเซลล์ (Munsell color system) ระบบสีของมุนเซลล์เป็นระบบที่มีชื่อเสียงและได้รับนิยมสูงในการวัดค่าสีของผักและผลไม้ ซึ่งประกอบด้วย Hue-value เป็นสีที่สะท้อนมาจากการสีของวัตถุ ซึ่งแตกต่างกันตามความยาวคลื่นแสงที่มีการทบทวนและสะท้อนกลับมาที่ต่ำค่า Hue ในมุนเซลล์, ค่า value เป็นค่าที่ใช้บอกความมีดหรือความสว่าง และ Chroma เป็นค่าที่บอกถึงความเข้มหรือความจางของสี (Saturation) ในสัดส่วนของสี (Hue) ที่มีอยู่ในสีเทา วัดค่าเปอร์เซ็นต์จาก 0 เปอร์เซ็นต์ (สีเทา) จนถึง 100 เปอร์เซ็นต์ (อัจฉรา, 2556) สีเป็นคุณสมบัติเชิงแสงที่สามารถใช้

บรรยายคุณลักษณะของวัสดุเกย์ตรได้ง่ายที่สุดหรือหนึ่งในการอธิบายสีของวัตถุด้วยคำพูดมาตรฐาน การบรรยายลักษณะสีอาจจะแตกต่างกันขึ้นอยู่กับประสบการณ์ ลักษณะทางกายภาพของตัวผู้บรรยาย ลักษณะแสงที่ตอกกระแทบ เป็นต้น ดังนั้นการวัดและการบรรยายสีในเชิงวิชาการจึงต้องมีการจัดมาตรฐานเพื่อเป็นการลดความไม่เป็นกลาง (Bias) ของผู้บรรยายสีของวัสดุนั้นในโครงการวิจัยนี้ใช้การวัดค่าสีในระบบ $L^* - a^* - b^*$ ซึ่งเป็นระบบบรรยายสีแบบ 3 มิติ โดยที่แกน L^* จะบรรยายถึงความสว่าง (Lightness) จากค่า $+L^*$ แสดงถึงสีขาว จนไปถึง $-L^*$ แสดงถึงสีดำ แกน a^* จะบรรยายถึงแกนสีจากเขียว ($-a^*$) ไปจนถึงสีแดง ($+a^*$) ส่วนแกน b^* จะบรรยายถึงแกนสีจากน้ำเงิน ($-b^*$) ไปเหลือง ($+b^*$) ลักษณะการบรรยายสีของ CIE (รูปที่ 2.4 และ 2.5)



รูปที่ 2.4 การบรรยายสีในระบบ CIE Lab มีองในระนาบ 2 มิติ: Hue และ Chroma
บรรยายถึงความมันวาวหรือความเข้มของโทนสี



รูปที่ 2.5 การบรรยายสีพื้นในระบบ CIE Lab ในรูป 3 มิติ

บทที่ 3

วิธีการดำเนินการ

เพื่อให้การดำเนินงานโครงการวิจัยของโครงการวิจัยการทำแห้งหญ้าหวานเพื่อรักษาสีด้วยการใช้อุณหภูมิแบบหลายชั้น บรรลุวัตถุประสงค์ตามที่ตั้งไว้ จึงมีแผนการดำเนินงานดังต่อไปนี้

3.1 คุณลักษณะการอบแห้งของหญ้าหวานเบื้องต้น

นำตัวอย่างหญ้าหวาน แยกใบและกิ่งออกจากกัน นำไปอบแห้งมาล้างทำความสะอาดด้วยน้ำสะอาด จากนั้นเอาไปเข้าเครื่องเหวี่ยงจนแห้ง นำไปอบแห้งด้วยตู้อบแห้งด้วยลมร้อน (Memmert Model 500/108I) ที่อุณหภูมิ 105 ± 2 องศาเซลเซียส เป็นเวลา 24 ชั่วโมง (AOAC, 2010) จากนั้นนำมาซึ่งน้ำหนักด้วยเครื่องซึ่งระบบดิจิตอล (Sartorius Model CP2245) นำข้อมูลผลต่างของน้ำหนักใบหญ้าหวานก่อนและหลังการอบแห้งมาคำนวณหาค่าความชื้นของใบหญ้าหวานโดยมีสมการดังแสดงในสมการที่ (3.1)

$$MC = \frac{W_i - W_f}{W_f} \times 100 \quad \dots\dots\dots(3.1)$$

เมื่อ MC คือ ความชื้นของใบหญ้าหวาน (กรัม/ต่อกิโลกรัม) และ W_i , W_f คือ น้ำหนักเริ่มต้นของใบหญ้าหวานสด (กรัม) และน้ำหนักสุดท้ายของใบหญ้าหวาน (กรัม) ตามลำดับ

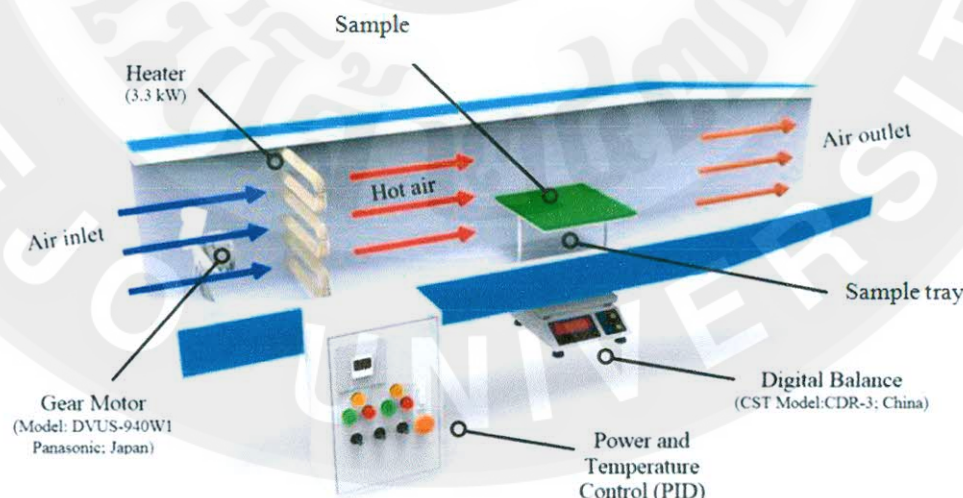
3.2 การศึกษาผลการเปลี่ยนแปลงความชื้นในระหว่างการอบแห้งแบบดึงเดjmด้วยพลังงานแสงอาทิตย์

นำตัวอย่างหญ้าหวาน แยกใบและกิ่งออกจากกัน นำไปอบแห้งมาล้างทำความสะอาดด้วยน้ำสะอาด จากนั้นเอาไปเข้าเครื่องเหวี่ยงจนแห้ง นำไปอบแห้งด้วยตู้อบแห้งในรูปแบบสแตนเลส ขนาด 1×1 ตารางเมตร นำไปตากแห้งที่ลานตาก (ตั้งแต่เวลา 8.00 น.-18.00 น.) โดยในระหว่างวันนำตัวอย่างไปเก็บในถุงดูดความชื้นระบบสูญญากาศก่อนนำไปอบแห้งในวันต่อไป ในระหว่างการอบแห้งนำตัวอย่างมาซึ่งน้ำหนักทุก 1 ชั่วโมง เพื่อคำนวณหาค่าความชื้นของใบหญ้าหวานโดยมีสมการดังแสดงในสมการที่ (3.1) โดยศึกษาการอบแห้งหญ้าด้วยการอบแห้งแบบดึงเดjmด้วย

ผลลัพธ์งานแสงอาทิตย์ จากความชื้นเริ่มต้นจนเหลือความชื้นสุดท้าย จากนั้นนำตัวอย่างหกชิ้นแห้งบรรจุในถุงอลูมิเนียมพอยล์และปิดผนึก จากนั้นตัวอย่างไปตรวจวัดสีต่อไป

3.3 การศึกษาผลการเปลี่ยนแปลงความชื้นในระหว่างการอบแห้งด้วยการใช้อุณหภูมิแบบขั้นเดียว (Single-stage drying temperature)

นำตัวอย่างหกชิ้นแห้งและกึ่งอกรากัน นำไปอบหกชิ้นในร่องอบแห้ง ด้วยเครื่องอบแห้งลมร้อนแบบภาชนะซึ่งถูกออกแบบและสร้างโดย สาขาวิชาวิกรรมอาหาร คณะวิศวกรรมและอุตสาหกรรมเกษตร มหาวิทยาลัยแม่โจ้ ซึ่งมีส่วนประกอบที่สำคัญ ได้แก่ ระบบสร้างลมร้อนซึ่งประกอบด้วยชุดลดไฟฟ้าขนาด 1.1 กิโลวัตต์ จำนวน 3 ชุด และพัดลมระบายอากาศ (ยี่ห้อ PANASONIC รุ่น DVUS-940W1 ผลิตโดยประเทศญี่ปุ่น) ควบคุมอุณหภูมิของอากาศร้อนด้วยเครื่องควบคุมอุณหภูมิระบบ PID (ยี่ห้อ TOHO รุ่น TT-M J4/J5 ประเทศญี่ปุ่น) สามารถรับทราบตัวอย่างติดตั้งตัวชี้ (ยี่ห้อ CST รุ่น CDR-3 ผลิตโดยประเทศจีน) สำหรับวัดและบันทึกค่าหนักที่เปลี่ยนแปลงของหกชิ้นแห้งและบันทึกค่าผ่านจากช่องสัญญาณ RS-485 ซึ่งเชื่อมต่อกับอุปกรณ์ในการแปลงสัญญาณและเครื่องคอมพิวเตอร์ สำหรับบันทึกข้อมูล จากนั้นนำหกชิ้นแห้งที่มีน้ำหนักเริ่มต้นจำนวน 50 กรัม อบแห้งด้วยชุดทดสอบการอบแห้งแบบภาชนะ (รูปที่ 3.1) ที่อุณหภูมิ 50, 60, 70, 80 และ 90 องศาเซลเซียส ที่ความเร็วลมคงที่ ที่ 0.32 เมตรต่อวินาที จากนั้นนำหกชิ้นแห้งอบแห้งไปตรวจวัดการเปลี่ยนแปลงของคุณภาพสี CIE ($L^* - a^* - b^*$) และระบบสี Munsell color system และเปรียบเทียบผลงานเฉพาะในการอบแห้ง



รูปที่ 3.1 เครื่องอบแห้งลมร้อนแบบภาชนะ ขนาดห้องปฏิบัติการ

3.4 การศึกษาผลการเปลี่ยนแปลงความชื้นในระหว่างการอบแห้งด้วยการใช้อุณหภูมิแบบสองขั้น (Multi-stage drying temperature)

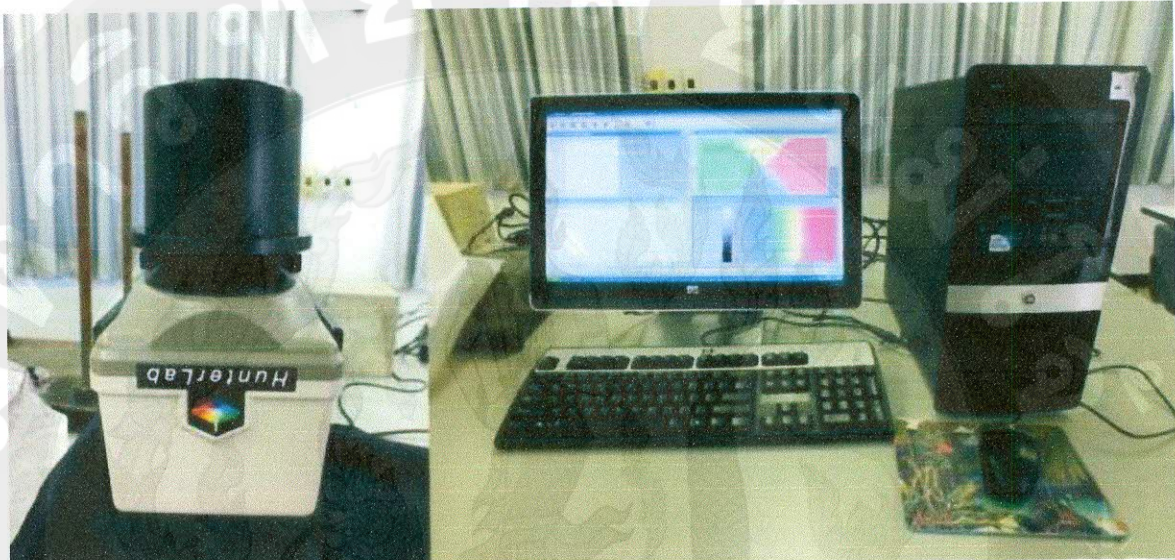
จากการศึกษาผลการเปลี่ยนแปลงความชื้นในระหว่างการอบแห้งด้วยการใช้อุณหภูมิแบบขั้นเดียว (Single-stage drying temperature) ที่อุณหภูมิ 50, 60, 70, 80 และ 90 องศาเซลเซียส ที่ความเร็วลมคงที่ ที่ 0.32 เมตรต่อวินาที จะทำให้ทราบถึงเส้นโค้งความสัมพันธ์ของการเปลี่ยนแปลงความชื้นในระหว่างการอบแห้ง และความสัมพันธ์ระหว่างความชื้นและอัตราการอบแห้ง ซึ่งจะทำให้ทราบถึงช่วงของอัตราการทำแห้งคงที่ (Constant drying rate period) และช่วงของอัตราการทำแห้งลดลง (Falling drying rate period) จากนั้นศึกษาผลการเปลี่ยนแปลงความชื้นในระหว่างการอบแห้งด้วยการใช้อุณหภูมิแบบสองขั้น (Multi-stage drying temperature) ที่อุณหภูมิ 50 และ 80 องศาเซลเซียส และที่อุณหภูมิ 50 และ 90 องศาเซลเซียส โดยกำหนดสภาวะการอบแห้งที่อุณหภูมิ 70 องศาเซลเซียส จากนั้นนำญ้าหวานอบแห้งไปตรวจวัดการเปลี่ยนแปลงของคุณภาพสี CIE ($L^* - a^* - b^*$) และระบบสี Munsell color system และเปรียบเทียบพลังงานเฉพาะในการอบแห้ง

3.5 เปรียบเทียบคุณภาพสีและพลังงานในการอบแห้งของญ้าหวานอบแห้ง ทั้งในกลุ่มตัวอย่างญ้าหวานอบแห้งด้วยวิธีและสภาวะการอบแห้งแบบต่างๆ

นำตัวอย่างญ้าหวานอบแห้ง ทั้งในกลุ่มตัวอย่างญ้าหวานอบแห้งด้วยพลังงานแสงอาทิตย์ ตัวอย่างญ้าหวานที่อบด้วยการใช้อุณหภูมิแบบขั้นเดียว (Single-stage drying temperature) ที่ อุณหภูมิ 50, 60 และ 70 องศาเซลเซียส และตัวอย่างญ้าหวานอบแห้งด้วยการใช้อุณหภูมิแบบสองขั้น (Multi-stage drying temperature) ที่อุณหภูมิ 50 และ 80 องศาเซลเซียส และ ที่อุณหภูมิ 50 และ 90 องศาเซลเซียส ที่มีค่าความชื้นสุดท้าย 7.0 เปอร์เซ็นต์ (น้ำหนักเบี่ยง) หรือประมาณ 0.075 กรัม/粒 ต่อ กรัม นำวัดอัตราการใช้พลังงานเฉพาะในระหว่างการอบแห้ง (SEC: Specific energy consumption) ด้วยเครื่องวัดพลังงานรุ่น KM-07-A-2 (ZPrimus Company Limited, Thailand) และวัดค่าสีของญ้าหวานด้วยเครื่องวัดสีด้วยเครื่อง Spectrophotometer (ยี่ห้อ HunterLab รุ่น MiniScan XE PLUS) ครั้งละ 10 กรัม โดยวัดค่าสีในระบบ CIE-Lab scale ในรูปแบบของค่าความสว่าง/ความมีดี (L^*) ค่าความเป็นสีแดง/สีเขียว (a^*) ค่าความเป็นสีเหลือง/สีน้ำเงิน (b^*) และค่าความแตกต่างสีโดยรวม (TCD) ของญ้าหวานอบแห้งที่สภาวะต่างๆ โดยมีสมการความสัมพันธ์ตามที่แสดงในสมการที่ (3.2)

$$TCD = \sqrt{(L_t^* - L_0^*)^2 + (a_t^* - a_0^*)^2 + (b_t^* - b_0^*)^2} \quad \dots\dots\dots(3.2)$$

เมื่อ L_t^* , a_t^* และ b_t^* คือ ค่าพารามิเตอร์สีของหญ้าหวานอบแห้งในระหว่างการอบแห้งที่เวลา t และ L_0^* , a_0^* และ b_0^* คือ ค่าพารามิเตอร์สีของหญ้าหวานสด



รูปที่ 3.2 เครื่อง Spectrophotometer (ยี่ห้อ HunterLab รุ่น MiniScan XE PLUS)

อย่างไรก็ตามในระบบ CIE Lab นั้นไม่มีค่าในส่วนที่แสดงค่าของ Tristimulus value หรือ Chromaticity coordinate ตามที่ CIE ได้ตั้งไว้ในปี 1931 ดังนั้นทาง CIE จึงได้แปลงระบบ CIE Lab ให้เป็นระบบ Cylindrical coordinate อันจะทำให้การอธิบายสีเหมือนกับระบบดังเดิมโดย L^* จะแสดงค่า Lightness, C^* แสดงค่า Chroma, และ h แสดงค่า Hue angle โดยค่า L^* นั้นเหมือนกับ L^* ในระบบ $L^*a^*b^*$ color space สำหรับค่า C^* เริ่มจาก 0 ซึ่งเป็นค่าที่ศูนย์กลางและเพิ่มมากขึ้นตามระยะที่ห่างจากศูนย์กลางมากขึ้น สำหรับ h เป็นค่ามุมที่ทำกับแกน $+a^*$ โดยค่า 0 เท่ากับ $+a^*$ (red), ค่า 90 เท่ากับ $+b^*$ (Yellow), ค่า 180 เท่ากับ $-a^*$ (Green) และค่า 270 เท่ากับ $-b^*$ (Blue) ซึ่งค่า Chroma และ Hue angle สามารถคำนวณได้จากสมการ

สมการแสดงค่าที่แสดงความบริสุทธิ์ของสี คือ

$$Chroma = (a^2 + b^2)^{1/2} \quad \dots\dots\dots(3.3)$$

Chroma เป็นค่าที่บอกถึงความเข้มหรือความจางของสี (Saturation) ในสัดส่วนของสี (Hue) ที่มีอยู่ในสีเทา วัดค่าเปอร์เซ็นต์จาก 0 (สีเทา) จนถึง 100 เปอร์เซ็นต์ ถ้าเราเติมสีเทาลงไปในสีใดๆ สีนั้นจะอิมตัวน้อยลงจนในที่สุดกลายเป็นสีเทา

สมการแสดงค่ามุนของสีหลัก คือ

$$\text{Hue angle} = \tan^{-1}(b/a) \quad \dots \dots \dots (3.4)$$

Hue เป็นสีที่สะท้อนมาจากการลีขของวัตถุ ซึ่งแตกต่างกันตามความยาวคลื่นแสงที่มากระทบวัตถุและสะท้อนกลับมาที่ตาเรา Hue ในมุนเซล จึงเป็นชื่อเรียกนิດของสี เช่น สีแดง, เขียว เป็นต้น



รูปที่ 3.3 การเตรียมตัวอย่างหญ้าหวานด้วยเครื่องอบมร้อน



รูปที่ 3.4 การเตรียมตัวอย่างหญ้าหวานด้วยเครื่องอบลมร้อน โดยใช้อุณหภูมิแบบสองขั้น
(Multi-stage drying temperature)

3.6 แผนการดำเนินงานตลอดโครงการ

ตารางที่ 3.1 แผนการดำเนินงานตลอดโครงการ

บทที่ 4

ผลการศึกษาและวิจารณ์ผล

โครงการนี้มีจุดมุ่งหมายเพื่อศึกษาระบวนการอบแห้งหญ้าหวานซึ่งเป็นพืชสมุนไพรที่นิยมบริโภคในประเทศไทย ที่สามารถนำไปต่อยอดในการอบแห้งเพื่อนำไปสักดินอุตสาหกรรมอาหารเสริมและยาได้ ดังนั้นการศึกษาคุณลักษณะการอบแห้ง เพื่อหาวิธีการอบแห้งที่เหมาะสม เพื่อรักษาลีขของหญ้าหวานอบแห้ง ตลอดจนสภาวะการอบแห้งที่มีประสิทธิภาพ จึงเป็นที่มาของโครงการวิจัยนี้ โดยแบ่งการศึกษาออกเป็น 5 ส่วน ได้แก่ การศึกษาคุณลักษณะการอบแห้งเป็นองตันของใบหญ้าหวาน เช่น ค่าความชื้นเริ่มต้น ค่าความชื้นสมดุลที่สภาวะการอบแห้งแบบต่างๆ ตามวิธีมาตรฐาน AOAC (2010) จากนั้นนำค่าพารามิเตอร์ของคุณลักษณะการอบแห้งใบหญ้าหวานหาอัตราการเปลี่ยนแปลงความชื้น หรืออัตราการถ่ายเทมวลสารออกจากกระบวนการในระหว่างการอบแห้ง เพื่อศึกษาผลการเปลี่ยนแปลงความชื้นในระหว่างการอบแห้งด้วยการใช้อุณหภูมิแบบขั้นเดียว (Single-stage drying temperature) ที่ อุณหภูมิ 50, 60 ,70, 80 และ 90 องศาเซลเซียส และการศึกษาผลการเปลี่ยนแปลงความชื้นในระหว่างการอบแห้งด้วยการใช้อุณหภูมิแบบสองขั้น (Multi-stage drying temperature) ที่ อุณหภูมิ 50 และ 80 องศาเซลเซียส และที่ อุณหภูมิ 50 และ 90 องศาเซลเซียส จากนั้นนำหญ้าหวานอบแห้งที่ สภาวะต่างๆ วัดการเปลี่ยนแปลงคุณภาพลีขของหญ้าหวาน และการศึกษาพลังงานในการอบแห้งที่ สภาวะต่างๆ เพื่อนำมาวิเคราะห์ต้นทุนการอบแห้ง โดยมีรายละเอียดดังนี้

4.1 การเตรียมตัวอย่างและการวิเคราะห์ค่าความชื้นเริ่มต้น และค่าความชื้นสมดุลของหญ้าหวาน

การวิเคราะห์คุณลักษณะการอบแห้งทางกายภาพเป็นองตันของใบหญ้าหวาน จะทำการศึกษาหา ค่าความชื้นเริ่มต้นด้วยวิธีมาตรฐาน (AOAC, 2010) โดยการนำใบหญ้าหวานสด จากศูนย์พัฒนา โครงการหลวงสะปิง จังหวัดเชียงราย มาเต็ตใบเพื่อแยกใบและคัดขนาด นำไปล้างด้วยน้ำสะอาด จำนวน 3 ครั้ง และแช่สารละลายนโซเดียมคลอไรด์ (NaCl) ที่ความเข้มข้น 2000 พีพีเอ็ม (ppm) เป็นเวลา 30 นาที เพื่อฆ่าพยาธิที่ปนเปื้อนมากับใบหญ้าหวาน จากนั้นนำเข้าเครื่องหมุนเวรี่ยงໄล์จ้าอก จนแห้ง ผึ่งลมให้แห้ง บรรจุในถุงซิปล็อกแล้วนำไปแช่ตู้เย็นที่ อุณหภูมิ 15 องศาเซลเซียส เป็นเวลา 24 ชั่วโมงเพื่อให้ใบหญ้าหวานสดเกิดการปรับสภาพความชื้นให้เข้าสู่สภาวะสมดุล เป็นวิธีการเตรียมตัวอย่างของผลิตภัณฑ์การเกษตรและวัสดุชีวภาพก่อนนำไปศึกษาหาค่าความชื้นเริ่มต้น ค่าความชื้นสมดุลที่สภาวะการอบแห้งแบบต่างๆ ขั้นตอนการเตรียมตัวอย่างหญ้าหวาน สำหรับการทดลอง แสดงตามรูปที่ 4.1



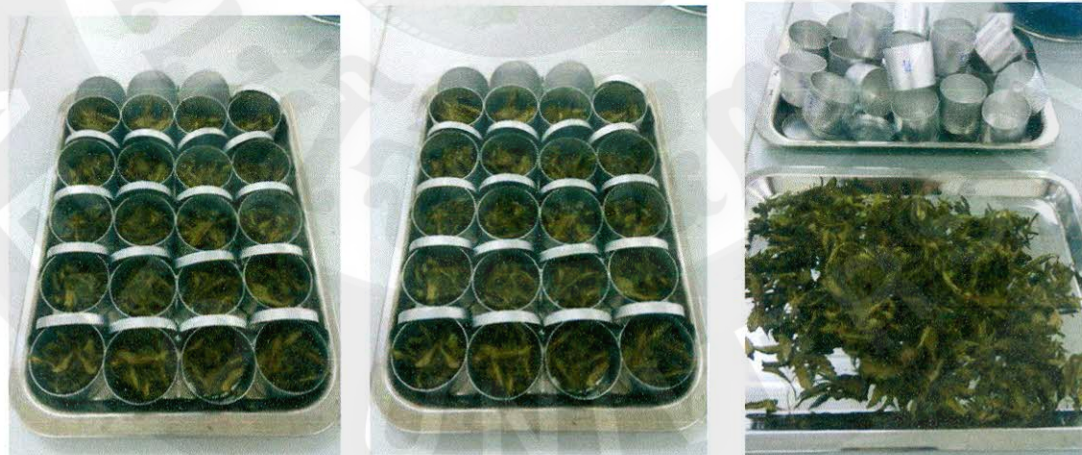
รูปที่ 4.1 ขั้นตอนการเตรียมตัวอย่างหญ้าหวาน สำหรับการทดลอง

นำใบหญ้าหวาน ไปหาค่าความชื้นเริ่มต้นด้วยวิธีการอบแห้งด้วยลมร้อนที่อุณหภูมิ 105 องศาเซลเซียส เป็นเวลา 24 ชั่วโมง โดยวิธีการดังกล่าวเป็นวิธีปรับสภาพสมดุลความชื้นของวัสดุทางการเกษตร ซึ่งสอดคล้องกับงานวิจัยของ Dadali *et al.* (2007), Demirhan and Özbek (2009) และ Therdthai and Zhou (2009) และการหาความชื้นสมดุลจะใช้วิธีเชิงพลวัต (Dynamic methods) ซึ่งเป็นวิธีการปล่อยให้ใบหญ้าหวานสด ผัมผัสกับอากาศแวดล้อม (50, 60, 70, 80 และ 90 องศาเซลเซียส ที่ระดับความเร็วลมคงที่ ที่ 0.32 เมตรต่อวินาที) วิธีนี้จะเป็นการปรับสภาพของใบหญ้าหวาน ให้เกิดการถ่ายเทความชื้นจนเข้าสู่สมดุลกับสิ่งแวดล้อมจึงเหมาะสมกับวัสดุที่มีความชื้นสูงอย่างใบหญ้าหวาน การหาค่าความชื้นเริ่มต้น จากดำเนินการตามวิธีมาตรฐานของ AOAC (2010) และมีขั้นตอนการดำเนินการทดลองตาม รูปที่ 4.2 และ 4.3 โดยใช้ตัวอย่างใบหญ้าหวาน จำนวน 2 กรัม และใช้ถ้วยอะลูมิเนียมขนาด 3 ออนซ์ ทำการทดลองหาค่าความชื้นเริ่มต้นจำนวน 60 ตัวอย่าง



รูปที่ 4.2 ขั้นตอนการเตรียมอยุปกรณ์ ตัวอย่าง เพื่อหาค่าความชื้นเริ่มต้น

ตามวิธีมาตรฐาน AOAC (2010)



รูปที่ 4.3 หยืดหัววนอบแห้ง เพื่อหาความชื้นเริ่มต้น และความชื้นสมดุล ตามมาตรฐาน AOAC (2010)

จากผลการทดลองพบว่าความชื้นเริ่มต้นของใบหญ้าหวานเฉลี่ยมีค่าเท่ากับ 73.96 ± 2.41 เปอร์เซ็นต์ความชื้น (น้ำหนักเปียก) หรือ 523.44 เปอร์เซ็นต์ความชื้น (น้ำหนักแห้ง) และความชื้นสมดุลของใบหญ้าหวานอบแห้งด้วยลมร้อน (Hot air drying) ด้วยเครื่องอบแห้งแบบถูกต้องอุณหภูมิ 50, 60, 70, 80 และ 90 องศาเซลเซียส ระดับความเร็วลมคงที่ 0.32 เมตรต่อวินาที มีค่าความชื้นสมดุลเท่ากับ 6.34 ± 0.17 , 5.54 ± 0.09 , 5.39 ± 0.02 และ 5.18 ± 0.04 เปอร์เซ็นต์ความชื้น (น้ำหนักเปียก) หรือ 6.76 ± 0.21 , 5.86 ± 0.08 , 5.69 ± 0.12 และ 5.46 ± 0.09 เปอร์เซ็นต์ความชื้น (น้ำหนักแห้ง) ตามลำดับ

4.2 การเปลี่ยนแปลงความชื้นในระหว่างการอบแห้งด้วยการใช้อุณหภูมิแบบขั้นเดียว และการอบแห้งด้วยแสงอาทิตย์

การคำนวณหาค่าความชื้นสุดท้ายของใบหญ้าหวานอบแห้ง การเปอร์เซ็นต์ความชื้นสุดท้ายสามารถคำนวณได้จากการทำสมดุลมวลสารโดยมีรายละเอียดดังนี้ มวลตัวอย่าง 50 กรัม, ความชื้นเริ่มต้น 73.96 ± 2.41 เปอร์เซ็นต์ความชื้น (น้ำหนักเปียก) หรือ 523.44 เปอร์เซ็นต์ความชื้น (น้ำหนักแห้ง) จะเหลือความชื้นสุดท้าย 7.00 เปอร์เซ็นต์ความชื้น (น้ำหนักเปียก) หรือ 7.52 เปอร์เซ็นต์ความชื้น (น้ำหนักแห้ง) โดย M_f แทนมวลสุดท้าย

$$50 \times 73.96\% = (50 - M_f) + 7.00\% M_f$$

$$M_f = 4.75 \text{ กรัม}$$

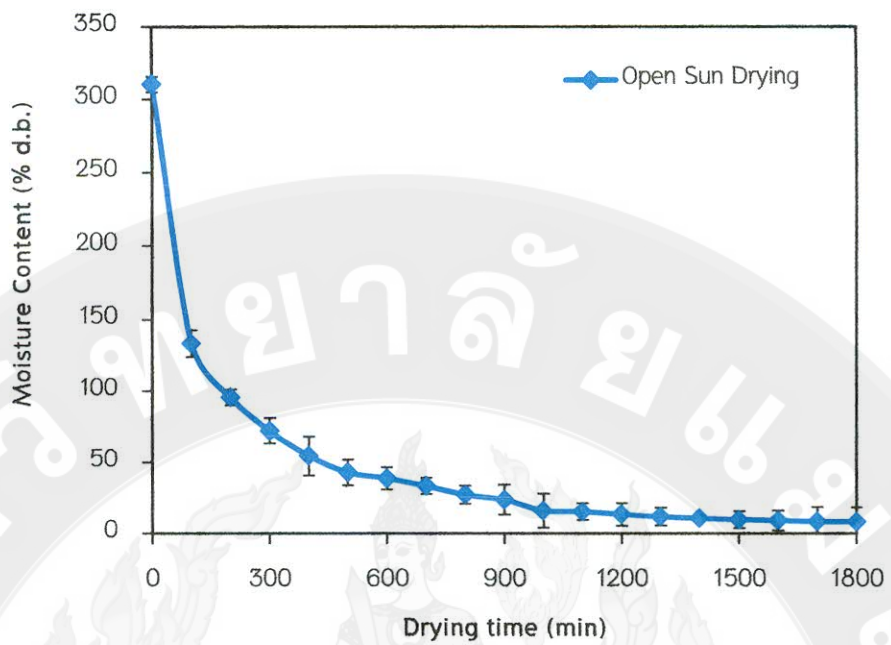
ความชื้นสุดท้ายของใบหญ้าหวานอบแห้งที่ความชื้น 7.00 เปอร์เซ็นต์ความชื้น (น้ำหนักเปียก) หรือ 7.52 เปอร์เซ็นต์ความชื้น (น้ำหนักแห้ง) มีน้ำหนักประมาณ 4.75 กรัม ในการศึกษาการเปลี่ยนแปลงอัตราส่วนความชื้นในระหว่างการอบแห้งแบบต่าง ๆ ของใบหญ้าหวานสามารถอธิบายจากค่าอัตราส่วนความชื้นและอัตราการอบแห้งเทียบกับเวลา โดยอบแห้งใบหญ้าหวานจากความชื้นเริ่มต้น 73.96 ± 2.41 เปอร์เซ็นต์ความชื้น (น้ำหนักเปียก) จะเหลือความชื้น 7.00 เปอร์เซ็นต์ (น้ำหนักเปียก) หรือจากน้ำหนักเริ่มต้น 50 กรัม อบแห้งจนเหลือ น้ำหนักสุดท้าย 4.75 กรัม ใช้วิธีการอบแห้งด้วยการตากแสงอาทิตย์ในระบบเปิด (รูปที่ 4.4) และการอบแห้งด้วยเครื่องอบแห้งด้วยลมร้อนแบบถูกต้อง (รูปที่ 4.5) ที่อุณหภูมิ 50, 60, 70, 80 และ 90 องศาเซลเซียส ที่ระดับความเร็วลมคงที่ ที่ 0.32 เมตรต่อวินาที วัดค่าน้ำหนักหญ้าหวานที่เปลี่ยนแปลงไปทุกๆ 30 นาที และนำไปคำนวณเป็นค่าความชื้นที่เวลาใดๆ ในระหว่างการอบแห้ง นำค่าความสัมพันธ์ของความชื้นของหญ้าหวานที่เวลาใดๆ มาสร้างกราฟแสดงความสัมพันธ์ของการเปลี่ยนแปลงความชื้นในระหว่างการอบแห้ง ซึ่งจะแสดงตามรูปที่ 4.6 และ 4.7 ตามลำดับ



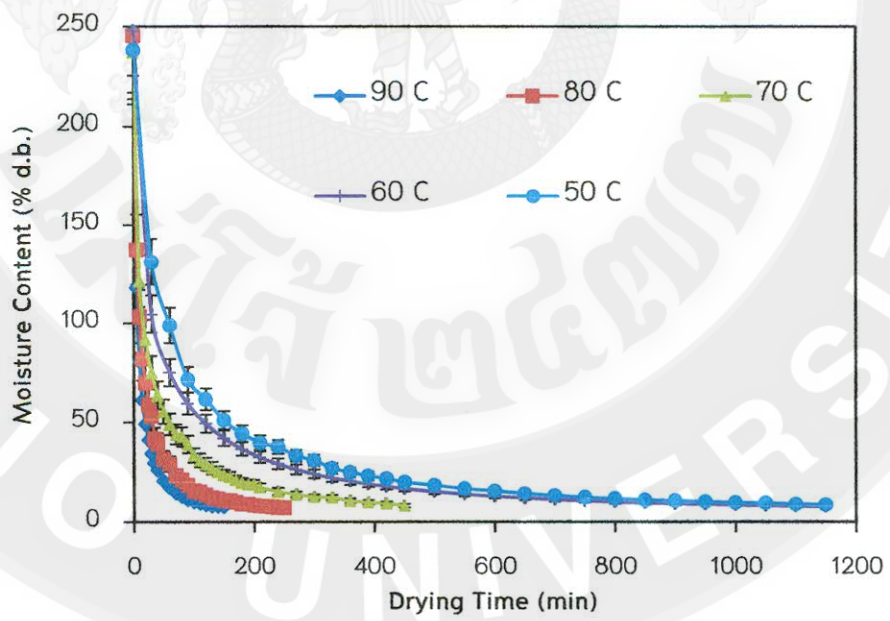
รูปที่ 4.4 การอบแห้งด้วยแสงอาทิตย์



รูปที่ 4.5 เครื่องอบแห้งด้วยลมร้อนแบบถูกัด



รูปที่ 4.6 การเปลี่ยนแปลงความชื้นในระหว่างการอบแห้งด้วยพลังงานแสงอาทิตย์
(ทดลองระหว่างวันที่ 5 พ.ค. พ.ศ. 2557 ถึง 10 มิถุนายน พ.ศ. 2557)



รูปที่ 4.7 การเปลี่ยนแปลงความชื้นในระหว่างการอบแห้งญ้าหวานด้วยเครื่องอบแห้งลมร้อน ด้วย
การใช้คุณภาพแบบขั้นเดียว ที่ 50, 60, 70, 80 และ 90 องศาเซลเซียส

การอบแห้งใช้วิธีการอบแห้งด้วยการตากแสงอาทิตย์ในระบบเปิด ในการอบแห้งใบชาญหาวน จาก ความชื้นเริ่มต้น 73.96 ± 2.41 เปอร์เซ็นต์ความชื้น (น้ำหนักเปียก) หรือ 523.44 เปอร์เซ็นต์ ความชื้น (น้ำหนักแห้ง) จนเหลือความชื้นสุดท้าย 7.00 เปอร์เซ็นต์ความชื้น (น้ำหนักเปียก) หรือ 7.52 เปอร์เซ็นต์ความชื้น (น้ำหนักแห้ง) ใช้เวลาประมาณ 1,800 นาที โดยตากแสงอาทิตย์ในระบบเปิด ตั้งแต่เวลา 9.00 ถึง 18.00 น. จากนั้นนำตัวอย่างใบชาญหาวนเก็บไว้ในถุงความชื้นในช่วง 18.00–8.00 น. ก่อนจะนำมาอบแห้งด้วยการตากแสงอาทิตย์ในระบบเปิดอีกครั้งในวันถัดไป บันทึกค่า น้ำหนักที่เปลี่ยนแปลงไปทุกๆ 100 นาที จากการศึกษาพบว่าอัตราการอบแห้งของใบชาญหาวน มีค่า $(1.68 \pm 0.0047) \times 10^{-4}$ กรัม/นาที ต่อ กรัม. mn.แห้ง นาที ในขณะการศึกษาการอบแห้งด้วยเครื่องอบแห้ง ด้วยลมร้อนแบบถูกต้อง ที่อุณหภูมิ 50, 60, 70, 80 และ 90 องศาเซลเซียส ที่ระดับความเร็วลมคงที่ ที่ 0.32 เมตรต่อวินาที วัดค่าน้ำหนักหยาดหัววนที่เปลี่ยนแปลงไปทุกๆ 30 นาที พบร่วมของอุณหภูมิในการอบแห้งจะมีผลอย่างมีนัยสำคัญ ที่ระดับความเชื่อมั่น ร้อยละ 95 ต่ออัตราการอบแห้งของใบ หยาดหัววน โดยมีอัตราการอบแห้งเท่ากับ 18.91×10^{-4} , 20.85×10^{-4} , 47.74×10^{-4} , 103.19×10^{-4} และ 179.65×10^{-4} กรัม/นาที ต่อ กรัม. mn.แห้ง นาที ที่อุณหภูมิ 50, 60, 70, 80 และ 90 องศาเซลเซียส ตามลำดับ ในขณะที่ผลกระทบของอุณหภูมิ ซึ่งพบว่าเมื่ออุณหภูมิในการอบแห้งเพิ่มสูงขึ้น 10 องศาเซลเซียส จะส่งผลให้อัตราการอบแห้งเพิ่มสูงขึ้น 10.25, 128.96, 116.14 และ 74.09 เปอร์เซ็นต์ ของการเพิ่มขึ้นอุณหภูมิ 50 เป็น 60 องศาเซลเซียส, 60 เป็น 70 องศาเซลเซียส, 70 เป็น 80 องศาเซลเซียส และ 80 เป็น 90 องศาเซลเซียส ตามลำดับ จากผลการศึกษาพบว่า การเพิ่มของ อุณหภูมิในการอบแห้งที่ช่วงอุณหภูมิ 60 เป็น 70 องศาเซลเซียส มีประสิทธิภาพในการอบแห้งมาก ที่สุด ในการอบแห้งใบชาญหาวนด้วยเครื่องอบแห้งลมร้อนแบบถูกต้อง

4.3 การเปลี่ยนแปลงความชื้นในระหว่างการอบแห้งด้วยการใช้อุณหภูมิแบบสองชั้น

ผลการศึกษาการเปลี่ยนแปลงความชื้นในระหว่างการอบแห้งด้วยการใช้อุณหภูมิแบบชั้นเดียว ที่ อุณหภูมิ 50, 60, 70, 80 และ 90 องศาเซลเซียส ตามลำดับ และการอบแห้งด้วยแสงอาทิตย์ พบร่วมมี อัตราการอบแห้งในช่วง 18.91×10^{-4} ถึง 179.65×10^{-4} กรัม/นาที ต่อ กรัม. mn.แห้ง นาที ของการอบแห้งด้วย ลมร้อนด้วยการใช้อุณหภูมิแบบชั้นเดียว และใช้เวลาในการอบแห้งในช่วง 150–1,200 นาที ดังนั้นในการ ศึกษาการเปลี่ยนแปลงความชื้นในระหว่างการอบแห้งด้วยการใช้อุณหภูมิแบบสองชั้น ในการ อบแห้งใบชาญหาวนจาก ความชื้นเริ่มต้น 73.96 ± 2.41 เปอร์เซ็นต์ความชื้น (น้ำหนักเปียก) หรือ 523.44 เปอร์เซ็นต์ความชื้น (น้ำหนักแห้ง) จนเหลือความชื้นสุดท้าย 7.00 เปอร์เซ็นต์ความชื้น (น้ำหนัก เปียก) หรือ 7.52 เปอร์เซ็นต์ความชื้น (น้ำหนักแห้ง) โดยแบ่งการศึกษาออกเป็น 4 สภาวะการทดลอง ได้แก่การศึกษาการเปลี่ยนแปลงความชื้นในระหว่างการอบแห้งด้วยการใช้อุณหภูมิแบบสองชั้น โดย ได้แก่

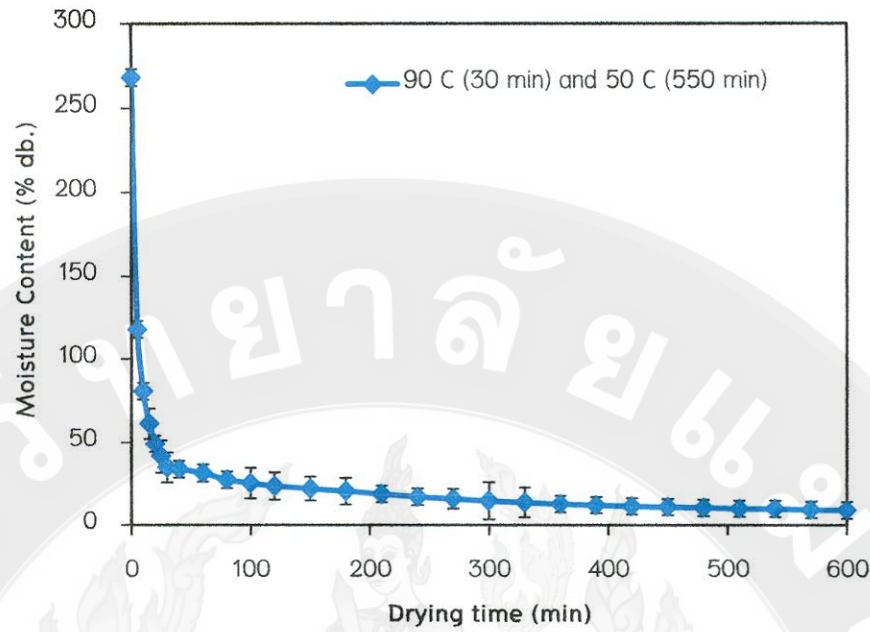
สภาวะการอบแห้งที่ 1: การอบแห้งด้วยการใช้อุณหภูมิแบบสองขั้นที่ช่วงอุณหภูมิ 90 องศาเซลเซียส เป็นเวลา 30 นาที และอุณหภูมิ 50 องศาเซลเซียส เป็นเวลา 550 นาที

สภาวะการอบแห้งที่ 2: การอบแห้งด้วยการใช้อุณหภูมิแบบสองขั้นที่ช่วงอุณหภูมิ 90 องศาเซลเซียส เป็นเวลา 50 นาที และอุณหภูมิ 50 องศาเซลเซียส เป็นเวลา 310 นาที

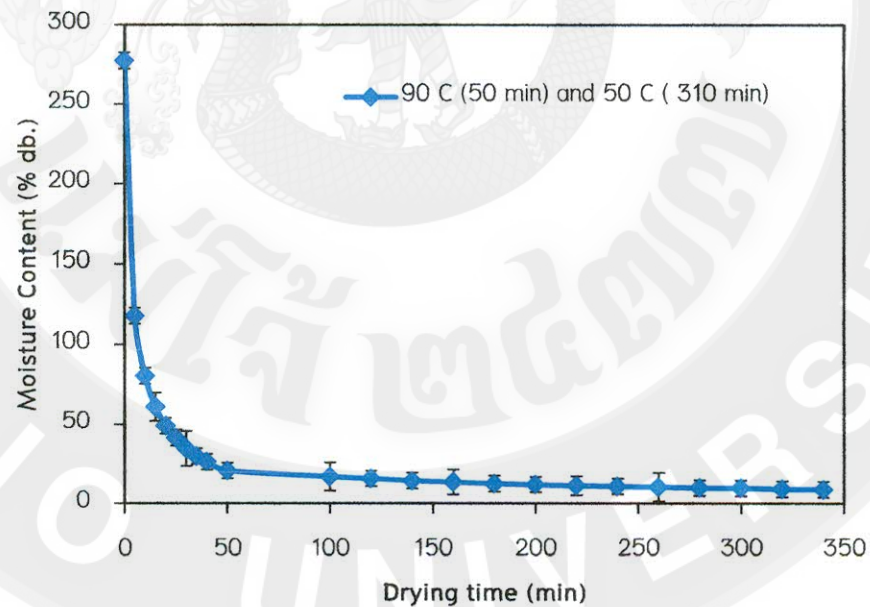
สภาวะการอบแห้งที่ 3: การอบแห้งด้วยการใช้อุณหภูมิแบบสองขั้นที่ช่วงอุณหภูมิ 80 องศาเซลเซียส เป็นเวลา 30 นาที และอุณหภูมิ 50 องศาเซลเซียส เป็นเวลา 730 นาที

สภาวะการอบแห้งที่ 4: การอบแห้งด้วยการใช้อุณหภูมิแบบสองขั้นที่ช่วงอุณหภูมิ 80 องศาเซลเซียส เป็นเวลา 50 นาที และอุณหภูมิ 50 องศาเซลเซียส เป็นเวลา 670 นาที

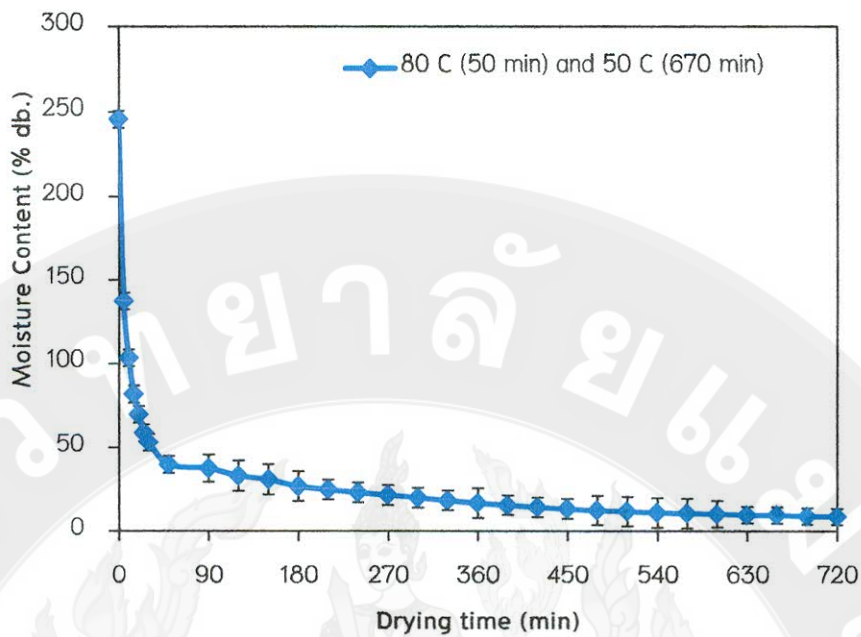
จากการศึกษาการอบแห้งด้วยการใช้อุณหภูมิแบบสองขั้น ที่สภาวะการอบแห้งที่ 1 ได้แก่ การอบแห้งด้วยการใช้อุณหภูมิแบบสองขั้นที่ช่วงอุณหภูมิ 90 องศาเซลเซียส เป็นเวลา 30 นาที และ อุณหภูมิ 50 องศาเซลเซียส เป็นเวลา 550 นาที พบร่วมกันว่ามีอัตราการอบแห้งในช่วงอุณหภูมิ 90 องศาเซลเซียส ใบชาหญ้าหวานจะมีการเปลี่ยนแปลงความชื้นอย่างรวดเร็ว ความชื้นเริ่มต้น 73.96 ± 2.41 เปอร์เซ็นต์ความชื้น (น้ำหนักเปียก) หรือ 523.44 เปอร์เซ็นต์ความชื้น (น้ำหนักแห้ง) จน เหลือค่าความชื้นสุดท้ายที่ 34.71 ± 1.62 เปอร์เซ็นต์ความชื้น (น้ำหนักแห้ง) และนำมาอบแห้งที่อุณหภูมิ ที่ 50 องศาเซลเซียส เป็นเวลา 550 นาที จนเหลือค่าความชื้นสุดท้าย 7.00 เปอร์เซ็นต์ความชื้น (น้ำหนักเปียก) หรือ 7.52 เปอร์เซ็นต์ความชื้น (น้ำหนักแห้ง) ใช้เวลาในการอบแห้งทั้งหมดประมาณ 600 นาที และอัตราการอบแห้งเฉลี่ย เท่ากับ 43.135×10^{-4} กรัม/นาที ต่อ กรัม.แห้ง นาที ในขณะที่การ อบแห้งด้วยการใช้อุณหภูมิแบบสองขั้น ที่สภาวะการอบแห้งที่ 2 ได้แก่ การอบแห้งด้วยการใช้อุณหภูมิ แบบสองขั้นที่ช่วงอุณหภูมิ 90 องศาเซลเซียส เป็นเวลา 50 นาที และอุณหภูมิ 50 องศาเซลเซียส เป็น เวลา 310 นาที พบร่วมกันว่ามีอัตราการอบแห้งในช่วงอุณหภูมิ 90 องศาเซลเซียส ใบชาหญ้าหวานจะมี การเปลี่ยนแปลงความชื้นอย่างรวดเร็ว จนเหลือค่าความชื้นสุดท้ายที่ 20.92 ± 0.85 เปอร์เซ็นต์ ความชื้น (น้ำหนักแห้ง) และนำมาอบแห้งที่อุณหภูมิ ที่ 50 องศาเซลเซียส เป็นเวลา 310 นาที จนเหลือ ค่าความชื้นสุดท้าย 7.00 เปอร์เซ็นต์ความชื้น (น้ำหนักเปียก) หรือ 7.52 เปอร์เซ็นต์ความชื้น (น้ำหนัก แห้ง) ใช้เวลาในการอบแห้งทั้งหมด ประมาณ 360 นาที และอัตราการอบแห้งเฉลี่ย เท่ากับ 76.11×10^{-4} กรัม/นาที ต่อ กรัม.แห้ง นาที



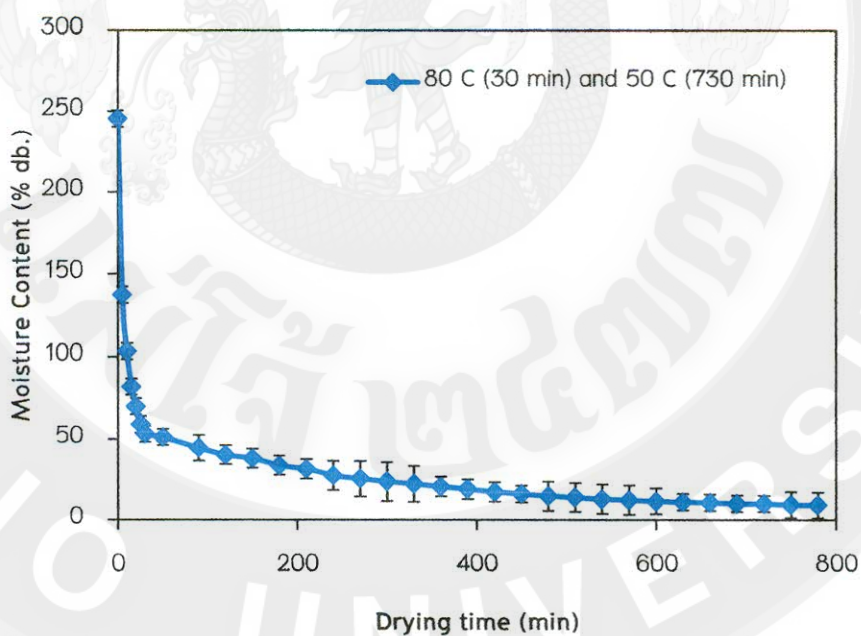
รูปที่ 4.8 การเปลี่ยนแปลงความชื้นแห้งหวานในระหว่างการอบแห้งด้วยการใช้อุณหภูมิแบบสองชั้น ที่อุณหภูมิที่ 90 องศาเซลเซียส (30 นาที) และที่ 50 องศาเซลเซียส (550 นาที)



รูปที่ 4.9 การเปลี่ยนแปลงความชื้นแห้งหวานในระหว่างการอบแห้งด้วยการใช้อุณหภูมิแบบสองชั้น ที่อุณหภูมิที่ 90 องศาเซลเซียส (50 นาที) และที่ 50 องศาเซลเซียส (310 นาที)



รูปที่ 4.10 การเปลี่ยนแปลงความชื้นแห้งหวานในระหว่างการอบแห้งด้วยการใช้อุณหภูมิแบบสองขั้นที่อุณหภูมิ 50 องศาเซลเซียส (310 นาที) และ 80 องศาเซลเซียส (30 นาที)



รูปที่ 4.11 การเปลี่ยนแปลงความชื้นแห้งหวานในระหว่างการอบแห้งด้วยการใช้อุณหภูมิแบบสองขั้นที่อุณหภูมิ 50 องศาเซลเซียส (670 นาที) และ 80 องศาเซลเซียส (50 นาที)

จากผลการศึกษาการอบแห้งด้วยการใช้อุณหภูมิแบบสองขั้น ที่สภาวะการอบแห้งที่ 3 ได้แก่ การอบแห้งด้วยการใช้อุณหภูมิแบบสองขั้นที่ช่วงอุณหภูมิ 80 องศาเซลเซียส เป็นเวลา 30 นาที และ อุณหภูมิ 50 องศาเซลเซียส เป็นเวลา 730 นาที พ布ว่าจะมีอัตราการอบแห้งในช่วงอุณหภูมิ 80 องศาเซลเซียส ใบชาหน้ำหวานจะมีการเปลี่ยนแปลงความชื้นจากความชื้นเริ่มต้น 73.96 ± 2.41 เปอร์เซ็นต์ความชื้น (น้ำหนักเปียก) หรือ 523.44 เปอร์เซ็นต์ความชื้น (น้ำหนักแห้ง) จนเหลือค่าความชื้นสุดท้ายที่ 53.28 ± 2.34 เปอร์เซ็นต์ความชื้น (น้ำหนักแห้ง) และนำมาอบแห้งที่อุณหภูมิ ที่ 50 องศาเซลเซียส เป็นเวลา 730 นาที จนเหลือค่าความชื้นสุดท้าย 7.00 เปอร์เซ็นต์ความชื้น (น้ำหนักเปียก) หรือ 7.52 เปอร์เซ็นต์ความชื้น (น้ำหนักแห้ง) ใช้เวลาในการอบแห้งทั้งหมดประมาณ 750 นาที และอัตราการอบแห้งเฉลี่ย เท่ากับ 31.62×10^{-4} กรัม/นาที ต่อ กรัม น้ำแห้ง นาที ในขณะที่ การอบแห้งด้วยการใช้อุณหภูมิแบบสองขั้น ที่สภาวะการอบแห้งที่ 4 ได้แก่ การอบแห้งด้วยการใช้อุณหภูมิแบบสองขั้น ที่ช่วงอุณหภูมิ 80 องศาเซลเซียส เป็นเวลา 50 นาที และอุณหภูมิ 50 องศาเซลเซียส เป็นเวลา 670 นาที พ布ว่าจะมีอัตราการอบแห้งในช่วงอุณหภูมิ 80 องศาเซลเซียส ใบชาหน้ำหวานจะมีการเปลี่ยนแปลงความชื้นอย่างรวดเร็ว จนเหลือค่าความชื้นสุดท้ายที่ 40.09 ± 1.58 เปอร์เซ็นต์ความชื้น (น้ำหนักแห้ง) และนำมาอบแห้งที่อุณหภูมิ ที่ 50 องศาเซลเซียส เป็นเวลา 670 นาที จนเหลือค่าความชื้นสุดท้าย 7.00 เปอร์เซ็นต์ความชื้น (น้ำหนักเปียก) หรือ 7.52 เปอร์เซ็นต์ความชื้น (น้ำหนักแห้ง) ใช้เวลาในการอบแห้งทั้งหมด ประมาณ 360 นาที และอัตราการอบแห้งเฉลี่ย เท่ากับ 32.919×10^{-4} กรัม/นาที ต่อ กรัม น้ำแห้ง นาที

ดังนั้นสภาวะการอบแห้งด้วยการอบแห้งด้วยการใช้อุณหภูมิแบบสองขั้นที่ช่วงอุณหภูมิ 90 องศาเซลเซียส เป็นเวลา 50 นาที และอุณหภูมิ 50 องศาเซลเซียส เป็นเวลา 310 นาที มีอัตราการอบแห้งเฉลี่ยที่มากที่สุด แต่อย่างไรก็ตามอัตราการอบแห้งไม่ใช่ปัจจัยหลักในการปรับปรุงการอบแห้ง ใบชาหน้ำหวาน ซึ่งต้องพิจารณาอัตราการสิ้นเปลืองพลังงานในการอบแห้ง และคุณภาพสีของใบชาหน้ำหวานอบแห้งต่อไป

4.4 การเปรียบเทียบคุณภาพสีหน้ำหวานอบแห้ง ด้วยวิธีการอบแห้งการใช้อุณหภูมิแบบสองขั้น เดียว และการใช้อุณหภูมิแบบสองขั้น

การอบแห้งเป็นหน่วยปฏิบัติการในการแปรรูปอาหาร (Unit operation in food processing) ที่นับได้ว่าเก่าแก่และมีความหลากหลายมาก (สักกมณ, 2555) และเป็นกระบวนการแปรรูปที่ช่วยให้ผลิตภัณฑ์มีอายุการเก็บรักษาที่ยาวนาน เนื่องจากมีค่าความชื้นต่ำในระดับที่สามารถยับยั้งการเจริญเติบโตของจุลทรรศ์ที่ทำให้เกิดการเน่าเสียในอาหาร นอกจากนี้ยังช่วยยับยั้งการทำงานของเอนไซม์ที่ส่งผลต่อการเปลี่ยนแปลงคุณภาพในอาหารได้เป็นอย่างดี (ฤทธิชัย และคณะ, 2554) วิธีการ

อบแห้งแบบดังเดิมนั้นมากใช้การอบแห้งด้วยลมร้อนเพื่อทำให้แห้งซึ่งเป็นวิธีควบคุมการทำงานได้ง่าย และไม่ซับช้อน สิ่งของผลิตภัณฑ์อาหารอบแห้งจะมีอิทธิพลต่อการตัดสินใจซื้อของผู้บริโภคอย่างมาก โดย 40 เปอร์เซ็นต์ ของผู้บริโภคจะใช้สิ่งของผลิตภัณฑ์อาหารอบแห้งในการตัดสินใจซื้อ โดยการวิจัย ในโครงการวิจัยนี้ ได้ศึกษาผลกระทบของสภาวะการอบแห้งที่มีต่อคุณภาพสีของใบหญ้าหวาน ด้วยการใช้อุณหภูมิแบบขั้นเดียว (Single-stage drying temperature) ที่อุณหภูมิ 50, 60, 70, 80 และ 90 องศาเซลเซียส และใช้อุณหภูมิแบบสองขั้น (Multi-stage drying temperature) ที่อุณหภูมิ 50 และ 80 องศาเซลเซียส และที่อุณหภูมิ 50 และ 90 องศาเซลเซียส การศึกษาคุณภาพสีของใบหญ้าหวานอบแห้งด้วยการวัดค่าสีด้วยวิธีระบบสี CIE-Hunter และระบบสี CIE ($L^* - a^* - b^*$) และ Munsell Color System โดยผลการทดสอบมีรายละเอียดดังต่อไปนี้ จากผลการศึกษาพบว่าการอบแห้งใบหญ้าหวาน จากค่าความชื้นเริ่มต้นเท่ากับ 73.96 ± 2.41 เปอร์เซ็นต์ความชื้น (น้ำหนักเปียก) หรือ 523.44 เปอร์เซ็นต์ความชื้น (น้ำหนักแห้ง) จะเหลือความชื้นสุดท้าย 7.00 เปอร์เซ็นต์ความชื้น (น้ำหนักแห้ง) การศึกษาค่าสีของใบหญ้าหวานอบแห้งโดยวัดค่า L^* , a^* และ b^* หลังผ่านการอบแห้งแบบวิธีดังๆ ได้แก่ การอบแห้งด้วยพลังงานแสงอาทิตย์ การอบแห้งด้วยการใช้อุณหภูมิแบบขั้นเดียว (Single-stage drying temperature) ที่อุณหภูมิ 50, 60, 70, 80 และ 90 องศาเซลเซียส (ที่ระดับความเร็วลมคงที่ ที่ 0.32 เมตรต่อวินาที) และการอบแห้งด้วยการใช้อุณหภูมิแบบสองขั้น (Multi-stage drying temperature) ที่อุณหภูมิ 50 และ 80°C และที่อุณหภูมิ 50 และ 90 องศาเซลเซียส วัดค่าสีด้วยเครื่อง Spectrophotometer (ยี่ห้อ Hunter Lab รุ่น MiniScan XE PLUS)

4.4.1 การเปลี่ยนแปลงสีของหญ้าหวานอบแห้งด้วยพลังงานแสงอาทิตย์

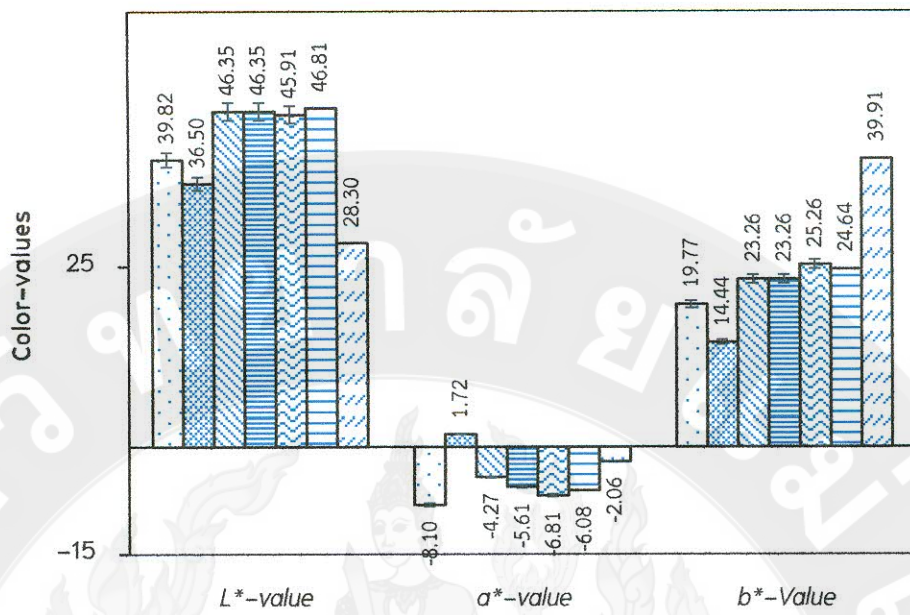
เพื่อเปรียบเทียบกับการอบแห้งแบบดั้งเดิม ได้แก่ การอบแห้งด้วยพลังงานแสงอาทิตย์ ด้วยวิธีการตากแดด (Open sun drying system) โดยทำการศึกษาการเปลี่ยนแปลงสีของหญ้าหวานที่อบแห้งด้วยพลังงานแสงอาทิตย์ ด้วยวิธีการตากแดด จากความชื้นเริ่มต้น 73.96 ± 2.41 เปอร์เซ็นต์ความชื้น (น้ำหนักเปียก) หรือ 523.44 เปอร์เซ็นต์ความชื้น (น้ำหนักแห้ง) จะเหลือความชื้นสุดท้าย 7.00 เปอร์เซ็นต์ความชื้น (น้ำหนักเปียก) หรือ 7.52 เปอร์เซ็นต์ความชื้น (น้ำหนักแห้ง) การศึกษาค่าสีของใบหญ้าหวานอบแห้งโดยวัดค่า L^* , a^* และ b^* ซึ่งมีอัตราการอบแห้ง ($1.68 \pm 0.0047 \times 10^{-4}$ กรัม/นาที) ในรูปแบบค่าสีในระบบ CIE- $L^* - a^* - b^*$ และระบบ Munsell System มีค่าสีปรากฏตามที่แสดงในรูปที่ 4.12 มีค่าพารามิเตอร์สีรูปแบบของค่าความสwarz/ความมืด (L^* -values) ค่าความเป็นสีแดง/สีเขียว (a^* - values) ค่าความเป็นสีเหลือง/สีน้ำเงิน (b^* - values) และค่าความแตกต่างสีโดยรวม (TCD) เท่ากับ 36.50 ± 3.41 , 1.72 ± 2.89 , 14.44 ± 0.87 และ 12.43 ± 2.67 ตามลำดับ



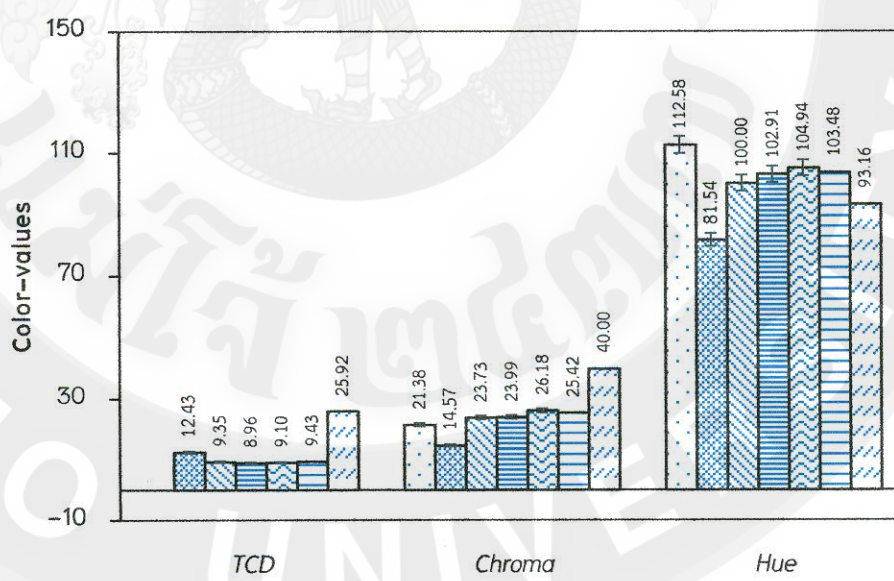
รูปที่ 4.12 หญ้าหวานที่อบแห้งด้วยแสงอาทิตย์

4.4.2 การเปลี่ยนแปลงสีของหญ้าหวานอบแห้งด้วยการอบแห้งด้วยการใช้อุณหภูมิแบบขั้นเดียว

การเปลี่ยนแปลงสีของหญ้าหวานอบแห้งด้วยการอบแห้งด้วยการใช้อุณหภูมิแบบขั้นเดียวที่อุณหภูมิ 50, 60, 70, 80 และ 90 องศาเซลเซียส พนวจ่าค่าความสว่าง (L^* -values) ของใบหญ้าหวานลดลงและใบหญ้าหวานอบแห้งด้วยลมร้อนที่อุณหภูมิ 50, 60, 70, 80 และ 90 องศาเซลเซียส มีค่า 39.82 ± 2.64 , 46.35 ± 2.56 , 46.35 ± 1.14 , 45.91 ± 2.38 , 46.81 ± 3.59 และ 28.30 ± 7.32 ตามลำดับ



รูปที่ 4.13 ค่าสีพารามิเตอร์สีใบชาที่ผ่านสีแลบและใบชาที่ผ่านอบแห้งโดยใช้คุณภูมิแบบขั้นเดียว (Single-stage drying temperature) ที่ 50, 60, 70, 80 และ 90 องศาเซลเซียส ในระบบ CIE ($L^*-a^*-b^*$)



รูปที่ 4.14 ค่าสีพารามิเตอร์สีใบชาที่ผ่านสีแลบและใบชาที่ผ่านอบแห้งโดยใช้คุณภูมิแบบขั้นเดียว (Single-stage drying temperature) ที่ 50, 60, 70, 80 และ 90 องศาเซลเซียส ในระบบ Munsell color system

ค่าความเป็นสีแดง/สีเขียว (a^* - values) ของใบหญ้าหวานสด มีค่าเท่ากับ -8.10 ± 3.85 และใบหญ้าหวานอบแห้งด้วยลมร้อนที่อุณหภูมิ 50, 60, 70, 80 และ 90 องศาเซลเซียส มีค่า -4.27 ± 2.12 , -5.61 ± 1.82 , -6.81 ± 0.94 , -6.08 ± 1.34 และ -2.06 ± 5.45 ตามลำดับ ซึ่งจะพบว่าค่า a^* - values ของหญ้าหวานอบแห้งจะมีค่าลดลง และที่อุณหภูมิ 60 องศาเซลเซียส ค่า a^* - values ของหญ้าหวาน อบแห้งจะมีค่าใกล้เคียงกับสีของหญ้าหวานสดมากที่สุด ค่าความเป็นสีเหลือง/สิน้ำเงิน (b^* - values) ของใบหญ้าหวานสด มีค่าเท่ากับ 19.77 ± 6.35 และใบหญ้าหวานอบแห้งด้วยลมร้อนที่อุณหภูมิ 50, 60, 70, 80 และ 90 องศาเซลเซียส มีค่า -23.26 ± 2.12 , 20.26 ± 2.54 , 25.26 ± 1.12 , 24.64 ± 3.84 และ 39.91 ± 4.23 ตามลำดับ ซึ่งจะพบว่าค่า a^* - values ของหญ้าหวานอบแห้งจะมีค่าลดลง และที่อุณหภูมิ 60 องศาเซลเซียส ค่า a^* - values ของหญ้าหวานอบแห้งจะมีค่าใกล้เคียงกับสีของหญ้าหวานสดมากที่สุด ค่าความแตกต่างสีโดยรวม (TCD) ของใบหญ้าหวานอบแห้งด้วยลมร้อนที่อุณหภูมิ 50, 60, 70, 80 และ 90 องศาเซลเซียส มีค่า 8.35 ± 2.12 , 8.96 ± 2.72 , 9.10 ± 2.38 , 9.43 ± 1.83 และ 25.32 ± 3.21 ตามลำดับ ซึ่งจะพบว่าค่า TCD ของหญ้าหวานอบแห้งจะมีค่าลดลง และที่อุณหภูมิ 50 องศาเซลเซียส ค่า TCD ของหญ้าหวานอบแห้งมีการเปลี่ยนแปลงสีโดยรวมที่น้อยที่สุด

ระบบ Musell System ซึ่งประกอบด้วยค่าสีลัน (Hue-values) และค่าความสด (Chroma-values) ของใบหญ้าหวานสด มีค่าเท่ากับ 19.77 ± 6.35 และใบหญ้าหวานอบแห้งด้วยลมร้อนที่อุณหภูมิ 50, 60, 70, 80 และ 90 องศาเซลเซียส มีค่า 100 ± 2.34 , 102.91 ± 4.31 , 104.94 ± 3.16 , 103.48 ± 0.95 และ 93.16 ± 2.54 ตามลำดับ และค่า Chroma-values ของหญ้าหวานอบแห้งจะมีค่า เท่ากับ 23.73 ± 1.92 , 23.99 ± 2.62 , 26.18 ± 2.48 , 25.42 ± 2.98 และ 40.00 ± 3.62 ตามลำดับ จากผลการวัดค่าสีในระบบ Musell System พบว่าค่าสีใบชาหญ้าหวานที่อุณหภูมิ 70 องศาเซลเซียส มีค่าสีลัน และค่าความสดที่ตีกกว่าค่าสีใบชาหญ้าหวานที่อุณหภูมิอื่นๆ และค่าสีในระบบ Musell System ที่อุณหภูมิ 90 องศาเซลเซียส จะมีค่าที่น้อยที่สุด

ผลกระทบของอุณหภูมิจะมีผลต่อการเปลี่ยนแปลงคุณภาพสีหลังการอบแห้งอย่างชัดเจน จะพบว่าค่าความสว่าง (L^* - values) ของใบหญ้าหวานอบแห้งที่ 60 องศาเซลเซียส มีค่าความสว่างมากกว่าใบหญ้าหวานอบแห้งที่ 50, 70, 80 และ 90 องศาเซลเซียส เนื่องจากใบชาหญ้าหวานอบแห้งที่ 50 องศาเซลเซียสจะส้มผดสักกับออกซิเจนในอากาศและมีเอโนไซม์พอลิฟีนอลออกซิเดส (PPO) ทำให้เกิดปฏิกิริยาไชลด์ครอกซิเลชันได้เป็นออกโรที-ไดฟีนอล (α -diphenol) ถึงแม้ว่าใบหญ้าหวานอบแห้งที่ 50 องศาเซลเซียส จะใช้ตากกลางอากาศร้อนที่อุณหภูมิต่ำกว่าสภาวะอื่น ๆ แต่ทำให้ใบหญ้าหวานส้มผดสักกับออกซิเจนเป็นเวลานาน ส่งผลทำให้เร่งปฏิกิริยาสีน้ำตาลด้วยเอนไซม์ PPO กับกรดอะมิโนได้เป็นสารประกอบเชิงซ้อนลีน้ำตาล สอดคล้องกับงานวิจัยของ Therdthai and Zhou (2009) ซึ่งศึกษาการเปลี่ยนแปลงสีของใบชาหญ้าหวานอบแห้ง พบร่วมกับการเปลี่ยนแปลงค่าความสว่างที่อุณหภูมิต่ำและใช้เวลานานจะเกิดการเปลี่ยนแปลงในลักษณะเช่นเดียวกัน รวมทั้งผลงานวิจัยของ ฤทธิชัย และคณะ (2554) ซึ่งศึกษาผลการเปลี่ยนแปลงสีของเปลือกหันทิมอบแห้งด้วยลมร้อน ในขณะที่การอบแห้งด้วยลมร้อนที่อุณหภูมิ 70 - 90 องศาเซลเซียส มีค่าความสว่างต่ำเนื่องจากใบหญ้าหวานได้รับความร้อนมากเกินไปส่งผลทำให้มีการสูญเสียน้ำ มีการสลายตัว (Degradation) และมีการรวมตัวกัน (Condensation) ของหมู่อะมิโนกับสารประกอบบรีดิวชิ้ง พัฒนาการเป็นสารประกอบเชิงซ้อนมีสีเหลืองจนเป็นสีน้ำตาลแดง ดังนั้นสภาวะการอบแห้งที่เหมาะสมต่อการรักษาค่าความสว่างของใบหญ้าหวานอบแห้งที่เหมาะสมควรอยู่ที่ 60 องศาเซลเซียส ค่าความเป็นสีแดง/สีเขียว ($a^*-values$) จะเป็นค่าสีที่สามารถบ่งบอกถึงอัตราการสลายตัวของรงค์วัตถุ หรือปริมาณคลอร์ฟิลล์ที่หลงเหลือของใบหญ้าหวานอบแห้งในระหว่างการอบแห้งด้วยลมร้อน ซึ่งค่าความเป็นสีแดงทั้งหมดและอาจบ่งบอกอัตราการสูญเสียรงค์วัตถุหรือคลอร์ฟิลล์ในการอบแห้งใบหญ้าหวานด้วยลมร้อนอย่างมาก รวมทั้งผลกระทบของการเกิดปฏิกิริยาสีน้ำตาลทั้งที่เร่งด้วยเอนไซม์และไม้อาดี้เอนไซม์ ในขณะที่ค่าความแตกต่างสีโดยรวม (TCD) ของใบชาหญ้าหวานที่อุณหภูมิ 50-80 องศาเซลเซียส ไม่มีความแตกต่างอย่างมีนัยสำคัญที่ความเชื่อมั่นร้อยละ 95 จากผลการวิเคราะห์ข้อมูลทางสถิติผ่านโปรแกรม SPSS เวอร์ชัน 19.0 โดยใช้วิธีเคราะห์ด้วยเทคนิคแปรปรวนแบบทางเดียว

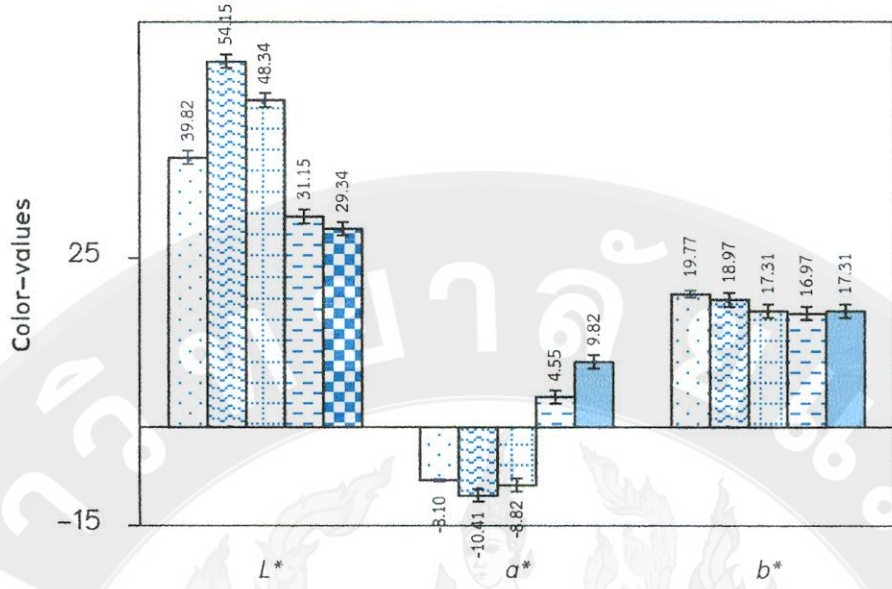


รูปที่ 4.15 ลักษณะสีปรากฏของหญ้าหวานสดและหญ้าหวานที่อบแห้งด้วยลมร้อนที่อุณหภูมิ 50, 60, 70, 80 และ 90 องศาเซลเซียส

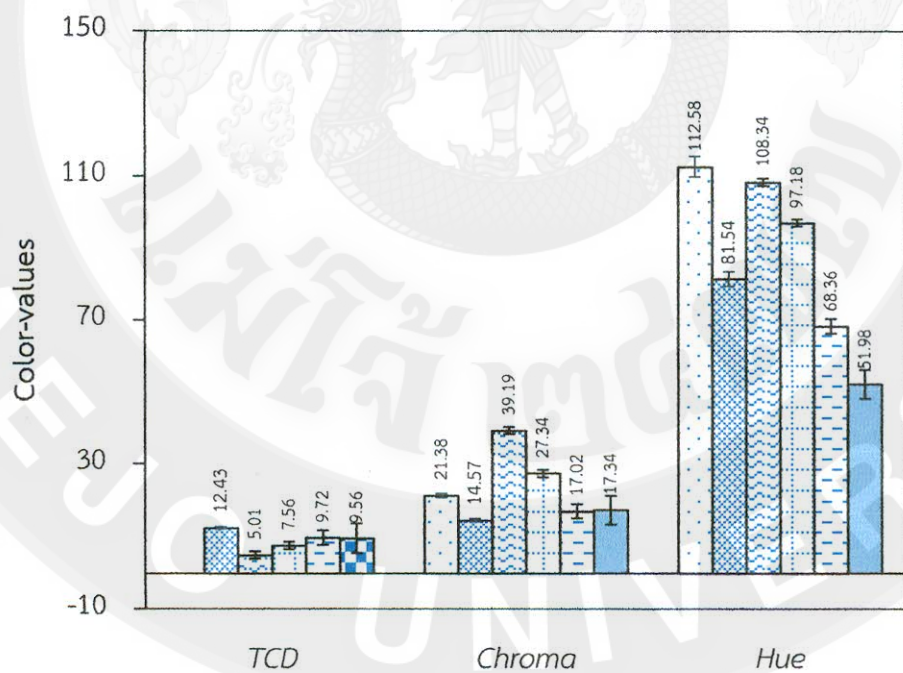
4.4.3 การเปลี่ยนแปลงสีของหญ้าหวานอบแห้งด้วยการอบแห้งด้วยการใช้อุณหภูมิแบบสองชั้น

จากการศึกษาค่าสีปรากฏของการอบแห้งด้วยการใช้อุณหภูมิแบบสองชั้น ที่สภาวะการอบแห้งด้วยการใช้อุณหภูมิแบบสองชั้นที่ช่วงอุณหภูมิ 90 องศาเซลเซียส เป็นเวลา 30 นาที และอุณหภูมิ 50 องศาเซลเซียส เป็นเวลา 310 นาที ซึ่งมีอัตราการอบแห้ง เท่ากับ 43.135×10^{-4} กรัม/นาที ต่อกรัม น้ำ.แห้ง นาที พลังงานที่ใช้ในการอบแห้ง หรือพลังงานจำเพาะ (Specific energy consumption: SEC) เป็นค่าที่สะท้อนถึงประสิทธิภาพการใช้พลังงานและสำหรับในการวิเคราะห์พลังงาน โดยใช้พลังงานในการอบแห้งเท่ากับ 161.5 เมกะจูลต่อกรัมน้ำที่ระเหยในระหว่างการอบแห้ง และ ค่าสีในระบบ CIE-L*-a*-b* ในรูปแบบของค่าความสว่าง/ความมืด (L^* -values) ค่าความเป็นสีแดง/สีเขียว (a^* -values) ค่าความเป็นสีเหลือง/สีน้ำเงิน (b^* - values) และค่าความแตกต่างสีโดยรวม (TCD) เท่ากับ 31.15 ± 1.18 , 4.55 ± 2.25 , 16.97 ± 2.37 และ 9.72 ± 2.65 ตามลำดับ และระบบ Musell System มีค่าสี Hue-value และ Chroma เท่ากับ 17.02 ± 4.32 และ 68.36 ± 1.54 ค่าสีปรากฏของการอบแห้งด้วยการใช้อุณหภูมิแบบสองชั้น ที่สภาวะการอบแห้งด้วยการใช้อุณหภูมิแบบสองชั้นที่ช่วงอุณหภูมิ 90 องศาเซลเซียส เป็นเวลา 30 นาที และอุณหภูมิ 50 องศาเซลเซียส เป็นเวลา 550 นาที ซึ่งมีอัตราการอบแห้ง อัตราการอบแห้งเฉลี่ย เท่ากับ 76.11×10^{-4} กรัม/นาที ต่อกรัม น้ำ.แห้ง นาที โดยใช้พลังงานในการอบแห้งเท่ากับ 142.35 เมกะจูลต่อกรัมน้ำที่ระเหยในระหว่างการอบแห้ง และ ค่าสีในระบบ CIE-L*-a*-b* ในรูปแบบของค่าความสว่าง/ความมืด (L^* -values) ค่าความเป็นสีแดง/สีเขียว (a^* - values) ค่าความเป็นสีเหลือง/สีน้ำเงิน (b^* - values) และค่าความแตกต่างสีโดยรวม (TCD) เท่ากับ 29.34 ± 2.51 , 9.82 ± 1.15 , 17.31 ± 1.47 และ 9.56 ± 1.57 ตามลำดับ และระบบ Musell System มีค่าสี Hue-value และ chroma เท่ากับ 17.34 ± 2.35 และ 51.98 ± 2.05

ค่าสีปรากฏของการอบแห้งด้วยการใช้อุณหภูมิแบบสองชั้น ที่สภาวะการอบแห้งด้วยการใช้อุณหภูมิแบบสองชั้นที่ช่วงอุณหภูมิ 80 องศาเซลเซียส เป็นเวลา 30 นาที และอุณหภูมิ 50 องศาเซลเซียส เป็นเวลา 550 นาที ซึ่งมีอัตราการอบแห้ง อัตราการอบแห้งเฉลี่ย เท่ากับ 31.62×10^{-4} กรัม/นาที ต่อกรัม น้ำ.แห้ง นาที โดยใช้พลังงานในการอบแห้งเท่ากับ 89.64 เมกะจูลต่อกรัมน้ำที่ระเหยในระหว่างการอบแห้ง และ ค่าสีในระบบ CIE-L*-a*-b* ในรูปแบบของค่าความสว่าง/ความมืด (L^* -values) ค่าความเป็นสีแดง/สีเขียว (a^* - values) ค่าความเป็นสีเหลือง/สีน้ำเงิน (b^* - values) และค่าความแตกต่างสีโดยรวม (TCD) เท่ากับ 31.15 ± 1.83 , -10.41 ± 1.99 , 18.97 ± 1.47 และ 5.01 ± 0.84 ตามลำดับ และระบบ Musell System มีค่าสี Hue-value และ Chroma เท่ากับ 39.19 ± 2.36 และ 100.87 ± 4.25



รูปที่ 4.16 ค่าสีพารามิเตอร์สีใบชาญี่หัววนสดและใบชาญี่หัววนอบแห้งโดยใช้คุณภูมิแบบหลายขั้นตอน (Multi-stage drying temperature) ที่ 50, 80 และ 50, 90 องศาเซลเซียส
ในระบบ CIE ($L^*-a^*-b^*$)



รูปที่ 4.17 ค่าสีพารามิเตอร์สีใบชาญี่หัววนสดและใบชาญี่หัววนอบแห้งโดยใช้คุณภูมิแบบหลายขั้นตอน (Multi-stage drying temperature) ที่ 50, 80 และ 50, 90 องศาเซลเซียส
ในระบบ Munsell color system



รูปที่ 4.18 ลักษณะสีปรากฏของหญ้าหวานสดและหญ้าหวานที่อบแห้งด้วยลมร้อนที่อุณหภูมิแบบสองขั้น (Multi-stage drying temperature) ที่อุณหภูมิ 50 และ 80 °C



รูปที่ 4.19 ลักษณะสีปรากฏของหญ้าหวานสดและหญ้าหวานที่อบแห้งด้วยลมร้อนที่อุณหภูมิแบบสองขั้น (Multi-stage drying temperature) ที่อุณหภูมิ 50 และ 90 องศาเซลเซียส

ค่าสีปรากฏของการอบแห้งด้วยการใช้อุณหภูมิแบบสองขั้น ที่สภาวะการอบแห้งด้วยการใช้อุณหภูมิแบบสองขั้นที่ช่วงอุณหภูมิ 80 องศาเซลเซียส เป็นเวลา 50 นาที และอุณหภูมิ 50 องศาเซลเซียส เป็นเวลา 550 นาที ซึ่งมีอัตราการอบแห้ง อัตราการอบแห้งเฉลี่ย เท่ากับ 32.92×10^{-4} กรัม/นาที ต่อ กรัม นน.แห้ง นาที โดยใช้พลังงานในการอบแห้งเท่ากับ 111.4 เมกะจูลต่อกรัมน้ำที่ระเหย ในระหว่างการอบแห้ง และ ค่าสีในระบบ CIE-L*-a*-b* ในรูปแบบของค่าความสว่าง/ความมืด (L^* -values) ค่าความเป็นสีแดง/สีเขียว (a^* - values) ค่าความเป็นสีเหลือง/สีน้ำเงิน (b^* - values) และค่า

ความแตกต่างสีโดยรวม (TCD) เท่ากับ 48.34 ± 2.67 , -8.82 ± 1.77 , 17.31 ± 2.34 และ 7.56 ± 2.34 ตามลำดับ และระบบ Musell System มีค่าสี Hue-value และ Chroma เท่ากับ 27.34 ± 1.48 และ 97.18 ± 1.64 ลักษณะที่เหมาะสมของกรอบแห้งด้วยการใช้อุณหภูมิแบบสองขั้น ในการรักษาสีของการอบแห้งใบชาหญ้าหวาน ที่ช่วงอุณหภูมิ 80 องศาเซลเซียส เป็นเวลา 30 นาที และอุณหภูมิ 50 องศาเซลเซียส เป็นเวลา 550 นาที แม้ว่าจะมีอัตราการอบแห้งเฉลี่ยเท่ากับ 31.62×10^{-4} กรัม/นาที ต่อ กรัม น้ำแห้ง นาที โดยใช้พัลส์งานในการอบแห้งน้อยกว่าการอบแห้งที่สภาวะอื่นๆ และให้ค่าสีที่ดีกว่าทั้ง ในระบบ CIE-L*-a*-b* และระบบ Musell System

บทที่ 5

สรุปผลการดำเนินงานวิจัย

ผลการทดลองการศึกษาการรักษาสีหอยหวานอบแห้งด้วยการใช้อุณหภูมิแบบหลาຍชັນ และผลของอิทธิพลของอุณหภูมิต่อการรักษาสีของใบชาหอยหวาน โดยการอบแห้งแบบขั้นเดียว (Single-stage drying temperature) ที่อุณหภูมิ 50, 60, 70, 80 และ 90 องศาเซลเซียส (ที่ระดับความเร็วลมคงที่ ที่ 0.32 เมตรต่อวินาที) และการอบแห้งด้วยการใช้อุณหภูมิแบบสองชั้น (Multi-stage drying temperature) ที่อุณหภูมิ 50 และ 80 องศาเซลเซียส และที่อุณหภูมิ 50 และ 90 องศาเซลเซียส และเปรียบเทียบกับวิธีการอบแห้งดังเดิม โดยวิธีการตากแดดด้วยแสงอาทิตย์ จากผลการศึกษาคุณสมบัติทางกายภาพและคุณลักษณะการอบแห้งของหอยหวาน พบร่วม ความชื้นเริ่มต้นของใบหอยหวานเฉลี่ย มีค่าเท่ากับ 73.96 ± 2.41 เปอร์เซ็นต์ความชื้น (น้ำหนักเปียก) หรือ 523.44 เปอร์เซ็นต์ความชื้น (น้ำหนักแห้ง) และความชื้นสมดุลของใบหอยหวานอบแห้งด้วยการอบแห้งด้วยลมร้อน (Hot air drying) ด้วยเครื่องอบแห้งแบบถ่านที่อุณหภูมิ 50, 60, 70, 80 และ 90 องศาเซลเซียส ระดับความเร็วลมคงที่ 0.32 เมตรต่อวินาที มีค่าความชื้นสมดุลเท่ากับ 6.34 ± 0.17 , 5.54 ± 0.09 , 5.39 ± 0.02 และ 5.18 ± 0.04 เปอร์เซ็นต์ความชื้น (น้ำหนักเปียก) หรือ 6.76 ± 0.21 , 5.86 ± 0.08 , 5.69 ± 0.12 และ 5.46 ± 0.09 เปอร์เซ็นต์ความชื้น (น้ำหนักแห้ง) ตามลำดับ

การทดลองการอบแห้งใบหอยหวานโดยการอบแห้งด้วยลมร้อน เพื่อหาอัตราการอบแห้งที่ โดยใช้อุณหภูมิแบบขั้นเดียว (Single-stage drying temperature) ที่อุณหภูมิ 50, 60, 70, 80 และ 90 องศาเซลเซียส (ที่ระดับความเร็วลมคงที่ 0.32 เมตรต่อวินาที) มีอัตราการอบแห้งเท่ากับ 18.91×10^{-4} , 20.85×10^{-4} , 47.74×10^{-4} , 103.19×10^{-4} และ 179.65×10^{-4} กรัม/นาที ต่อ กรัม น้ำหนักแห้ง นาที ตามลำดับ ในขณะที่ผลกระทบของอุณหภูมิ ซึ่งพบร่วม เมื่ออุณหภูมิในการอบแห้งเพิ่มสูงขึ้น 10 องศาเซลเซียส จะส่งผลให้อัตราการอบแห้งเพิ่มสูงขึ้น 10.25 , 128.96 , 116.14 และ 74.09 เปอร์เซ็นต์ ของการเพิ่มขึ้น อุณหภูมิ 50 เป็น 60 องศาเซลเซียส, 60 เป็น 70 องศาเซลเซียส, 70 เป็น 80 องศาเซลเซียส และ 80 เป็น 90 องศาเซลเซียส ตามลำดับ จากผลการศึกษาพบว่า การเพิ่มของอุณหภูมิในการอบแห้งที่ช่วง อุณหภูมิ 60 เป็น 70 องศาเซลเซียส มีประสิทธิภาพในการอบแห้งมากที่สุด

การอบแห้งด้วยการใช้อุณหภูมิแบบสองชั้น (Multi-stage drying temperature) ต่ออัตราการเปลี่ยนแปลงความชื้น

สภาพการอบแห้งที่ 1: การอบแห้งด้วยการใช้อุณหภูมิแบบสองชั้นที่ช่วงอุณหภูมิ 90 องศาเซลเซียส เป็นเวลา 30 นาที และอุณหภูมิ 50 องศาเซลเซียส เป็นเวลา 550 นาที มีอัตราการอบแห้งเท่ากับ 43.14×10^{-4} กรัม/นาที ต่อ กรัม น้ำหนักแห้ง นาที

สภาพการอบแห้งที่ 2: การอบแห้งด้วยการใช้อุณหภูมิแบบสองชั้นที่ช่วงอุณหภูมิ 90 องศาเซลเซียส เป็นเวลา 50 นาที และอุณหภูมิ 50 องศาเซลเซียส เป็นเวลา 310 นาที มีอัตราการอบแห้งเท่ากับ 76.11×10^{-4} กรัม/นาทีต่อ กรัม นน.แห้ง นาที

สภาพการอบแห้งที่ 3: การอบแห้งด้วยการใช้อุณหภูมิแบบสองชั้นที่ช่วงอุณหภูมิ 80 องศาเซลเซียส เป็นเวลา 30 นาที และอุณหภูมิ 50 องศาเซลเซียส เป็นเวลา 730 นาที มีอัตราการอบแห้งเท่ากับ 31.62×10^{-4} กรัม/นาทีต่อ กรัม นน.แห้ง นาที

สภาพการอบแห้งที่ 4: การอบแห้งด้วยการใช้อุณหภูมิแบบสองชั้นที่ช่วงอุณหภูมิ 80 องศาเซลเซียส เป็นเวลา 50 นาที และอุณหภูมิ 50 องศาเซลเซียส เป็นเวลา 670 นาที มีอัตราการอบแห้งเท่ากับ 32.91×10^{-4} กรัม/นาทีต่อ กรัม นน.แห้ง นาที

ผลการศึกษาผลกระทบของวิธีการอบแห้งหญ้าหวาน ด้วยวิธีการอบแห้งแบบต่างๆ เช่น การอบแห้งด้วยวิธีแบบดังเดิม ด้วยวิธีการอบแห้งด้วยพลังงานแสงอาทิตย์โดยตรง การอบแห้งด้วยการใช้อุณหภูมิแบบชั้นเดียว (Single-stage drying temperature) และการอบแห้งด้วยการใช้อุณหภูมิแบบสองชั้น (Multi-stage drying temperature) ต่ออัตราการเปลี่ยนแปลงความชื้น พลังงานเฉพาะที่ใช้ในการอบแห้ง และการเปลี่ยนแปลงของคุณภาพสี CIE ($L^* - a^* - b^*$) และระบบสี Munsell color system พบว่า สภาวะที่เหมาะสมของการอบแห้งด้วยการใช้อุณหภูมิแบบสองชั้น ใน การรักษาสีของการอบแห้ง ใบชาหญ้าหวาน ที่ช่วงอุณหภูมิ 80 องศาเซลเซียส เป็นเวลา 30 นาที และอุณหภูมิ 50 องศาเซลเซียส เป็นเวลา 550 นาที ซึ่งมีอัตราการอบแห้งเฉลี่ย เท่ากับ 31.62×10^{-4} กรัม/นาทีต่อ กรัม นน.แห้ง นาที โดยใช้ พลังงานในการอบแห้งน้อยกว่าการอบแห้งที่สภาวะอื่นๆ และให้ค่าสีที่ดีกว่าทั้งในระบบ CIE- $L^* - a^* - b^*$ และ Musell System มีค่าความสว่าง/ความมืด (L^* -values) ค่าความเป็นสีแดง/สีเขียว (a^* - values) ค่าความเป็นสีเหลือง/สีน้ำเงิน (b^* - values) และค่าความแตกต่างสีโดยรวม (TCD) เท่ากับ 31.15 ± 1.83 , -10.41 ± 1.99 , 18.97 ± 1.47 และ 5.01 ± 0.84 ตามลำดับ และระบบ Musell System มีค่าสี Hue-value และ Chroma เท่ากับ 39.19 ± 2.36 และ 100.87 ± 4.25 ตามลำดับ

เอกสารอ้างอิง

- พดุงศักดิ์ รัตน์เดช. 2551. พื้นฐานการให้ความร้อนด้วยไมโครเวฟ. กรุงเทพฯ: มหาวิทยาลัยธรรมศาสตร์,
- พิชิต สอนทุย, วีโรจน์ ไชมุขเลิศฤทธิ์ และฤทธิชัย อัศวรานันย์. 2556. ผลกระทบของระดับคลื่นไมโครเวฟต่อการเปลี่ยนแปลงสีของการอบแห้งขมิ้นชัน. การประชุมวิชาการอุดสาหกรรมเกษตร สจล. ครั้งที่ 2 ณ โรงแรมวินเซอร์ สวีทส์ สุขุมวิท กรุงเทพฯ. ในวันที่ 30 สิงหาคม 2556
- วิริยา พรหมกong. 2553. การทำแห้งผักผลไม้ด้วยการใช้อุณหภูมิแบบหลายชั้น. วารสารลมคอมวิศวกรรมเกษตรแห่งประเทศไทย 16(1): 53–58.
- สักกมน เทพหัสดิน ณ อุดมยาน. 2555. การอบแห้งอาหารและวัสดุชีวภาพ. กรุงเทพฯ: ห้อป. ฤทธิชัย อัศวรานันย์, 2556. ผลงานศาสตร์การอบแห้งอาหารและวัสดุชีวภาพ. วารสารวิชาการ Rajabhat Journal of Sciences, Humanities & Social Sciences 14(2): 13–22.
- สุนีย์รัตน์ ตุ้ยดา. 2544. การอบแห้งลำไยแบบแกะเปลือกด้วยเครื่องอบแห้งแบบสลับทิศทางลม. วิทยานิพนธ์วิทยาศาสตร์มหาบัณฑิต สาขาวิชาวิทยาการหลังการเก็บเกี่ยว, มหาวิทยาลัยเชียงใหม่.
- อัจฉรา ถลวิทยาคุณ. 2556. การทดลองอาหาร. สำนักพิมพ์โอดี้นஸโตร์, กรุงเทพฯ.
- อรรถพล นุ่มหอม และ ฤทธิชัย อัศวรานันย์. 2551. กระบวนการอบแห้งในอุตสาหกรรมอาหาร. Food Focus Thailand Magazine 3(25): 21– 25.
- AOAC. 2010. Official Methods of Analysis. 18th Edn., Association of Official Analytical Chemists, Washington, DC., USA.
- Chua, K.J., Chou, S.K., Ho, J.C., Mujumdar, A.S and Hawlader, M.N.A. 2000. Cyclic air temperature drying of guava piece: Effects on moisture and ascorbic acid contents. *Trans IChE* 78(C): 72–78.
- Chua, K.J., Mujumdar, A.S., Hawlader, M.N.A and Ho, J.C. 2001. Convective drying of agricultural product. Effect of continuous and stepwise change in drying temperature. *Drying Technology* 19(8): 1949–1960.
- Davidson, V.J., Li, X and Brown, R.B. 2004. Forced-air drying of ginseng roots: 2. Control strategy for three-stage drying process. *Journal of Food Engineering* 63: 369–373
- Devahastin, S and Mujumdar, A.S. 1999. Batch drying of grains in a well-mixed dryer-effect of continuous and stepwise change in drying air temperature. *Transactions of the ASAE*. 42: 421–425.

Ergünes, G and Trahan, S. 2006. Color retention of red peppers by chemical pretreatment during greenhouse and open sun drying. *Journal of Food Engineering* 52: 135–141.

Idris A., Khalid K. and Omar W. 2001. Drying of silica sludge using microwave heating. *Applied Thermal Engineering* 24, 905–918.

Pan, Y.K., Zhao, L.J and Hu, W.B. 1999. The effect of tempering–intermittent drying on quality and energy of plant material. *Drying Technology–An International Journal* 17(9): 1795–1812.

Wiriya, P., Somchart, S and Paiboon, T. 2009. Effect of drying air temperature and chemical pretreatments on quality of dried chilli. *International Food Research Journal* 16: 441–454.



ตารางที่ ก.1 การวิเคราะห์หาความซึ้งเริ่มต้นของใบชาหญ้าหวานสด

ลำดับการทดลอง	นน.ของแข็ง	นน.น้ำ	เปอร์เซ็นต์ความซึ้ง (น้ำหนักเปียก)	เปอร์เซ็นต์ความซึ้ง (น้ำหนักแห้ง)
1	2.80	6.75	70.68	241.07
2	2.60	6.15	70.29	236.54
3	2.60	4.20	61.76	161.54
4	2.50	5.50	68.75	220.00
5	2.70	6.40	70.33	237.04
6	2.60	8.20	75.93	315.38
7	2.70	5.30	66.25	196.30
8	2.50	6.70	72.83	268.00
9	2.50	9.20	78.63	368.00
10	2.70	6.40	70.33	237.04
11	5.60	11.20	66.67	200.00
12	2.70	6.00	68.97	222.22
13	2.60	6.40	71.11	246.15
14	2.80	4.10	59.42	146.43
15	2.40	9.65	80.08	402.08
16	2.50	5.10	67.11	204.00
17	2.80	8.30	74.77	296.43
18	2.40	6.40	72.73	266.67
19	2.80	7.20	72.00	257.14
20	3.70	6.80	64.76	183.78
		ค่าเฉลี่ย	70.17	245.29
		แปรปรวน	5.12	63.42

ตารางที่ ก.2 การเปลี่ยนแปลงความชื้นในระหว่างการอบแห้งด้วยพลังงานแสงอาทิตย์
(ทดลองระหว่างวันที่ 5 พ.ค. พ.ศ. 2557 ถึง 10 มิถุนายน พ.ศ. 2557)

เวลา (นาที)	เปอร์เซ็นต์ความชื้น (น้ำหนักแห้ง)		
	การทดลองที่ 1	การทดลองที่ 2	การทดลองที่ 3
0	310.17	307.66	307.66
100	133.35	130.13	128.55
200	95.64	86.33	85.81
300	72.57	65.91	65.49
400	54.73	53.48	52.95
500	43.09	46.88	45.59
600	38.91	35.38	36.07
700	33.61	30.98	30.98
800	27.47	28.21	27.96
900	23.91	25.08	23.91
1000	16.13	20.11	19.47
1100	15.43	15.53	15.53
1200	13.46	13.56	13.62
1300	11.84	11.84	11.84
1400	10.73	10.73	10.73
1500	9.81	9.81	9.81
1600	9.09	9.27	9.27
1700	8.47	8.74	8.74
1800	8.29	8.38	8.29

ตารางที่ ก.3 การเปลี่ยนแปลงความชื้นในระหว่างการอบแห้งหญ้าหวานด้วยเครื่องอบแห้งลมร้อน ด้วยการใช้อุณหภูมิแบบขั้นเดียว ที่ 50, 60, 70, 80 และ 90 องศาเซลเซียส

90 องศาเซลเซียส		80 องศาเซลเซียส		70 องศาเซลเซียส		60 องศาเซลเซียส		50 องศาเซลเซียส	
เวลา (นาที)	เปอร์เซ็นต์ ความชื้น (น้ำหนัก แห้ง)								
0	247.75	0	245.65	0	237.27	0	247.83	0	238.41
5	117.78	5	137.46	10	121.44	30	104.45	30	131.16
10	80.49	10	103.27	20	91.77	60	75.15	60	98.84
15	61.17	15	81.9	30	75.11	90	59.5	90	71.51
20	49.07	20	69.84	40	63.7	120	49.43	120	61.75
25	41.38	25	58.92	50	55.52	150	42.29	150	51.1
30	34.71	30	53.28	60	49.2	180	36.95	180	44.5
35	29.85	35	41.96	70	44.24	210	32.78	210	40.09
40	26.5	40	39.67	80	42.94	240	29.44	240	37.91
50	20.92	50	31.94	90	39.19	270	26.69	270	33.51
60	17.59	60	29.47	100	33.73	300	24.42	300	31.29
70	14.93	70	23.69	110	31.27	330	22.49	330	27.3
80	13.03	80	21.52	120	29.37	360	20.83	360	25.28
90	11.47	90	18.8	130	27.3	390	19.4	390	23.54
100	10.39	100	16.01	140	25.52	420	18.16	420	22.05
110	9.51	110	15.43	150	23.99	450	17.06	450	20.4
120	8.82	120	14.01	160	22.93	500	15.53	500	18.79
130	8.21	130	12.61	170	21.47	550	14.26	550	17.13
140	8.04	140	11.89	180	20.14	600	13.19	600	15.89
150	7.79	150	11.08	190	19.44	650	12.29	650	14.58

		160	10.99	200	19.24	700	11.53	700	13.67
		170	10.11	210	17.71	750	10.88	750	12.68
		180	9.06	240	15.58	800	10.32	800	12.05
		190	9.24	270	14.11	850	9.84	850	11.35
		200	8.55	300	12.85	900	9.42	900	10.92
		210	8.3	330	12.5	950	9.05	950	10.49
		220	8.13	360	10.86	1000	8.73	1000	9.97
		230	7.79	390	10.14	1050	8.44	1050	9.8
		240	7.54	420	9.53	1100	8.19	1100	9.21
		250	7.37	450	8.33	1150	7.96	1150	8.96





ตารางที่ ช.1 ค่าลีพารามิเตอร์สีในชาหน้ำหวานสด ในระบบ CIE ($L^*-a^*-b^*$) และ Munsell color system

CIE ($L^*-a^*-b^*$)			Munsell system		
L^*	a^*	b^*	TCD	Chroma	Hue
40.89	-8.78	23.12		24.73	110.80
40.78	-7.91	21.55		22.96	110.16
40.31	-8.64	21.64		23.30	111.76
38.74	-8.04	20.55		22.02	111.42
38.24	-8.46	17.73		19.64	115.51
39.79	-8.37	20.92		22.53	111.93
1.22	0.38	2.00		1.89	2.09
42.05	-7.66	23.16		24.39	108.30
40.28	-7.71	18.46		20.00	112.67
43.07	-9.33	24.42		26.14	110.91
41.24	-7.93	20.89		22.34	110.79
36.56	-6.49	13.62		15.09	115.48
40.64	-7.82	20.11		21.59	111.63
2.50	1.01	4.28		4.30	2.66
44.39	-9.58	24.73		26.52	111.18
37.91	-7.50	16.10		17.76	114.98
37.85	-7.77	16.56		18.29	115.14
36.50	-7.57	16.12		17.81	115.16
38.54	-8.17	17.93		19.70	114.50
39.04	-8.12	18.29		20.02	114.19
3.08	0.86	3.68		3.72	1.70

ตารางที่ ช.2 ค่าสีพารามิเตอร์สีในชาหญ้าหวานอบแห้งด้วยการตากแดด แสงอาทิตย์ในระบบ CIE ($L^*-a^*-b^*$) และ Munsell color system

CIE ($L^*-a^*-b^*$)			Munsell system		
L*	a*	b*	TCD	Chroma	Hue
38.56	2.16	14.13	11.78	14.29	81.31
25.72	0.79	1.41	24.80	1.62	60.74
35.10	1.93	14.70	12.19	14.83	82.52
39.53	0.42	19.84	8.53	19.84	88.79
42.15	0.25	16.43	9.29	16.43	89.13
36.21	1.11	13.30	13.32	13.40	80.50
6.39	0.88	7.01	6.61	6.93	11.60
37.01	0.92	16.24	10.09	16.27	86.76
37.94	2.59	16.14	11.44	16.35	80.88
39.29	2.04	17.77	10.35	17.89	83.45
30.54	1.71	8.19	17.79	8.37	78.21
36.92	2.44	13.99	12.37	14.20	80.11
36.34	1.94	14.47	12.41	14.62	81.88
3.38	0.67	3.76	3.14	3.73	3.31
35.51	2.85	15.01	12.69	15.28	79.25
36.36	2.35	16.29	11.54	16.46	81.79
38.57	2.44	14.70	11.76	14.90	80.58
34.98	0.86	15.88	10.90	15.90	86.90
39.25	2.04	15.83	10.89	15.96	82.66
36.93	2.11	15.54	11.56	15.70	82.24
1.89	0.76	0.66	0.74	0.61	2.91

ตารางที่ ข.3 ค่าสีพารามิเตอร์สีใบชาหุ้นวานอบแห้ง ที่อุณหภูมิ 50 องศาเซลเซียส ในระบบ CIE ($L^*-a^*-b^*$) และ Munsell color system

CIE ($L^*-a^*-b^*$)			Munsell system		
L^*	a^*	b^*	TCD	Chroma	Hue
43.29	-1.54	17.62	7.73	17.69	95.00
48.65	-3.63	25.92	11.65	26.17	97.97
47.01	-6.11	24.06	8.61	24.82	104.25
45.98	-2.07	25.12	10.15	25.21	94.71
46.61	-6.77	24.72	8.51	25.63	105.32
46.31	-4.02	23.49	9.33	23.90	99.45
1.95	2.35	3.35	1.57	3.51	5.05
49.14	-2.31	23.53	11.60	23.64	95.61
47.96	-3.99	25.60	10.82	25.91	98.86
48.10	-3.29	26.13	11.50	26.34	97.18
44.51	-6.36	24.95	7.20	25.75	104.30
45.39	-2.10	16.43	8.84	16.56	97.28
47.02	-3.61	23.33	9.99	23.64	98.65
1.97	1.72	3.98	1.91	4.09	3.36
43.96	-3.40	21.93	6.63	22.19	98.81
41.17	-0.84	17.47	7.73	17.49	92.75
46.54	-6.67	25.34	8.84	26.20	104.75
50.84	-8.43	25.63	12.49	26.98	108.21
46.05	-6.58	24.51	7.97	25.38	105.03
45.71	-5.18	22.98	8.73	23.65	101.91
3.56	3.03	3.41	2.24	3.89	6.14

ตารางที่ ข.4 ค่าสีพารามิเตอร์สีใบชาหุ้นawanอบแห้ง ที่อุณหภูมิ 60 องศาเซลเซียส ในระบบ CIE ($L^*-a^*-b^*$) และ Munsell color system

CIE ($L^*-a^*-b^*$)			Munsell system		
L^*	a^*	b^*	TCD	Chroma	Hue
43.29	-1.54	17.62	7.73	17.69	94.99
48.65	-7.63	25.92	10.77	27.02	106.40
47.01	-6.11	24.06	8.61	24.82	104.25
45.98	-7.07	25.12	8.22	26.10	105.72
46.61	-6.77	24.72	8.51	25.63	105.32
46.31	-5.82	23.49	8.77	24.25	103.34
1.95	2.46	3.35	1.17	3.75	4.73
49.14	-6.31	23.53	10.21	24.36	105.01
47.96	-7.99	25.60	10.01	26.82	107.33
48.10	-6.29	26.13	10.60	26.88	103.54
44.51	-6.36	24.95	7.20	25.75	104.30
45.39	-2.10	16.43	8.84	16.56	97.28
47.02	-5.81	23.33	9.37	24.07	103.49
1.97	2.20	3.98	1.38	4.32	3.75
43.96	-3.40	21.93	6.63	22.19	98.81
41.17	-0.84	17.47	7.73	17.49	92.75
46.54	-6.67	25.34	8.84	26.20	104.75
50.84	-8.43	25.63	12.49	26.98	108.21
46.05	-6.58	24.51	7.97	25.38	105.03
45.71	-5.18	22.98	8.73	23.65	101.91
3.56	3.03	3.41	2.24	3.89	6.14

ตารางที่ ข.5 ค่าสีพารามิเตอร์สีใบชาหัญหาหวานอบแห้ง ที่อุณหภูมิ 70 องศาเซลเซียส ในระบบ CIE ($L^*-a^*-b^*$) และ Munsell color system

CIE ($L^*-a^*-b^*$)			Munsell system		
L^*	a^*	b^*	TCD	Chroma	Hue
49.78	-8.57	27.77	12.78	29.06	107.15
45.13	-7.51	25.90	8.13	26.97	106.17
48.65	-8.09	28.30	12.28	29.43	105.95
44.06	-5.43	23.08	6.01	23.71	103.24
36.85	-3.89	20.10	5.16	20.47	100.95
44.89	-6.70	25.03	8.87	25.93	104.69
5.09	1.97	3.43	3.52	3.80	2.55
50.38	-8.50	27.76	13.25	29.03	107.02
51.27	-5.44	25.13	12.92	25.71	102.22
42.06	-5.90	24.38	5.58	25.08	103.60
43.89	-7.65	24.97	6.62	26.12	107.03
47.71	-7.63	26.89	10.64	27.95	105.84
47.06	-7.02	25.83	9.80	26.78	105.14
4.01	1.30	1.43	3.55	1.65	2.15
49.27	-7.47	26.14	11.41	27.19	105.95
44.67	-5.87	23.66	6.61	24.38	103.93
46.63	-6.09	25.13	8.90	25.86	103.62
38.47	-5.91	22.43	3.70	23.20	104.76
49.83	-8.18	27.30	12.53	28.50	106.68
45.77	-6.70	24.93	8.63	25.83	104.99
4.58	1.06	1.94	3.58	2.12	1.31

ตารางที่ ข.6 ค่าสีพารามิเตอร์ลีบีชาหัญหาหวานอบแห้ง ที่อุณหภูมิ 80 องศาเซลเซียส ในระบบ CIE ($L^*-a^*-b^*$) และ Munsell color system

CIE ($L^*-a^*-b^*$)			Munsell system		
L^*	a^*	b^*	TCD	Chroma	Hue
43.15	-6.86	23.63	5.25	24.61	106.19
41.81	-3.54	22.45	5.65	22.73	98.96
49.99	-0.53	15.71	13.31	15.72	91.93
46.08	-6.95	25.84	8.80	26.76	105.05
51.63	-8.76	28.15	14.50	29.48	107.29
46.53	-5.33	23.16	9.50	23.86	101.88
4.24	3.28	4.70	4.27	5.20	6.43
49.11	-4.67	24.12	10.82	24.57	100.96
45.85	-5.95	26.57	9.34	27.23	102.62
47.49	-6.83	25.50	9.66	26.40	104.99
44.83	-7.88	24.52	6.91	25.76	107.82
48.97	-6.52	26.19	11.29	26.99	103.98
47.25	-6.37	25.38	9.60	26.19	104.07
1.89	1.18	1.05	1.71	1.07	2.58
42.68	-5.17	23.06	5.25	23.63	102.64
46.02	-6.64	26.72	9.43	27.53	103.96
50.98	-7.39	25.85	12.73	26.89	105.95
46.42	-7.00	24.26	8.06	25.25	106.10
47.16	-6.58	27.01	10.42	27.80	103.69
46.65	-6.56	25.38	9.18	26.22	104.47
2.97	0.84	1.68	2.78	1.75	1.51

ตารางที่ ข.7 ค่าสีพารามิเตอร์สีใบชาหญ้าหวานอบแห้ง ที่อุณหภูมิ 90 องศาเซลเซียส ในระบบ CIE ($L^*-a^*-b^*$) และ Munsell color system

CIE ($L^*-a^*-b^*$)			Munsell system		
L^*	a^*	b^*	TCD	Chroma	Hue
29.78	-1.54	48.63	31.25	48.65	91.81
25.13	-2.63	42.45	27.57	42.53	93.54
28.65	-2.11	46.71	29.77	46.76	92.59
34.06	-0.07	25.84	11.60	25.84	90.16
36.85	-0.77	58.15	39.19	58.16	90.76
30.89	-1.42	44.36	27.88	44.39	91.77
4.61	1.02	11.84	10.10	11.84	1.36
13.29	-3.40	37.76	32.40	37.91	95.14
38.65	-0.84	35.13	17.03	35.14	91.70
17.01	-2.67	34.38	27.63	34.48	94.44
45.98	-0.43	54.97	36.55	54.97	90.45
16.61	-2.58	46.89	36.12	46.96	93.15
26.31	-1.98	41.83	29.94	41.89	92.98
14.91	1.28	8.88	8.06	8.85	1.93
23.96	-0.40	33.06	22.08	33.06	90.69
21.17	-0.84	36.72	26.23	36.73	91.31
26.54	-6.67	35.85	20.90	36.47	100.54
30.84	-2.43	24.26	11.53	24.38	95.72
36.05	-3.58	37.81	18.98	37.98	95.41
27.71	-2.78	33.54	19.94	33.72	94.73
5.86	2.52	5.48	5.40	5.53	3.98

ตารางที่ ข.8 ค่าสีพารามิเตอร์สีใบชาที่ผ่านกระบวนการอบแห้ง ใบชาที่ผ่านกระบวนการอบแห้งโดยใช้อุณหภูมิแบบ
หลายชั้นตอน (Multi-stage drying temperature) ที่ 50 องศาเซลเซียส (550 นาที) และ 90
องศาเซลเซียส (30 นาที)

CIE (L^* - a^* - b^*)			Munsell system		
L^*	a^*	b^*	TCD	Chroma	Hue
35.30	0.62	15.73	10.62	15.74	87.74
36.36	-0.81	21.55	8.26	21.56	92.15
37.10	-1.19	20.71	7.49	20.74	93.29
40.51	2.32	18.18	10.56	18.33	82.73
35.79	-0.72	17.81	8.63	17.82	92.32
37.01	0.04	18.80	9.11	18.84	89.65
2.07	1.44	2.35	1.41	2.34	4.42
37.63	1.13	18.85	9.53	18.88	86.57
37.22	-0.72	18.45	7.94	18.46	92.24
36.06	-0.69	17.00	8.76	17.01	92.32
39.14	2.20	19.17	10.34	19.30	83.45
42.73	-0.33	11.61	11.64	11.62	91.63
38.56	0.32	17.02	9.64	17.05	89.24
2.58	1.30	3.13	1.43	3.16	4.03
42.17	2.41	12.66	12.90	12.89	79.22
37.36	1.62	15.40	10.94	15.48	84.00
39.18	-0.66	15.52	8.59	15.53	92.44
37.41	-0.25	15.53	9.24	15.53	90.92
38.25	1.62	16.35	10.42	16.43	84.34
38.87	0.95	15.09	10.42	15.17	86.18
1.99	1.33	1.41	1.67	1.34	5.44

ตารางที่ ข.9 ค่าสีพารามิเตอร์ลีบีชาญ้ำหวานอบแห้ง ใบชาญ้ำหวานอบแห้งโดยใช้อุณหภูมิแบบ
หลายขั้นตอน (Multi-stage drying temperature) ที่ 50 องศาเซลเซียส (310 นาที) และ 90
องศาเซลเซียส (50 นาที)

CIE (L^* - a^* - b^*)			Munsell system		
L^*	a^*	b^*	TCD	Chroma	Hue
39.62	-0.67	18.24	7.59	18.25	92.10
38.37	0.97	16.47	9.76	16.50	86.63
36.73	1.42	16.82	10.43	16.88	85.17
37.12	1.37	15.81	10.61	15.87	85.05
39.60	1.39	18.13	9.63	18.18	85.62
38.29	0.90	17.09	9.61	17.14	86.91
1.35	0.89	1.06	1.20	1.05	2.97
38.29	0.39	18.83	8.68	18.83	88.81
37.16	1.17	14.67	10.91	14.72	85.44
38.96	0.92	17.14	9.43	17.16	86.93
41.11	1.05	16.61	9.77	16.64	8.38
40.31	-0.16	19.83	7.96	19.83	90.46
39.17	0.67	17.42	9.35	17.44	72.00
1.57	0.55	2.01	1.12	1.99	35.62
34.21	1.32	17.65	11.17	17.70	85.72
38.80	0.25	18.21	8.56	18.21	89.21
37.43	0.53	16.86	9.42	16.87	88.20
39.26	1.34	17.80	9.66	17.85	85.70
38.07	1.07	16.53	9.88	16.56	86.30
37.55	0.90	17.41	9.74	17.44	87.03
2.00	0.49	0.69	0.94	0.69	1.59

ตารางที่ ๑.๑๐ ค่าสีพารามิเตอร์สีในชาหน้ำหวานอบแห้ง ในชาหน้ำหวานอบแห้งโดยใช้อุณหภูมิแบบ
หลายขั้นตอน (Multi-stage drying temperature) ที่ ๕๐ องศาเซลเซียส (๗๓๐ นาที) และ ๘๐
องศาเซลเซียส (๓๐ นาที)

CIE (L^* - a^* - b^*)			Munsell system		
L^*	a^*	b^*	TCD	Chroma	Hue
35.30	-6.60	25.73	7.63	26.56	104.39
36.36	-2.81	21.55	6.57	21.73	97.43
37.10	-2.19	20.71	6.57	20.82	96.04
40.51	-2.30	18.18	6.05	18.32	97.21
35.79	-6.72	17.81	4.69	19.04	110.67
37.01	-4.12	20.80	6.30	21.29	101.15
2.07	2.33	3.19	1.07	3.24	6.26
37.63	-1.10	18.85	7.39	18.88	93.34
37.22	-1.72	18.45	7.01	18.53	95.33
36.06	-0.69	17.00	8.76	17.01	92.32
39.14	-2.20	19.17	5.97	19.30	96.55
42.73	-3.33	21.61	5.88	21.86	98.76
38.56	-1.81	19.02	7.00	19.12	95.26
2.58	1.03	1.67	1.18	1.76	2.56
42.17	-2.41	19.66	6.16	19.81	96.99
37.36	-1.62	18.40	7.07	18.47	95.03
39.18	-0.66	15.52	8.59	15.53	92.44
37.41	-0.25	15.53	9.24	15.53	90.92
38.25	-1.62	16.35	7.49	16.43	95.66
38.87	-1.31	17.09	7.71	17.15	94.21
1.99	0.86	1.86	1.22	1.91	2.47

ตารางที่ ข.11 ค่าลีพารามิเตอร์สีในชาหม้อหวานอบแห้ง ใบชาหม้อหวานอบแห้งโดยใช้อุณหภูมิแบบ
หลายชั้นตอน (Multi-stage drying temperature) ที่ 50 องศาเซลเซียส (670 นาที) และ 80
องศาเซลเซียส (50 นาที)

CIE-Lab			Munsell system		
L*	a*	b*	TCD	Chroma	Hue
39.62	-0.67	18.24	7.59	18.25	92.10
38.37	0.97	16.47	9.76	16.50	86.63
36.73	1.42	16.82	10.43	16.88	85.17
37.12	1.37	15.81	10.61	15.87	85.05
39.60	1.39	18.13	9.63	18.18	85.62
38.29	0.90	17.09	9.61	17.14	86.91
1.35	0.89	1.06	1.20	1.05	2.97
38.29	0.39	18.83	8.68	18.83	88.81
37.16	1.17	14.67	10.91	14.72	85.44
38.96	0.92	17.14	9.43	17.16	86.93
41.11	1.05	16.61	9.77	16.64	86.38
40.31	-0.16	19.83	7.96	19.83	90.46
39.17	0.67	17.42	9.35	17.44	87.60
1.57	0.55	2.01	1.12	1.99	2.02
34.21	1.32	17.65	11.17	17.70	85.72
38.80	0.25	18.21	8.56	18.21	89.21
37.43	0.53	16.86	9.42	16.87	88.20
39.26	1.34	17.80	9.66	17.85	85.70
38.07	1.07	16.53	9.88	16.56	86.30
37.55	0.90	17.41	9.74	17.44	87.03
2.00	0.49	0.69	0.94	0.69	1.59





บันทึกข้อความ

ส่วนราชการ คณบดีศึกวารมและอุดสาหกรรมเกษตร งานบริการวิชาการและวิจัย โทร ๐๕๖๖-๓๗๑

ที่ ศธ ๐๔๙๙.๕.๙.๔/๒.๗๐๔ วันที่ ๒๐ กุมภาพันธ์ ๒๕๕๗

เรื่อง ประกาศผลโครงการวิจัยที่ได้รับทุนอุดหนุนการวิจัย ประจำปีงบประมาณ พ.ศ. ๒๕๕๗

เรียน บุคลากรคณบดีศึกวารมและอุดสาหกรรมเกษตร

ตามที่คณะกรรมการบริหารงานบริการวิชาการและวิจัยได้เปิดรับสมัครทุนอุดหนุน
การวิจัย เป็นรายได้ประจำปีงบประมาณ ๒๕๕๗ เพื่อดำเนินโครงการวิจัยภายในคณบดี และตอบสนอง
ต่อนโยบายการวิจัยของคณบดีประจำปีงบประมาณ พ.ศ. ๒๕๕๖-๒๕๕๗ เมื่อวันพุธที่ ๒๘ ธันวาคม ๒๕๕๖
นั้น

ในการนี้ งานบริการวิชาการและวิจัย จึงขึ้นประกาศผลโครงการวิจัยที่ได้รับทุนอุดหนุน
การวิจัย ประจำปีงบประมาณ พ.ศ. ๒๕๕๗ โครงการวิจัยที่ได้รับการสนับสนุนทุนอุดหนุนการวิจัยโดย
ไม่มีผู้รับผิดชอบ สามารถมาลงนามในสัญญาไว้ทันทีได้ที่งานบริการวิชาการและวิจัย สำนักงานเลขานุการ
ตั้งแต่วันจันทร์ที่ ๓ มีนาคม ๒๕๕๗ เป็นต้นไปงาน สำหรับโครงการวิจัยที่ได้รับการสนับสนุนทุนอุดหนุน
การวิจัยโดยมีผู้รับผิดชอบ ขอให้ผู้รับผิดชอบโครงการวิจัยล่งชื่อเสนอโครงการวิจัยฉบับแก้ไข ภายใต้วัน
จันทร์ที่ ๓ มีนาคม ๒๕๕๗ และสามารถมาลงนามในสัญญาไว้ทันทีได้หลังจากที่ล่งชื่อเสนอโครงการวิจัย
เป็นที่เรียบร้อยแล้ว

ดังเรียนมาเพื่อโปรดพิจารณา

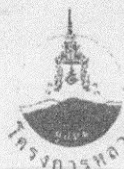
(ผู้ช่วยศาสตราจารย์ ดร.นราพร ปัญญะโนฤทธิ์)

ประธานคณะกรรมการบริหารงานบริการวิชาการและวิจัย

คณบดีศึกวารมและอุดสาหกรรมเกษตร

ประกาศผลโครงการวิจัยที่ได้รับทุนอุดหนุนการวิจัย ประจำปีงบประมาณ พ.ศ. ๒๕๖๗

ลำดับ	โครงการวิจัย	ผลการพิจารณาโครงการวิจัย	
		ได้รับทุนแบบไม่ต้องแบ่งใช้	ได้รับทุนแบบมีต้องแบ่งใช้
สายวิชาการ			
1	การศึกษาหาสกัดจากพืชเมืองใน การลดเชื้อโรคร้าย	✓	
2	การศึกษาและพัฒนาฐานข้อมูลการวิเคราะห์เบี้ยนค่าเสื่อม ในกระบวนการผลิตน้ำยี่หร่าแบบไม่กลับกอก (เชิงคิดการณ์แม่น)	✓	
3	การหาประสิทธิภาพของสมุนไพรสกัดธรรมชาติในสิ่งปลูกเรือนลักษ์ ล่าย (Dimocarpus longan Lour.) โดยวิธีไมโครเวฟร่วม	✓	
4	ฉันนันท์ความร้อนจากไฟฟ้าและลมหายใจของมนุษย์	✓	
5	กระบวนการอบแห้งเครื่องเทศและสมุนไพรในระดับ SMEs	✓	
6	สนับสนุนความต้องการความรู้และความสามารถของชาวชุมชน ให้ทางชุมชนหางานทำได้ใช้เวลาสักได้ไม่นานเป็น สามเดือน	✓	
7	ผลกระทบของสภาวะและบริการอบแห้งต่อการเปลี่ยนแปลงคุณภาพของอาหารรายเดือนแห้ง	✓	
8	การศึกษาประสิทธิภาพเครื่องแยกเป็นชิ้นความร้อนแบบ เทอร์โมไฟฟอนชนิดอากาศไหลล่วนทาก	✓	
สายศิรษะศูนย์			
9	การศึกษาผลกระทบทางวิธีการอบแห้งแห้งอาทิตย์ต่อการเปลี่ยนแปลงของชลนพลศาสตร์การอบแห้งในเชียงใหม่	✓	
10	การศึกษาผลกระทบของเปลือกล่ายที่ใช้เป็นสารตัวบินต่อสมบัติ ของพืชเมืองทางชุมชนชาติ	✓	
11	การศึกษาค่าใช้จ่ายของนักศึกษาระดับปริญญาตรี หลักสูตรวิทยาศาสตรบัณฑิต สาขาวิชาเทคโนโลยีชีวภาพและ พลังงาน ม.วิทยาลัยนานาชาติ ๑ ก้าวศึกษา ๒๕๖๖		✓
12	ผลกระทบต่อการเก็บรวมเป็นรากผ่านนักศึกษาของนักศึกษาคณะ วิศวกรรมและอุตสาหกรรมเกษตร ประจำปี พ.ศ.๒๕๖๗		✓
13	ปัจจัยที่มีผลต่อการเลือกศึกษาคณะวิศวกรรมและ อุตสาหกรรมเกษตร มหาวิทยาลัยแม่ฟ้า		✓
14	การรักษาสิ่งปฏิกูลความอบแห้งด้วยการใช้อุณหภูมิแบบหลาย ชั้น	✓	



Digitized by srujanika@gmail.com

○△△

H 7 3-1 2557

13.354

ศูนย์พัฒนาโครงการหลวงสะพี

อ้ามานาจเชียงแสตน ดังหวัดเชียงราย

© ມະນາຄົມ ແກ້ວມະນຸຍ

เรื่อง ขอความอนุเคราะห์บุคลากรให้คำปรึกษา

เรียน คณบดีคณบุคลากรและอุปสรรคการดำเนินการ

ศูนย์พัฒนาโครงการหลวงจะใช้ ได้ค่าเดินทางที่ดินและส่งเสริมอาชีวภัยต่อการ
ชาวเขาในที่นี่ ๔ หมู่บ้าน ประชากร ๖๘๖ คน เริ่มในกิจกรรมปฐมพิชัก ให้คิดอย่างเชิง ศึกษาไทย
พืชไร้ และการเลี้ยงสัตว์ ปัจจุบันศูนย์ฯ ได้ปรับเปลี่ยนด้านการส่งเสริมอาชีว โดยมุ่งเน้นการส่งเสริม
อาชีวการปฐมพิชักมุนไพร เพื่อการรอบแฝงมากขึ้น (เมืองจากศูนย์ฯ อยู่ในเด่นทุกวันนี้ การ มีเด่นทุนในการ
ชุมชนผลผลิตสดต่อเนื่องช้างสูง ตลอดจนผลผลิตความสูญเสียในระหว่างชุมชนส่งเป็นจำนวนมาก ปัจจุบัน
ศูนย์ฯ ได้ส่งเสริมให้เกย์คราบรปฐมอยู่หน้า เพื่อการรอบแฝงและประรูปเป็นชาตมุนไพร เพื่อเพิ่มอาชีว
การเก็บรักษาและเพิ่มมูลค่าของผลผลิต แต่ละสิ่งก็มีความที่ศูนย์ฯ ค่าเดินการแบบรูปจากศูนย์ฯ
มีคุณภาพที่ไม่มีความสม่ำเสมอ ยังไม่ต่อยเป็นช่องรับต่อตลาดและผู้บริโภค ทำให้การซื้อขายป่า
ผลผลิตไม่เป็นไปตามเป้าหมายที่วางไว้

KING GEORGE V OF THE UNITED KINGDOM

ເປົ້າ ຂະນະ

ຂອບໃຈរបស់គ្មានអាមេរិក

ເປົ້າໂທລະກົດ

ເຫັນຄວາມເຫຼົ້າ ສະເພ.ຂອງໃຈ ອັດຕະກຳ

บ้านที่นักเรียนเข้าเรียน ไม่ใช้ภาษาอังกฤษเป็นหลักภาษา

(ນາຍບຸນດວງມ ບຸນເລາ)

ผู้อำนวยการศูนย์พัฒนาโครงการหลวงระดับ

卷之三

શાસ્ત્રીય માનવજીવાન

Mr. B. H.
17595

ມູນຄົນໄຫວ່ງການມະນີ 65 ດັບຕຸລະກອນ ສ.ເມ.ສ 9.ເທດເມືອນ 50200 Royal Project Foundation, 65 Suthep Road, Chiang Mai 50200, Thailand
[e-mail]: [tel]: (053) 810765-8 Fax: (053) 124300

ก. ประวัติส่วนตัว นักวิจัย

1. ชื่อ นายประพันธ์ จิโน
 2. เลขประจำตัวประชาชน
 3. ภูมิการศึกษาสูงสุด วิศวกรรมศาสตรบัณฑิต สาขาวิศวกรรมอุตสาหการ
 4. สถานที่ทำงานในปัจจุบัน คณบดีวิศวกรรมและอุตสาหกรรมเกษตร มหาวิทยาลัยแม่โจ้ ตำบล
หนองหาร อำเภอ สันทราย จังหวัด เชียงใหม่ รหัสไปรษณีย์ 50290
โทร 053 875 869-71 E-mail: wavemee2244@gmail.com
 5. ปัจจุบันพักอยู่บ้านเลขที่ มหาวิทยาลัยแม่โจ้ ตำบลหนองหาร อำเภอ สันทราย
จังหวัด เชียงใหม่ รหัสไปรษณีย์ 50290
 6. ที่อยู่ติดต่อสะดวกที่สุด โทรศัพท์มือถือ
- คณบดีวิศวกรรมและอุตสาหกรรมเกษตร มหาวิทยาลัยแม่โจ้ ตำบลหนองหาร อำเภอ สันทราย
จังหวัด เชียงใหม่ รหัสไปรษณีย์ 50290

ข. ประวัติการทำงาน

1. เริ่มรับราชการ เมื่อวันที่ 12 เดือน กันยายน พ.ศ. 2540
ตำแหน่ง วิศวกรโลหการชำนาญการ สังกัด คณบดีวิศวกรรมและอุตสาหกรรมเกษตร
นับถึงวันที่ 12 ธันวาคม พ.ศ. 2557 มีระยะเวลาปฏิบัติราชการ 17 ปี 2 เดือน
2. ปัจจุบันดำรงตำแหน่ง วิศวกรโลหการชำนาญการ ระดับ 7 ขั้น 23,300 บาท

ก. ประวัติส่วนตัว ที่ปรึกษาโครงการวิจัย

1. ชื่อ ผู้ช่วยศาสตราจารย์ ดร.ฤทธิชัย อัศวรากันย์
2. เลขประจำตัวประชาชน 3-1499-00456 64 9
3. วุฒิการศึกษาสูงสุด Doctor of Philosophy in Food Engineering and Bioprocess Technology
4. สถานที่ทำงานในปัจจุบัน คณะวิศวกรรมและอุตสาหกรรมเกษตร มหาวิทยาลัยแม่โจ้ ตำบลหนองหาร อำเภอ สันทราย จังหวัด เชียงใหม่ รหัสไปรษณีย์ 50290
โทร 053 875 869-71 E-mail rittichai@mju.ac.th, rittichai.assawarachan@gmail.com
5. ปัจจุบันพักอยู่บ้านเลขที่ 19 ถนนท่าแพ ซอย 2 อำเภอ เมือง จังหวัด เชียงใหม่ รหัสไปรษณีย์ 50300 โทร 053 - 251047
6. ที่อยู่ติดต่อสะดวกที่สุด โปรดระบุให้ชัดเจน

คณะวิศวกรรมและอุตสาหกรรมเกษตร มหาวิทยาลัยแม่โจ้ ตำบลหนองหาร อำเภอ สันทราย จังหวัด เชียงใหม่ รหัสไปรษณีย์ 50290

ข. ประวัติการทำงาน

1. เริ่มรับราชการ เมื่อวันที่ 26 เดือน พฤษภาคม พ.ศ. 2553
ตำแหน่ง อาจารย์ สังกัด คณะวิศวกรรมและอุตสาหกรรมเกษตร
2. ปัจจุบันดำรงตำแหน่ง ผู้ช่วยศาสตราจารย์ ระดับ – ขั้น 51,200 บาท

บทความวิจัยและบทความทางวิชาการที่ได้รับการตีพิมพ์ในวารสารวิชาการนานาชาติ

ARTICLES IN INTERNATIONAL JOURNALS

- [1] Assawarachan, R and Noomhorm, A. 2008. Effect of Operating Condition on the Kinetic of Color Change of Concentrated Pineapple Juice by Microwave Vacuum Evaporation. *International Journal of Food, Agriculture & Environment* 6(3&4): 47–53.
ISI Database, Impact factor (2008) = 0.232
- [2] Assawarachan, R and Noomhorm, A. 2010. Changes in Color and Rheological Behavior of Pineapple Concentrate Through Various Evaporation Methods. *International Journal of Agricultural and Biological Engineering* 3(1): 74–84. SCOPUS and AGRICOLA Database
- [3] Assawarachan, R. 2010. Estimation Model for Electrical Conductivity of Red Grape Juice. *International Journal of Agricultural and Biological Engineering* 3(2): 52–57. SCOPUS and AGRICOLA Database
- [4] Assawarachan, R and Noomhorm, A. 2011. Influence of Temperature and TSS on Performance of Evaporation and Rheological Properties of Pineapple Concentration by Microwave Vacuum. *Journal of Food Process Engineering*. (online version on 25 April 2011).
ISI Database, Impact factor (2011) = 0.875
- [5] Assawarachan, R., Sripinyowanich, J., Theppadungporn, K. and Noomhorm, A. 2011. Drying Paddy by Microwave Vibro-Fluidized Drying using Single Mode Applicator. *International Journal of Food, Agriculture & Environment* 9(2): 50–54.
ISI Database, Impact factor (2011) = 0.425
- [6] Pongtong, K., Assawarachan, R and Noomhorm, A. 2011. Mathematical Models for Vacuum Drying Characteristics of Pomegranate Aril. *Journal of Food Science and Engineering* 1(1): 11–19.
- [7] Satong-aun, W., Assawarachan, R and Noomhorm, A. 2011. The Influence of Drying Temperature and Extraction Methods on *Alpha-Mangostin* in Mangosteen Pericarp, *Journal of Food Science and Engineering* 1(2): 85–92.
- [8] Assawarachan, R and Noomhorm, A. 2011. Mathematical Models for Vacuum Microwave Concentration Behavior of Pineapple Juice. *Journal of Food Process Engineering* 34(5): 1485–1505. ISI Database, Impact factor (2011) = 0.875

- [9] Assawarachan, R., Nookong, M., Chailungka, N and Amornlerdpison, D. 2013. Effect of microwave power on the drying characteristics, color and phenolic content of *spirogyra* sp. *International Journal of Food, Agriculture & Environment* 11(1): 15–18. ISI Database, Impact factor (2012) = 0.575
- [10] Naokprasom, N., Assawarachan, R and Wongputtisim, P. 2013. Optimization of reducing sugar production from acid hydrolysis of sugarcane bagasse by box behnkan design. *Journal of medical and bioengineering* 2(4): 238–241. ISI Database, Impact factor (2012) = 0.575
- [11] Assawarachan, R. Drying Kinetics of coconut residue in fluidized bed. *International Journal of Agriculture Innovations and Research.* 2(2): 263–266.
- [12] Chailungka, N and Assawarachan, R. 2014. The Thin Layer Drying Characteristics of *Spirogyra* sp. *International Journal of Food, Agriculture & Environment* (Manuscript in press) ISI Database, Impact factor (2012) = 0.575

งานวิจัยที่นำเสนอในที่ประชุมวิชาการระดับนานาชาติ (INTERNATIONAL CONFERENCE)

- [13] Assawarachan, R and Noomhorm, A. 2007. Design and Development Laboratory Scale Microwave Vacuum Evaporator of Juice Concentrate. *In International Workshop on Food Safety and Processing Technology;* 29–30 November 2007, Nong Lam University; Faculty of Food science and technology, Ho Chi Minh City, Vietnam.
- [14] Assawarachan, R and Noomhorm, A. 2007. Kinetics of Color Change of Pineapple Juice Concentration using Microwave Vacuum Evaporation. *In International Agricultural Engineering Conference;* 3–6 December 2007, AIT, Bangkok, Thailand.
- [15] Assawarachan, R and Noomhorm, A. 2008. Application Electromagnetic Radiation Technologies in Food Processing: *In The 2nd R&DID** International Conference – 2008; University of the Thai Chamber of Commerce, Bangkok, Thailand ;Theme: Global Competitiveness Through, Research and Development, Innovation, Design.
- [16] Pongtong, K., Assawarachan, R and Noomhorm, A. 2009. Vacuum Drying Kinetics of Pomegranate Arils. *In International Agricultural Engineering Conference,* 7–10 December, 2009, Manhattan Hotel at Klong Luang, Pathumthani (Thailand)

- [17] Laosanguanek, N, Assawarachan, R and Noomhorm, A. 2009. Thin Layer Infrared Radiation Drying of Turmeric Slices. *In* International Agricultural Engineering Conference, 7–10 December, 2009, Manhattan Hotel at Klong Luang, Pathumthani, Thailand.
- [18] Sripinyowanich, J., Assawarachan, R and Noomhorm, A. 2010. Microwave Vibro–Fluidization Bed Drying in a Single Mode Applicator. *In* the National Science and Technology Fair 2010, 7–22 August 2010. BITEC, Bangkok, Thailand.
- [19] Sripinyowanich, J., Sopanattayanon, O., Assawarachan, R., Theppadungporn, K. and Noomhorm, A. 2012. Effects of moisture content of dried coconut residue on its EMC, shelf life and quality. International Congress on Food Engineering and Technology. 28 – 30 March 2012. IMPACT Convention Center, Bangkok, Thailand.
- [20] Assawarachan, R., Nookung, M., Chailungka, N and Suriyanthorn, P. 2013. Thawing process improvement of frozen chicken by ultrasonic methods. *In* Food Innovation Asia Conference, Empower SMEs through Science and Technology. 13–14 June 2013. BITEC Convention Center, Bangkok, Thailand.
- [21] Assawarachan, R., Nookung, M., Ze-O, I and Ga-Jai, S. 2013. Development of Electrical conductivity measuring device for fruit juice using ohmic heating. *In* Food Innovation Asia Conference, Empower SMEs through Science and Technology. 13–14 June 2013. BITEC Convention Center, Bangkok, Thailand.
- [22] Assawarachan, R and Rardiyom, C. 2013. Influence of air temperature on quality changes of dried pomegranate peels. *In* 13th ASEAN Food conference, Meeting Future Demands: Security & Sustainability. 9–11 September 2013. Max Atria, Singapore Expo. Singapore.
- [23] Assawarachan, R and Rardiyom, C. 2013. Study of Different Solar Drying Methods for Galiang Bird Chilli (*Capsicum frutescens* Linn.). *In* 2nd ISHS Southeast Asia Symposium on Quality Management in Postharvest System. 4–6 December 2013, Lane Xang Hotel, Vientiane, Lao PDR.
- [24] Assawarachan, R., Kalayanamitra, K and Keokamnerd, T. 2013. Modeling and Optimization of Microwave Drying of Turmeric Slices. *In* 2nd ISHS Southeast Asia Symposium on Quality Management in Postharvest System. 4–6 December 2013, Lane Xang Hotel, Vientiane, Lao PDR.

- [25] Assawarachan, R and Kalayanamitr. 2013. Mathematical Models of Sweet Basil (*Ocimum basilicum* Linn.) during Microwave Drying. In 2nd ISHS Southeast Asia Symposium on Quality Management Postharvest System. 4–6 December 2013, Lane Xang Hotel, Vientiane, Lao PDR.
- [26] Assawarachan, R and Kalayanamitr. 2013. Effect of Drying Methods on Color Quality of Sweet Basil (*Ocimum basilicum* Linn.). In 2nd ISHS Southeast Asia Symposium on Quality Management in Postharvest System. 4–6 December 2013, Lane Xang Hotel, Vientiane, Lao PDR.

บทความวิจัยและบทความทางวิชาการที่ได้รับการตีพิมพ์ในวารสารวิชาการระดับชาติ (ARTICLES IN NATIONAL JOURNALS)

- [27] ฤทธิชัย อัคราชันย์, ภาณุตา แสงเจริญรัตน์, สุเนตร สีบค้า, เทียมณี มั่งมูล, ดวงกมล จนใจ. 2554. ผลงานศาสตราจารย์การอบแห้งด้วยลมร้อนของเปลือกทับทิม. วารสารสมาคมวิศวกรรมเกษตรแห่งประเทศไทย ปีที่ 17(1): 27–34. (TCI-Database)
- [28] ฤทธิชัย อัคราชันย์. 2554. เทคนิคลอยด์การสร้างความร้อนด้วยคลื่นแม่เหล็กไฟฟ้า. วารสารสมาคมเกษตรแห่งประเทศไทย ปีที่ 17 ฉบับที่ 1 (เดือนมกราคม–ธันวาคม 2554). (TCI-Database)
- [29] อุมาพร อุปrade, สุเนตร สีบค้า และฤทธิชัย อัคราชันย์. 2554. วิธีการละลายแบบรวดเร็วด้วยเทคโนโลยี (Novel Methods for Rapid Thawing Technology). วารสารสมาคมวิศวกรรมเกษตรแห่งประเทศไทย 17(1): 52–58. (TCI-Database)
- [30] สุเนตร สีบค้า และฤทธิชัย อัคราชันย์. 2554. แบบจำลองทางคณิตศาสตร์การอบแห้งสำหรับวัสดุพูน. วารสารสมาคมวิศวกรรมเกษตรแห่งประเทศไทย 17(1): 59–66. (TCI-Database)
- [31] ฤทธิชัย อัคราชันย์. 2554. การอบแห้งผลผลิตทางการเกษตรด้วยคลื่นไมโครเวฟ. วิศวกรรมศาสตร์ 1(2): 31–42.
- [32] ฤทธิชัย อัคราชันย์. 2554. การให้ความร้อนแบบโอลิมมิกในการแปรรูปอาหาร. วารสารเทคโนโลยีการ มหาวิทยาลัยสยาม ปีที่ 7 ฉบับที่ 1 มิถุนายน 2554–พฤษภาคม 2555. (TCI-Database)
- [33] ฤทธิชัย อัคราชันย์, ฉัตรชนก คงสิทธิ์ และดวงพร อมารเลิศพิศาล. 2555. คุณลักษณะการอบแห้งของสาหร่ายเตาด้วยคลื่นไมโครเวฟ. วารสารสมาคมวิศวกรรมเกษตรแห่งประเทศไทย

ปี

ที่ 18 ฉบับที่ 1 หน้า 8-14. (TCI-Database)

- [34] ปองพล สุริยะกันธร และฤทธิชัย อัศวราชันย์. 2555. แบบจำลองการอบแห้งในกระเพราด้วยคลื่นไมโครเวฟ. วารสารสมาคมวิศวกรรมเกษตรแห่งประเทศไทย ปีที่ 18 ฉบับที่ 1 หน้า 8-14 (TCI-Database)
- [34] จินตนาพร ปันพรอม, จุฑามาศ บุญเลา, โชคพิงค์ กาญจนประโชค และฤทธิชัย อัศวราชันย์. 2555. แบบจำลองทางคณิตศาสตร์สำหรับการทำนายการเปลี่ยนแปลงความชื้นของกาแฟพร้าว. วารสารวิทยาศาสตร์เกษตร ปีที่ 43 ฉบับที่ 3 (พิเศษ) กันยายน – ธันวาคม 2555: 224-227. วารสารวิชาการ ที่ สกอ/สกอ รับรอง
- [35] จินตนาพร ปันพรอม, จุฑามาศ บุญเลา, โชคพิงค์ กาญจนประโชค และฤทธิชัย อัศวราชันย์. 2555. ผลกระทบของอุณหภูมิต่อการเปลี่ยนแปลงคุณภาพของกาแฟพร้าว. วารสารวิทยาศาสตร์เกษตร ปีที่ 43 ฉบับที่ 3 (พิเศษ) กันยายน – ธันวาคม 2555: 228-231. วารสารวิชาการ ที่ สกอ/สกอ รับรอง
- [36] ฤทธิชัย อัศวราชันย์. 2556. ผลงานศาสตราจารย์การอบแห้งด้วยคลื่นไมโครเวฟระบบสูญญากาศของสาหร่ายเตา. วารสารสมาคมวิศวกรรมเกษตรแห่งประเทศไทย ปีที่ 19 ฉบับที่ 1 (*Manuscript accepted*), (TCI-Database)
- [37] ปองพล สุริยะกันธร น้ำฝน ไชยลังกา นกรอบ นาคประสม และฤทธิชัย อัศวราชันย์, 2556. การศึกษาสภาวะที่ เหมาะสมในการอบแห้งขมิ้นชันด้วยวิธีการพื้นผิวดอบสนอง. วารสารวิชาการ Rajabhat Journal of Sciences, Humanities & Social Sciences. (*Manuscript accepted*), (TCI-Database)
- [37] ฤทธิชัย อัศวราชันย์, 2556. ผลงานศาสตราจารย์การอบแห้งอาหารและวัสดุชีวภาพ. วารสารวิชาการ Rajabhat Journal of Sciences, Humanities & Social Sciences. (*Manuscript accepted*), (TCI-Database)
- [38] เน瓜นิตย์ โพธิ์ครี, พิมลพรรณ คงบุตร, เกียรติศักดิ์ อุตมะติง และฤทธิชัย อัศวราชันย์ . 2556. อิทธิพลของอุณหภูมิต่อการเปลี่ยนแปลงอัตราล่าวนความชื้นและสีของใบสะระแหน่ในระหว่างการอบแห้งด้วยลมร้อน. วารสารวิชาการ มทร. สุวรรณภูมิ.
- [39] น้ำฝน ไชยลังกา นกรอบ, นาคประสม และฤทธิชัย อัศวราชันย์. 2556. การหาสภาวะที่เหมาะสมของการอบแห้งเครื่องแห้งโดยใช้วิธีพื้นผิวดอบสนอง. วารสารวิชาการ มทร. สุวรรณภูมิ.
- [40] น้ำฝน ไชยลังกา ปองพล สุริยะกันธร และฤทธิชัย อัศวราชันย์. 2556. การพัฒนาและปัจจัยที่มีผลต่อการละลายเนื้อ ไก่แช่เยือกแข็งด้วยวิธีเทอร์โมอะคูสติก. วารสารสมาคมวิศวกรรมเกษตรแห่งประเทศไทย ปีที่ 20 ฉบับที่ 2

- [41] น้าฝน ไชยลังกา และฤทธิชัย อัศวราชันย์. 2556. งานพลศาสตร์การอบรมแห่งของสาหาร่ายเตาในระหว่างการอบรมแห่งด้วยคสื่นไมโครเวฟ. วิศวกรรมสารฉบับวิจัยและพัฒนา วสท.

งานวิจัยที่นำเสนอในที่ประชุมวิชาการระดับชาติ (NATIONAL CONFERENCE)

- [42] ฤทธิชัย อัศวราชันย์, อุมาพร อุปราช และอรรถพล นุ่มหอม. 2554. คุณสมบัติการนำไฟฟ้าของน้ำอุ่นแดงระหว่างกระบวนการให้ความร้อนแบบโอมมิค. การประชุมวิชาการสมาคมวิศวกรรมเกษตรแห่งประเทศไทยครั้งที่ 12 ประจำปี 2554. วันที่ 1 เมษายน 2554 ณ โรงแรมชุมจันทร์ พัทยารีสอร์ท จังหวัดชลบุรี
- [43] อรวรรณ โศภณฉุยานนท์, จิราพร ครีภูณ์โภุณิชย์, ฤทธิชัย อัศวราชันย์ และอรรถพล นุ่มหอม. 2554. คุณสมบัติของอุณหภูมิและความหนาของชั้นวัสดุต่อคุณภาพกากมะพร้าวโดยวิธีการอบแห้งแบบถูกต้อง. การประชุมวิชาการสมาคมวิศวกรรมเกษตรแห่งประเทศไทยครั้งที่ 12 ประจำปี 2554. วันที่ 1 เมษายน 2554 ณ โรงแรมชุมจันทร์ พัทยารีสอร์ท จังหวัดชลบุรี
- [44] สุเนตร สีบด้า, ฤทธิชัย อัศวราชันย์ และระวิน สีบด้า. 2554. คุณลักษณะการอบแห้งลำไยด้วยรังสีอินฟารेड. การประชุมวิชาการ วิทยาการหลังการเก็บเกี่ยวแห่งชาติ ครั้งที่ 9 ประจำปี 2554. วันที่ 23–24 มิถุนายน 2554 ณ โรงแรมพัทยาพาร์คบีช รีสอร์ท จังหวัดชลบุรี
- [45] น้าฝน ไชยลังกา, ปองพล สุริยะกันธร, กัลย์ กัลยาณมิตร, กรพก ธรรมนิตย์ และฤทธิชัย อัศวราชันย์. 2555. ผลกระทบของวิธีการละลายต่อการเปลี่ยนแปลงคุณภาพเนื้อไก่แห้เยือกแข็ง. ประชุมวิชาการสมาคมวิศวกรรมเกษตรแห่งประเทศไทยครั้งที่ 13 ประจำปี 2555. วันที่ 4–5 เมษายน 2555 ณ โรงแรมอิมพีเรียลแม่ปิง จังหวัดเชียงใหม่
- [46] จินตนาพร ปันพร, จุฑามาศ บุญเลา, โชคพงศ์ กาญจนประโชนต และฤทธิชัย อัศวราชันย์. 2555. ผลกระทบของอุณหภูมิต่อการเปลี่ยนแปลงคุณภาพของกากมะพร้าว. การประชุมวิทยาการหลังการเก็บเกี่ยวแห่งชาติครั้งที่ 10 ประจำปี 2555. วันที่ 23–24 สิงหาคม 2555 ณ โรงแรมเช็นทาราคองเวนชันเซ็นเตอร์ จังหวัดขอนแก่น
- [47] จินตนาพร ปันพร, จุฑามาศ บุญเลา, โชคพงศ์ กาญจนประโชนต และฤทธิชัย อัศวราชันย์. 2555. แบบจำลองทางคณิตศาสตร์สำหรับการทำนายการเปลี่ยนแปลงความชื้นของกากมะพร้าว. การประชุมวิชาการวิทยาการหลังการเก็บเกี่ยวแห่งชาติครั้งที่ 10 ประจำปี 2555. วันที่ 23–24 สิงหาคม 2555 ณ โรงแรมเช็นทาราคองเวนชันเซ็นเตอร์ จังหวัดขอนแก่น
- [48] น้าฝน ไชยลังกา, รัตนภรณ์ จันทร์พิพิพ, ดวงพร อมราเลศพิศาล. และฤทธิชัย อัศวราชันย์. 2554. ผลกระทบของระดับพลังงานไมโครเวฟต่อการเปลี่ยนแปลงคุณภาพสาหาร่ายเตา

อบรมแก้ไข ประชุมวิชาการการประเมินครั้งที่ 7 วันที่ 6-8 ธันวาคม 2555 คณะเทคโนโลยีการ
ประเมินและทรัพยากรทางน้ำ มหาวิทยาลัยแม่โจ้ จังหวัดเชียงใหม่

- [49] ผู้ชี้ขาด เลื่อนป่าน, พวงเพชร อินใจคำ, ศิรยา จุมปุหุย, อุมาพร อุประ และฤทธิชัย อัศวราชนย์.
2555. การพัฒนาเครื่องอบแสงอาทิตย์ระบบความร้อนร่วมของบริษัทเครียงสำหรับสหกรณ์การเกษตรแม่สะเรียง จังหวัดแม่ฮ่องสอน. การประชุมวิชาการระดับชาติ “เครื่องข่ายวิจัยสถาบันอุดมศึกษาทั่วประเทศ” ประจำปี 2556 ระหว่าง 27–28 กุมภาพันธ์ 2556 สามพารานิเวอร์ไซด์ จังหวัดนครปฐม.

[50] น้ำฝน ใชยลังก้า รัตนภรณ์ จันทร์พิพิญ, ดวงพร ออมรเลิศพิศาล และฤทธิชัย อัศวราชนย์. 2555. แบบจำลองการอบแห้งแบบชั้นบางของสาหร่ายเตาด้วยคลื่นไมโครเวฟ. การประชุมวิชาการสมาคมวิศวกรรมเกษตรแห่งประเทศไทยระดับชาติ ครั้งที่ 14 และระดับนานาชาติ ครั้งที่ 6 ประจำปี 2556 ณ โรงแรมหัวหินแกรนด์ พลาซ่า จังหวัดประจวบคีรีขันธ์ ในวันที่ 1–4 เมษายน 2556.

[51] ปองพล สุริยะกันธร และฤทธิชัย อัศวราชนย์. 2555. ผลงานศาสตร์การการเปลี่ยนแปลงสีในระหว่างการอบแห้งด้วยคลื่นไมโครเวฟ. การประชุมวิชาการสมาคมวิศวกรรมเกษตรแห่งประเทศไทยระดับชาติ ครั้งที่ 14 และระดับนานาชาติ ครั้งที่ 6 ประจำปี 2556 ณ โรงแรมหัวหินแกรนด์ พลาซ่า จังหวัดประจวบคีรีขันธ์ ในวันที่ 1–4 เมษายน 2556.

[52] วิภาวดา แก้วยอด, รัชฎา แย้มครัวล และฤทธิชัย อัศวราชนย์. 2556. แบบจำลองทางคณิตศาสตร์ในการคำนวณอัตราการถ่ายเทมวลในระหว่างการอบแห้งเปลือกหัวพืชแบบชั้นด้วยลมร้อน. การประชุมวิชาการ อุตสาหกรรมเกษตร สจล. ครั้งที่ 2 ณ โรงแรมวินเซอร์ สุขุมวิท กรุงเทพฯ. ในวันที่ 30 สิงหาคม 2556

[53] พิชิต สอนทุย, วิโรจน์ ไชมุขเลิศฤทธิ์ และฤทธิชัย อัศวราชนย์. 2556. ผลกระทบของระดับคลื่นไมโครเวฟต่อการเปลี่ยนแปลงสีของการอบแห้งขมิ้นชัน. การประชุมวิชาการอุตสาหกรรมเกษตร สจล. ครั้งที่ 2 ณ โรงแรมวินเซอร์ สุขุมวิท กรุงเทพฯ. ในวันที่ 30 สิงหาคม 2556

[54] พิชิต สอนทุย, วิโรจน์ ไชมุขเลิศฤทธิ์ และฤทธิชัย อัศวราชนย์. 2556. ผลงานศาสตร์การอบแห้งขมิ้นชันด้วยคลื่นไมโครเวฟ. การประชุมวิชาการอุตสาหกรรมเกษตร สจล. ครั้งที่ 2 ณ โรงแรมวินเซอร์ สุขุมวิท กรุงเทพฯ. ในวันที่ 30 สิงหาคม 2556

[55] ปองพล สุริยะกันธร และฤทธิชัย อัศวราชนย์. 2557. ผลของการเตรียมขั้นต้นด้วยการลวกต่อ

อัตราการอบแห้งและค่าสีของดอกเบญจมาศ (เกึกขาว) อบแห้งด้วยลมร้อน. ประชุมวิชาการสมาคมวิศวกรรมเกษตรแห่งประเทศไทยระดับชาติ ครั้งที่ 15 ประจำปี 2557 และระดับนานาชาติ ครั้งที่ 7

- [56] ปองพล สุริยะกันธร และฤทธิชัย อัศวราชันย์. 2557. ผลงานศาสตร์การเปลี่ยนแปลงสีของดอกเบญจมาศ(เกึกขาว)ในระหว่างการอบแห้งด้วยลมร้อน. ประชุมวิชาการสมาคมวิศวกรรมเกษตรแห่งประเทศไทยระดับชาติ ครั้งที่ 15 ประจำปี 2557 และระดับนานาชาติ ครั้งที่ 7
- [57] วิราษุ หน่อแก้ว, เอกลักษณ์ ไชยกันทา, ดวงพร อมรเลิศพิศาล, กัลย์ กัลยาณมิตร และฤทธิชัย อัศวราชันย์. 2557. ผลกระทบของอุณหภูมิและความเร้าลงต่อการเปลี่ยนแปลงสารประกอบพื้นกลิ่นรวมของสาหร่ายเดาอบแห้งประชุมวิชาการสมาคมวิศวกรรมเกษตรแห่งประเทศไทยระดับชาติ ครั้งที่ 15 ประจำปี 2557 และระดับนานาชาติ ครั้งที่ 7
- [58] วิราษุ หน่อแก้ว, เอกลักษณ์ ไชยกันทา, ดวงพร อมรเลิศพิศาล, กัลย์ กัลยาณมิตร และฤทธิชัย อัศวราชันย์. 2557. แบบจำลองทางคณิตศาสตร์สำหรับการทำนายการเปลี่ยนแปลงอัตราส่วนความชื้นในระหว่างการอบแห้งของสาหร่ายเดา. ประชุมวิชาการสมาคมวิศวกรรมเกษตรแห่งประเทศไทยระดับชาติ ครั้งที่ 15 ประจำปี 2557 และระดับนานาชาติ ครั้งที่ 7
- [59] รัชฎา แย้มศรีวัล, รณชัย วงศ์รัก, วิกานดา แก้วยอด, ดวงพร อมรเลิศพิศาล, ชนน์ รายภูรนิยม และฤทธิชัย อัศวราชันย์. 2557. การหาสภาวะที่เหมาะสมในการสกัดสารประกอบพื้นกลิ่นรวมในเปลือกหัวทิมอบแห้ง. ประชุมวิชาการสมาคมวิศวกรรมเกษตรแห่งประเทศไทยระดับชาติ ครั้งที่ 15 ประจำปี 2557 และระดับนานาชาติ ครั้งที่ 7
- [60] รัชฎา แย้มศรีวัล, รณชัย วงศ์รัก, วิกานดา แก้วยอด, ดวงพร อมรเลิศพิศาล, ชนน์ รายภูรนิยม และฤทธิชัย อัศวราชันย์. 2557. แบบจำลองทางคณิตศาสตร์การอบแห้งของเปลือกหัวทิมอบแห้งด้วยลมร้อน. ประชุมวิชาการสมาคมวิศวกรรมเกษตรแห่งประเทศไทยระดับชาติ ครั้งที่ 15 ประจำปี 2557 และระดับนานาชาติ ครั้งที่ 7

สิ่งตีพิมพ์และเอกสารเผยแพร่.

- [61] ฤทธิชัย อัศวราชันย์. 2555. เอกสารประกอบการสอนหน่วยปฏิบัติการทางวิศวกรรมอาหาร 1. คณควิศวกรรมและอุตสาหกรรมเกษตร มหาวิทยาลัยแม่โจ้. 384 หน้า. เชียงใหม่.
- [62] อรรถพล นุ่มหอม และฤทธิชัย อัศวราชันย์. 2550. คลื่นแม่เหล็กไฟฟ้า พลังงานความร้อนรูปแบบใหม่. Food Focus Thailand Magazine, 2(16): 28- 33.
- [63] อรรถพล นุ่มหอม และฤทธิชัย อัศวราชันย์. 2550. เข้มข้นด้วยเมมเบรน. Food Focus Thailand Magazine 2(17): 18- 22.

- [64] อรรถพล นุ่มห้อม และฤทธิชัย อัศวราชันย์. 2550. การทำความเย็นระบบสูญญากาศ. Food Focus Thailand Magazine, 2(20): 27– 29.
- [65] อรรถพล นุ่มห้อม และฤทธิชัย อัศวราชันย์. 2550. 5 คำถามน่ารู้ ของ นานอินเตคโนโลยี ต่อการพัฒนาอุตสาหกรรมอาหาร. Food Focus Thailand Magazine, 2(20): 43– 45.
- [66] อรรถพล นุ่มห้อม และฤทธิชัย อัศวราชันย์. 2551. Fine the suitable solution for your needs. Be Cool Supplement on Freezing and Refrigeration Innovation for F&B Industry: 12– 20.
- [67] อรรถพล นุ่มห้อม และฤทธิชัย อัศวราชันย์. 2551. กระบวนการอบแห้งในอุตสาหกรรมอาหาร. Food Focus Thailand Magazine, 3(25): 21– 25.
- [68] อรรถพล นุ่มห้อม และฤทธิชัย อัศวราชันย์. 2551. กระบวนการให้ความร้อนแบบโอล์ฟมิก. Food Focus Thailand Magazine, 3(27): 48– 53.
- [69] อรรถพล นุ่มห้อม, ฤทธิชัย อัศวราชันย์ และพชรวรรณ มูลแสง. 2551. การพัฒนาอุตสาหกรรมอาหารด้วยนานอินเตคโนโลยี. Food Focus Thailand Magazine, 3(31): 16– 21.
- [70] อรรถพล นุ่มห้อม และฤทธิชัย อัศวราชันย์. 2552. การออกแบบและเลือกขนาดอีทเตอร์เพ็พ้าให้เหมาะสมกับอุตสาหกรรมแปรรูปอาหาร. Food Focus Thailand Magazine, 3(40): 38– 40.
- [71] ฤทธิชัย อัศวราชันย์ และอรรถพล นุ่มห้อม. 2553. แนวความคิดพื้นฐานการออกแบบระบบให้ความร้อนด้วยคลื่นไมโครเวฟ. Food Focus Thailand Magazine, 4(52): 53–54.
- [72] ฤทธิชัย อัศวราชันย์. 2553. 7 คำถามน่าเกี่ยว เกี่ยวกับการการเกิดความร้อนด้วยไมโครเวฟ. Food Focus Thailand Magazine, 4(56): 43– 45.
- [73] ฤทธิชัย อัศวราชันย์. 2553. การผลิตน้ำผลไม้เข้มข้นด้วยเมมเบรน. วารสารแม่เจ้าปริทัศน์, 11(6): 41–43.
- [74] ฤทธิชัย อัศวราชันย์. 2554. Alternative Energy เพื่อการใช้ประโยชน์ในอุตสาหกรรมอาหาร. Food Focus Thailand Magazine, 5(58): 36 – 37.